

B.I.G

Laboratorul de Paleontologie
INSTITUTUL DE GEOLOGIE ȘI GEOFIZICĂ

DĂRI DE SEAMĂ
ALE
ȘEDINȚELOR

VOL. LXI
1973 - 1974

2. ZĂCĂMINTE

94796

BUCUREȘTI
1975.



Institutul Geologic al României

INSTITUTUL DE GEOLOGIE ȘI GEOFIZICĂ

DĂRI DE SEAMĂ

ALE
ŞEDINTELOR

VOL. LXI
(1973-1974)

2. ZĂCĂMINTE



BUCUREŞTI
1975



Institutul Geologic al României

2. ZĂCĂMINTE

DE LA REGISTRUL DE PROBE LA BĂNCI DE DATE GEOLOGICE¹

DE

VIRGIL IANOVICI,² ALEXANDRU DIMITRIU³

Abstract

From test records to banks of geological data. There are presented the main stages of the banking data and the programmes written in FORTRAN IV for I.C.L. 1905 by one of the authors (A. Dimitriu). The elimination of alfa errors (GELO programme) and of the logical errors (GEFI programme) the determination of the structure of the datum file and the extractions at request, of a selection of data (BAMS programme) and the bringing up-to-date of the file. With the help of these programmes there have been carried out banks of geological data on more polymetallic phosphonian deposits and with Cu dispersal mineralization; they are exploited for various geochemical, metalogenetic and economical researches.

Admitem ca un adevăr de necontestat că fiecare activitate, indiferent de domeniul în care ea se produce, este inițiată pe baza analizei informațiilor acumulate asupra obiectului ce interesează. Amintim că această analiză a informațiilor, care precede punerea în practică a oricărei activități, este cunoscută cu numele general de *analiza de decizie*.

Fiecare dintre noi vedem în succesul sau insuccesul unei activități caracterul realist sau nerealist al deciziei ce a determinat inițierea activității respective. Din păcate, această convingere unanimă dovedește nu rareori o concepție îngustă, făcută în grabă, asupra analizei de decizie.

Care este cauza acestei greșeli?

Această greșală o facem atunci când considerăm că analiza de decizie constă *numai* din prelucrarea matematică a informațiilor.

Oare greșim cu mult dacă gindim astfel?

Știm că decizia este rezultatul aplicării unui anumit model matematic și că veridicitatea modelului influențează direct caracterul realist al deciziei. Dar mai știm că aplicarea oricărui model matematic înseamnă în practică introducerea în calcule a unei selecții de informații. Precizia cu

¹ Comunicare în ședință din 19 aprilie 1974.

² Ministerul Minerelor, Petrolului și Geologică, str. Mendeleev nr. 36–38, București.

³ Institutul de Geologie și Geofizică, str. Caransebeș nr. 1, București.



care au fost obținute aceste informații, gradul lor de reprezentativitate a obiectului respectiv constituie sursă de erori asupra deciziei, cel puțin la fel de importante ca și modelul matematic. Greșala pe care o facem de a acorda atenție numai prelucrării matematice înseamnă, deci, ignorarea celorlalte momente ale activității decizionale.

Dorim să subliniem prin aceasta că analiza de decizie reprezintă o vastă activitate; ea începe cu construirea ipotezei de lueru, continuă cu selecția caracteristicilor ce au capacitate informațională maximă, cu măsurarea acestor caracteristici și acumularea informațiilor obținute, avind ca moment final prelucrarea matematică a informațiilor în vederea luării deciziei.

Prezența lucrare este dedicată momentelor, din activitatea decizională în geologie, ce preced prelucrarea matematică, adică: organizării, stocării și regăsirii informațiilor cu ajutorul calculatorului.

Robinson, directorul Comitetului de stocare, regăsire și prelucrare automată a datelor geologice din Canada, afirma, la simpozionul „Zece ani de calcul numeric în industria minieră” de la Tucson, din anul 1969 : „gestionarea informațiilor nu mai poate fi concepută decât ca o profesiune a calculatorului” (Robinson, 1969).

Această remarcă poate fi justificată suficient prin două argumente.

Prinul argument: cantitatea mare de informații pe care o produce societatea noastră, fără de care nu se poate organiza prezentul și nici evalua viitorul posibil, solicită o capacitate de memorare imensă și extrem de rapidă, pe care numai calculatorul o are.

Al doilea argument: aplicarea metodelor matematice de decizie comportă calcule complicate care pot fi obținute în timp scurt numai cu ajutorul calculatorului, ceea ce obligă de asemenea ca informațiile ce sunt prelucrate să fie prezente în memoria calculatorului.

În legătură cu capacitatea de memorare a calculatorului, unii specialiști și-au pus întrebarea, care e rolul mai important al acestei mașini: de a face calcule sau de a memora? În acest sens, denumirea acestei mașini drept „calculator” nu evidențiază decât capacitatea ei de a face calcule. Se pare însă că ambele calități, de a memora și de a face calcule, sunt la fel de importante și sunt exploatațate de altfel în același scop: de a face ordine. De aceea nu este de mirare că Academia Franceză a înlocuit denumirea de „calculator” cu accea de „ordinator”, adică de instrument care face ordine, subliniind prin aceasta și calitatea de memorare a acestei mașini. Întelegem semnificația adincă a acestei denumiri, dar deoarece în literatura de specialitate românească s-a introdus denumirea de calculator electronic, vom utiliza și noi în continuare aceeași denumire.

Revenind la sarcina ce o încredințăm calculatorului de a administra gestiunea informațiilor, se observă că dispar, în adevăr, dificultățile în memorare, în schimb apar alte dificultăți.

Folosind limbajul academicului G. R. Moisil, am spune că dificultățile sunt generate de faptul că informațiile trebuie „citite” de calcula-



tor, iar calculatorul trebuie „învățat” să înmagazineze informațiile, în aşa fel încit să le poată regăsi la cerere într-un timp scurt.

Prin memorarea informațiilor în calculator nu ne gindim, desigur, la stocarea unui set de informații care apoi sunt chemate în bloc. O astfel de activitate este insuficientă față de numeroasele probleme ale geologiei moderne. Ne referim la stocarea unui ansamblu organizat de informații, cerut de prelucrarea unei familii de aplicații, care să poată fi actualizat și explorat de diferiți beneficiari. Adică, avem în vedere gestionarea informațiilor în aşa numite *baze de date* sau *bănci de date*.

Activitatea de constituire a băncilor de date înseamnă parcurgerea mai multor etape.

A doua etapă : stabilirea listei de descriptori, codificarea informațiilor și întocmirea machetelor cartelei perforate.

A treia etapă : introducerea informațiilor în foi de perforare, împărțite în cimpuri, conform machetei cartelei.

A patra etapă : perforarea și controlul cartelelor.

A cincea etapă : înregistrarea informațiilor în calculator prin transferarea lor de pe cartile pe disc sau pe bandă magnetică ; controlul allanumeric și logic al informațiilor.

A şasea etapă : organizarea informațiilor în fișiere și crearea unor grupe secundare de informații cu privire la structura, modul de organizare a fișierelor, care să permită scurtarea timpului de interogare.

A șaptea și ultima etapă : regăsirea informațiilor la cererea diferenților beneficiari.

Se poate afirma că activitatea de organizare a informațiilor în bănci de date are complexitatea unui proces tehnologic. Evident, ea nu poate fi realizată întotdeauna, între două alte activități, ci numai de colective de specialiști care se ocupă în mod special de această problemă. Înființarea în acest scop a organismelor denumite GEOFOND sau a comitetelor naționale, cum este acela din Canada, sunt o dovedire convinsă în acest sens.

Care sunt progresele obținute la noi în acest domeniu ?

Primul progres a fost prezentat în partea introductivă a acestei comunicări ; el se referă la natura psihologică — am zice — a problemei, adică ne-am insușit o serie de convingeri sau teze ce animă în tot mai mare măsură pe geologii din alte țări.

Prima teză : nu se poate utiliza calculatorul în activitatea geologică la scară națională fără a organiza informațiile geologice în bănci de date. Am putea afirma că înființarea băncilor de date reprezintă calul troian al informaticii.

A doua teză : organizarea băncilor de date înseamnă parcurgerea unor tehnologii complexe, însă ca începe printr-o acțiune simplă, dar indis-

pensabilă: modificarea registrului de probe și a carnetului de teren al geologului în aşa fel încât ele să poată fi „citite” și de calculator. Această schimbare în evidență datelor geologice constă numai în înlocuirea unor formulare cu alte formulare (care reprezintă macheta cartelei perforate), observațiile trebuind să fie introduse în noile formulare sub formă codificată. Poate pare operația prea simplă, dar ea se realizează practic cu destulă greutate.

A treia teză: acumularea atentă a informațiilor este strict necesară pentru luarea deciziilor în problemele activității zilnice, dar ca este în egală măsură o chestiune de etică profesională, de respect pentru generațiile viitoare. Dacă în chimie, de exemplu, procesele chimice pot fi reproduce oricând este nevoie, în ceea ce privește domeniul geologiei intervine un factor negativ: timpul, stergerea treptată, uneori pînă la dispariție a proceselor geologice. Cel mai sugestiv exemplu îl constituie desigur zăcămintele care, potrivit destinului lor economic, sunt exploatație și, pe măsură ce se consumă cite un zăcămînt sau părți din el, asistăm la dispariția a cite unui proces geologic de acumulare a substanțelor minerale utile.

Al doilea progres pe care l-am realizat constă în scrierea programelor de calculator, astfel încît etapele cerute în organizarea băncilor se realizează automat; programele sunt în număr de patru:

Un program (denumit GELO) servește la scrierea pe bandă magnetică a cartelelor și la controlul alfa. El semnalizează prezența literelor și a semnelor de punctuație în cîmpurile numerice, care constituie greșeli de perforare a cartelelor. Programul permite, de asemenea, înlocuirea înregistrărilor eronate, crearea unor noi generații ale fișierului.

Al doilea program (GEFI) realizează controlul logie, cum ar fi: succesiunea în fișier a lucrărilor geologice și minicre (foraje, puțuri, galerii etc.), a poziției strict crescătoare a probelor sau controlului lungimii minime și maxime a valorii caracteristicilor geologice măsurate (de exemplu: conținutul în metale, conținutul în minerale etc.). Același program permite eliminarea sau înlocuirea înregistrărilor greșite și inserția înregistrărilor omise.

Al treilea program (BAMS) organizează pe disc fișierele și stabilește structura lor. Totodată el asigură regăsirea informațiilor, extragerea la cerere a oricărei selecții prin regăsirea de subfișiere pînă la clasa 3 (de exemplu: zăcămînt-filon-orizont-panou).

Al patrulea program (LAZI) dă posibilitate să se actualizeze fișierele de date primare și să modifice corespunzător fișierul secundar ce conține informații cu privire la structura fișierelor primare.

Cu ajutorul acestor programe au fost realizate băncile de date ale mai multor zăcămînte de minereuri. Astfel, este cazul unor zăcămînte filonienc polimetallice din zona minieră Baia Mare (zăcămîntele Herja, Baia Sprie, Cavnic, Băiuț, Tarna-Mare, Nistrău, Șuior, Ilba, Săsar) — bănci de date ce au fost exploatație și sunt exploatație în scopul cercetărilor geo-chimice și metalogenetice. De asemenea, în cazul unor zăcămînte cuprîtere din Banat (zona Moldova Nouă) și Munții Apuseni (Roșia-Poieni) datele geologice au fost organizate în bănci, în scopul efectuării calculului rezervelor ce a stat la baza proiectării exploatației acestor zăcămînte în cariere.



Programele au fost elaborate de A.I. Dimitriu în limbajul FORTRAN IV pentru calculatorul ICL 1905 (Dimitriu, Dumitriu, 1973).

Experiența dobândită, prezentată pe scurt în această comunicare, ar putea constitui o bază suficientă pentru dezvoltarea unei activități sistematice de organizare a băncilor de date geologice.

Avgem convingerea că această experiență privind băncile de date fotografice, cuplată cu experiența acumulată în problema băncilor de date documentaristice, poate să însemne un start bun în modernizarea activității Fondului Geologic în țara noastră.

BIBLIOGRAFIE

- Robinson S. C. (1969) International aspects of geologic data storage and retrieval.
Symposium: A decade of digital computing in the mineral industry, A. Weiss.
Edit. Port City Press, 319, Baltimore.
- Dimitriu A.I., Dumitriu Cristina (1973) Geologic data processing in Romania.
J. math. geology, Plenum Publishing Corporation, 5, 3, 313, New York.
- * * * (1971) Data processing in biology and geology, Academic Press, Londra.

A PARTIR DU REGISTRE D'ÉCHANTILLONS — AUX BANQUES DE DONNÉES GÉOLOGIQUES

(Résumé)

Ce qui fait l'objet de cet ouvrage sont les moments de l'activité décisionnelle en géologie, qui précédent le traitement mathématique des informations, notamment : l'organisation, le stockage et le dépistage d'informations à l'aide de l'ordinateur.

L'emmagasinage des informations dans l'ordinateur est discutée dans l'hypothèse du stockage d'un ensemble organisé d'informations, à même de permettre le traitement d'une famille d'applications, leur exploitation par les divers bénéficiaires et, également, leur actualisation. Les auteurs mettent en évidence l'importance de la solution de ce problème par le stockage des informations à partir des données ou des banques de données.

On fait l'analyse des principales étapes de l'activité de constitution des banques de données et des programmes pour l'ordinateur élaborés dans le langage FORTRAN IV par l'un des auteurs (A.I. Dimitriu) : enregistrement des cartes perforées sur ruban magnétique des fichiers de données et l'élimination des erreurs alpha (programme GELO) ; contrôle logique, élimination des enregistrements erronés et l'intercalation des questions étudiées (programme GEFI) ; détermination de la structure des fichiers de données, emmagasinage de ces informations dans un fichier secondaire, de même que la sortie sur demande de toute sélection par la consultation du



fichier des données sur la structure (programme GEFI); actualisation des fichiers de données et la modification conforme du fichier secondaire (programme LAZI).

On fait entrer les programmes dans un ordinateur ICL 1905. En base de ces programmes, on a réalisé des banques de données géologiques sur plusieurs gisements filoniens polymétalliques de la région de Baia Mare et sur des gisements à minéralisation disperse de cuivre (Moldova Nouă, Roșia Potenții). Ces banques de données sont employées à l'occasion des recherches diverses : géochimiques, métallogéniques et économiques.



2. ZĂCĂMINTE

INDICAȚII ASUPRA ACTIVITĂȚII HIDROTERMALE ÎN DEPOZITELE SEDIMENTARE NEOGENE DIN CULOARUL SĂLAJULUI¹

DE

IOAN KALMÁR²

Abstract

Indications on the hydrothermal activity within Neogene sedimentary deposits from the Sălaj chute. There are described silification, sideritization, argillization and sulphide sediments along some fractures which pierce the Neogene deposits between the Ticău and Bic (NW of Transylvania) massives. The source of the hypogene fluids should be the covered magmatism along some regional fractures, unknown up to now.

Culoarul Sălajului este zona depresionară, cu relief colinar, ce desparte masivele cristaline insulare Ticău și Bic din partea NW a Transilvaniei. Drenat de afluenți stângi ai Someșului și în special de pîrul Sălajului, cu văi largi intens colmatate, Culoarul Sălajului realizează, atît sub raport geologic cît și din punct de vedere geografic, legătura dintre depresiunea Sălajului și cea a Băii Mari (pl. I.).

Sectorul la care se referă prezenta notă a fost cercetat de Roth v. Teleged (1919) și apoi de Apostol³, Stan⁴, Bulgaru⁵, Păucă (1964), Zotta-Lubenescu et al. (1965) și alții. Autorul prezentei lu-

¹ Comunicare în ședință din 12 aprilie 1974.

² Întreprinderea de Prospecții și Explorări Geologice „Maramureș” Baia-Mare, str. Victoriei nr. 146.

³ L. Apostol. Neogenul de la W de Someș. Compania 1952, Raport + harta geol. a reg. Ticău-Benesat-Sălsig sc. 1: 20.000, Arh. Inst. Geol. București.

⁴ M. I. Stan. Prospecții pentru marmă la Turț și Ulmeni/Baia Mare, harta Ulmeni-vîțea sc. 1: 20.000, 1957 Arh. Inst. Geol. București.

⁵ N. Bulgaru, Mihaela-Doina Ghergheian, M. Ghergheian, Magdalena Radu. Raport geologic asupra proiecțiunilor geologice pentru hidrocarburi în N Bazinului Transilvaniei, în zona V. Lăpușului (Coaș), V. Tîrlisua, completarea proiecțiunilor din jurul cristalinului Munților Făget (Bic), harta Benesat – Jibou 1: 10.000. Arh. Inst. Geol. Buc.



erări a efectuat prospecțiuni⁶ în partea estică a Culcarului Sălajului între Benesat, Cehu Silvaniei, Ulciug-Haltă și Arduzel, rezultatele fiind concretizate, printre altele, prin harta anexată prezentei lucrări (pl. II).

1. Situația geologică

Sectorul de est al Culcarului Ochioarului cuprinde depozite paleogene, tortoniene, sarmatiene, pannoniene și cuaternare.

Paleogenul este reprezentat prin argile vărgate inferioare (cu intercalări de nisipuri și picături) ce afloră la N de Benesat.

Tortonianul (Badenianul) afloră doar în imediata apropiere a limitei estice a sectorului, reprezentată prin cele două fracturi paralele între ele.

Aici apare o succesiune de gresii tufacee calcaroase, calcare grezoase și un nivel de tuf riodacic de 8 — 10 m grosime desemnat de Ghîurca (1970) sub denumirea de „tuf de Benesat”, echivalentul tufului de Dej.

Sarmatianul succede în continuitate de sedimentare, prin intermediul unui pachet de marne bituminoase, cu un pachet de 10 — 70 cm de tuf andezitic la bază. Aici, Băbucea⁷ a determinat o asociație micro-paleontologică de foraminifere (în special, elphizi) caracteristice Volhyanianului.

Peste marnele brun-inchise, bine dezvoltate atât pe pîrul Pietros (Ticău) cât și pe valea Spinătului, la confluența acestuia cu pîrul Covaci (locul denumit „La Vii”) amonte de stațiunea IMA Benesat, apar marne foioase gălbui cu intercalări decimetrice de gips (pl. I, fig. 1).

Partea superioară a Sarmatianului este constituită din marne nisipoase cărbunoase cenușii, cu intercalări de nisipuri polimictice; acestea apar și în fundul văii Arduzelului, într-o butonieră de eroziune.

Mentionăm că în hărțile publicate și în manuscris (1963, 1967) în această parte nu sunt figurate depozite sarmatiene; nici Ghîurca (1970) nu le menționează.

Pannonianul este termenul stratigrafic cu aria cea mai întinsă de apariție, acoperind depozitele sarmatiene în lungul unei ușoare discordanțe, vizibile în fundul văii Arduzelului și a Spinătului.

Drapozitele pannoniene debutează printr-un orizont discontinuu de argile gălbui cu fragmente centimetrice de marne sarmatiene și de gresii tortoniene (badeniene), cu o microfaună remaniată de globigerinide și de elphizi.

Urmează un complex gros de peste 400 m alcătuit din argile plastice cenușii, cu intercalări de nisipuri prăfoase gălbui cu zone gresificate. Intercaleările marnoase cenușii sunt destul de rare. Ele conțin o microfaună săracă de ostracode (cyprideide) caracterizând zona C + D + E a Pannonianului. Succesiunea se încheie cu un pachet de cca 200 m grosime de

⁶ I. Kalmár, Doina-Orania Ionescu. Prospecțiuni geologice pentru pegmatite cu muscovit și roci utile în sectorul Itemecioara și în munții Ticău (județul Maramureș și Sălaj). 1969. Arh. M.M.P.G. București.

⁷ Laboratorul de Micropaleontologie al IPGSMS București.

argile nisipoase și argile prăfoase gălbui în care singurele resturi organice sunt fructificațiile de Characee, tuburile de viermi și sfârșinăturile de cochilii fin costate (probabil, limnocardiide).

Cuaternarul este reprezentat prin depozite de terasă, luncă, conuri de dejecție și alunecări de teren. Peticele de depozite psefítice, acoperite de un strat de lehm argilos de pe culmea dealului Bikerd și Cireșeg, sunt de vîrstă villafranchiană.

2. Tectonica

Cele două fali care delimităază compartimentul căzut al culoarului Sălajului de horstul Țicăului fac parte din sistemul „Para-Mezeș” (Păucea, 1964) cu săritura de cel puțin 400 m, evidentându-se și printre un sir de izvoare cu debit mare și cu apă ușor mineralizată.

Noi am evidențiat existența și a altor fali ce străbat terenurile plio-cene, aflindu-se în mișcare și în zilele noastre, așa cum reiese din observațiile efectuate asupra luncilor principalelor văi. Compartimentul care „cade” se evidențiază prin faptul că profilul văii suferă o adincere sensibilă în dreptul său, lunca este dezvoltată, înmlăștinată iar pîrliașul divaghează în numeroare coturi sau chiar dispără în mlaștini cu o asociatie vegetală caracteristică.

În ansamblu depozitele căd lin (3 – 12°) spre NW sau N, doar în apropierea faliilor amintite se observă o creștere a valorilor inclinării pînă la 40°.

3. Indicații asupra circulației hidrotermale

În lungul liniilor de fracturi apar, în loc sau ca fragmente, roci care aduc mărturie circulației unor fluide hipogene de temperaturi suficiente de ridicate și cu chimism corespunzător.

3.1. *Filonul de cuarț hidrotermal de la Benesat – La Vii.* Pe traseul faliului NE – SW în sol apar fragmente de cuarț alb, constituit din cristale cu forme de trapezoedru trigonal concrescute paralel sau în geode.

Practicind o săpătură, la 2 m sub nivelul solului, în marnele gălbui foioase sarmatiene, am întîlnit o zonă intens zdrobită, străbătută de vine de calcit, lamele de gips și cuiburi sau geode de cuarț hidrotermal.

În aceasta, în secțiuni subțiri se constată existența unor paiete de hidromice sau de illit, (pl. I, fig. 3) iar marnele din jur sunt întărite, odată cu apariția în masa lor a unor fibre de calcedonie și a unor cuiburi de hidromice bine vizibile la microscop. Cu totul sporadic apar cuiburi de pirită intens limonitizată.

Din determinările de temperatură de omogenizare a unor incluziuni bifazice rezultă valori de 170–185° în cuarț și 95° într-o lamelă de gips.

Analiza spectrală a unui eșantion este redată în tabel (proba 55 II și 57 H). Se remarcă prezența molibdenului, arsenului, bariului, a plumbului, zincului, a cuprului și a argintului, elemente care în mod obișnuit intră în compoziția depozitelor de natură hidrotermală.

3.2. *Opalizările în tuful de Benesat.* În amonte de IMA-Benesat, într-o mică carieră se observă numeroase bancuri de tufuri fine, care, în

secțiune subțire se dovedesc a fi transformate intens, fragmentele de sticlă și rarele cristaloelaste de plagioelaz fiind aproape integral înlocuite cu opal.

Gresiile tufacee din culeuș suferă și ele invazia unor vinisoare miliimetrice cu umpluturi de opal. Se observă de asemenea separarea de calcedonie pe teste de foraminifere din gresii (pl. I, fig. 2). Este posibil că și procesul de opalizare să fi avut loc sub acțiunea unor soluții hipogene ascențente.

3.3. *Concrețiunile grezo-limonitice*. Pe interfluviul Uleiug - Sălaj, respectiv Uleiug - Horoat, pe traseul faliilor dar și în alte locuri din apropierea lor, apar numeroase concrețiuni de 0,5 - 5 cm, constituite din mineralele ce formează nisipurile pannoniene (cuart metamorfogen, microclin, muscovit etc) într-un ciment feruginos - silicios (pl. I, fig. 4). Masa ci-

TABEL

Analiza spectrală (p. p. m.) a unor roci transformate hidrotermal și a unui cuarț hidrotermal din culoarul Sălajului

Nr.	55H La VII Benesat	57H La VII Benesat	59 H Dealul Cireșeg Uleiug	63 H Haltera Uleiug
Roca	Marnă breciată, silicificată, calcitizată și fin impregnată cu pirită	Cuarț hidrotermal	Concrețiune grezo-limonitică	Concrețiune grezo-limonitică
Ti	180	150	900	1000
Mn	300	900	250	140
Cr	-	-	50	prezent
Ni	23	45	prezent	20
Co	prezent	18	prezent	-
Mo	10	prezent	prezent	-
As	100	1800	400	100
Ba	200	150	500	150
Sr	1000	300	300	1000
Pb	300	500	300	100
Zn	50	100	prezent	500
Cu	500	1000	100	500
Ag	1	5	1	-

Analize efectuate la Laboratorul I.G.P. București.

mentului este constituită din flocule de goethit și fibre de calcedonie. În secțiune lustruită, la o mărire suficientă acele fine de goethit formează o pisă deasă întrețăiată de vine de gangă (calcedonie).

În versantul sudic al dealului Cireșeg, într-o mică excavație pentru extracția nisipului, am întâlnit cîteva astfel de concrețiuni „in situ”, de o parte și de alta a unei fisuri cu umplutură brecioasă, de 1 - 3 cm, străbătută de vine de limonit.

Analiza spectrală a unor astfel de concrețiuni este prezentată în tabel (probele 59 H, 63 H). Observăm din nou prezența unor elemente caracte-



ristice depozitelor de natură hipogenă: arsenu, plumbul, zincul, cuprul, molibdenul și argintul sunt metale comune în sulfurile hidrotermale iar bariul, strontiul și manganiul apar frecvent în gangă (baritina, rodocrozi).

În versantul sudic al dealului Uliciugului apar de asemenea concrețiuni limonitice dar masa de bază este de natură argiloasă. În secțiune apar, pe fondul aparent omogen al argilei, paie de hidromice și șiraguri de cristale ovoidale de sideroză intens sau total limonitizate.

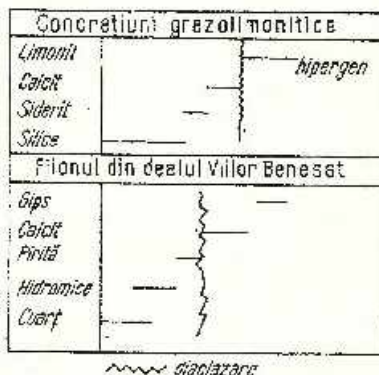
Prezența limonitului format pe seama siderozei, a fibrelor de calcedonie, a hidromicelor bine cristalizate și a oligoclementelor hidrotermale ne fac să punem pe seama unor soluții hipogene formarea acestor concrețiuni, în special prin sideritizarea carbonatului din cimentul gresiilor și aport de silice.

4. Concluzii

În sectorul cercetat, în lungul unor falii apar manifestări ale proceselor hidrotermale, manifestări traduse prin depunerile de silice, sideroză (ul-

Succesiunea de formare a mineralelor și a transformărilor hidrotermale din culoarul Sălajului.

Succession de formation des minéraux et des transformations hydrothermales du couloir du Sălaj.



terior limonitizată), formare de hidromice larg cristalizate și mobilizări de calcit și de gips (acolo unde există).

Transformările, cu caracter de argilizare, silicifiere și sideritizare hidrotermală au avut loc la temperaturi relativ scăzute și e posibil ca ele să fi decurs în mai multe etape, așa cum am căutat să ilustrăm în figură.

Vîrstă circulației hidrotermale este mai nouă ca zonele *C + D + E* ale Pannonianului dar mai veche ca Villafranchianul, neafectat.

Dată fiind distanța mare față de aria vulcanismului băinărean (cca 60 km) trebuie admisă existența unor centre sau vetele magmatice de sine stătătoare în afara zonei de aflorare actuală a rocilor eruptive neogene, în profunzime, în apropierea marilor fracturi „Para – Mezeș” și „Para – Codru” active pînă după finele pannonianului, așa cum de altfel se obser-

vă mai spre sud pentru iviri de vîrstă mai veche (Răileanu et al., 1964, Iliescu, 1965).

BIBLIOGRAFIE

- Chiurea V. (1970) Sedimentarul din bordura sudică a bazinului Râja Mare. Autoreferat Univ. Bucureşti, Fac. Geol. Geogr.
- Iliescu O. (1965) Date preliminare asupra vîrstei erupţiunilor de la est de Cristalinul Mezeşului (NW Transilvania). *D. S. Com. Geol.* LI/1, p. 31–43, Bucureşti.
- Kalmár I. (1971) Asupra prezenţei depozitelor postpannoniene în sudul masivului Preluca (judeţul Maramureş). *D. S. Inst. Geol.* LVII/4, p. 210–213, Bucureşti.
- Pauca M. (1964) Bazinul neogen al Silvanici. *An. Com. Geol.* XXXII, p. 89–114, Bucureşti.
- Răileanu Gr., Rusu A., Moisescu V. (1964) Relaţiile tectonice ale cristalinului munţilor Meseş-Ticău cu formaţiunile sedimentare ale Bazinului Transilvania. *St. Cerc. Geol. Geogr. (Geol.)* 9/2, p. 251–262, Bucureşti.
- Zotta-Lubanescu Victoria, Grahamatic Gloria, Radu Magdalena (1965) Observaţiile asupra stratigrafiei şi faunei depozitelor pannoniene din bazinul Silvaniei. *Com. St. I.P.L.*, IV, p. 20–21, Bucureşti.
- * * * (1963) Harta geologică a R.P.R. sc. 1 : 100.000, foaia Șomcuța. Inst. Geol., Bucureşti.
- * * * (1967) Harta geologică a R.S.R. sc. 1 : 200.000, foaia Râja Mare. Inst. Geol., Bucureşti.

OBSERVATIONS SUR L'ACTIVITÉ HYDROTHERMALE DANS LES DÉPOTS SÉDIMENTAIRES NÉOGÈNES DU COULOIR DU SALAJ

(Résumé)

Dans le secteur situé entre le massif cristallin de Ticău et celui de Bic (NW de la Transylvanie), au sein des dépôts badeniens, sarmatiens et pannoniens, on a mis en évidence des vestiges des circulations hydrothermales. Ceux-ci se manifestent par la présence des filons de quartz hydrothermal à hydromicas et sulfures, des zones opalisées en tufs et grès badeniens et par l'apparition des concrétions gréso-limonitiques à sidérose, goethite, hydromicas, quartz, calcédoine et opale, le long des failles, dans les dépôts pannoniens. Dans les roches transformées du point de vue hydrothermal, on voit apparaître des oligo-éléments spécifiques, identifiés à l'aide de l'analyse spectrale. Les transformations hydrothermales ont eu lieu à des températures basses (95–185°) et se sont déroulées probablement en plusieurs étapes.

L'âge de la circulation hydrothermale est post-pannien, mais anté-villafranchien. Vu que, dans le voisinage, on ne trouve pas des corps volcaniques au jour, l'auteur est tenté de mettre ces manifestations sur le compte des magmatites, cachées le long des lignes tectoniques régionales „para-Mezeş” et „para-Codru”.

PLANŞA I



Institutul Geologic al României

PIANSA I

Fig. 1. — Gips sarmatián. La VII, Benesat. N - , 25 x.
Gypse sarmatién, A VII, Benesat. N - , 25 x.

Fig. 2. — Gresie tufacee bădeniană silicifiată, de la I.M.A. Benesat. q, cuarț, fp, feldspat plagioclaz, parțial opalizat, m, teste de mollizice, l, *Lithophyllum*, f, fragment de cochlile de molasă, br, fragment de briozoar, c, calcedonie substituind cimentul bazal calcaritic, o, opal, N - , 12 x.

Gresie tufacă bădeniană silicifiată, de I.M.A. Benesat. q, quartz, fp, feldspat plagioclase, partiellement opalizé, m, tests de molloides, l, *Lithophyllum*, f, fragment de coquille de mollusques, br, fragment de briozoire, c, calcedoine, substituant le ciment basal calcaire, o, opale, N - , 12 x.

Fig. 3. — Filonul de cuarț de la VII, Benesat : q, cuarț hidrotermal, i, lamele de illit, py, granule de sulfuri fin disperse. N - , 12 x.

Filon de quartz de VII, Benesat : q, quartz hydrothermal, i, lamelles d'illite, py, grains de sulfures disséminées. N - , 12 x.

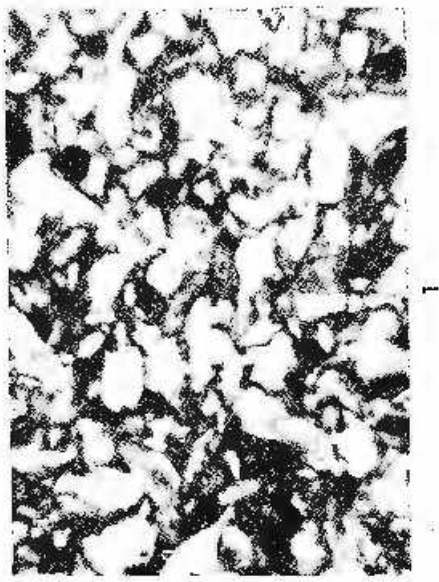
Fig. 4. — Gresie pannoniană traversată de un filon hidrotermal. Dealul Cireșeg, Ulcioag ; q, cuarț, q', cuarț hidrotermal, c, calcedonie hidromică, gh, goethit, s, sideroză parțial hidronitizată. N - , 12 x.

Gres pannonien traversé d'un filon hydrothermal. Dealul Cireșeg, Ulcioag ; q, quartz, q', quartz hydrothermal, c, calcedoine + hydromică, gh, goethite, s, sidérose partiellement hidronitisée. N - , 12 x.



I. KALMAR, Hidrotermalismul în sedimentarul neogen din culoarul Sălajului,

Pl. I.



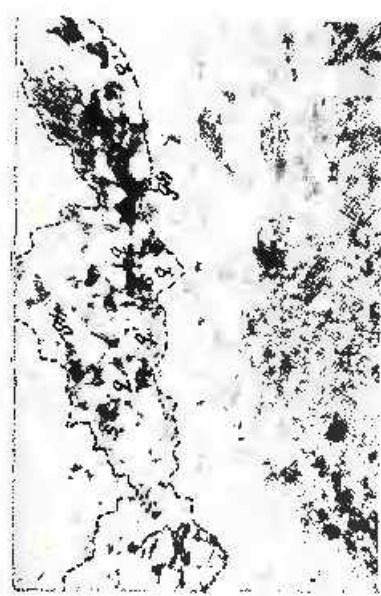
1



2



3



4

Institutul de Geologic și Geofizică. Dări de seismă ale ședințelor, vol. LXI/2.



Institutul Geologic al României

EXPLICATION DE LA PLANCHE

Planche II

Carte géologique de la région de Benesat - Vilching. Qd, diluvium; Qc, cônes de déjection; Qh, prairie; Qp₂, terrasse basse (> 5 m); Qvf, Villafranchien; N₂ pn, Pannonien; N₁s, Sarmatiens; N₁t, Tortonien (Badénien); Pg₁ -> It, Paléogène (série bigarrée inférieure); concrétions grésolimoneuses; q, filon de quartz; <<>>, gypse; / / /, zone opalisée.

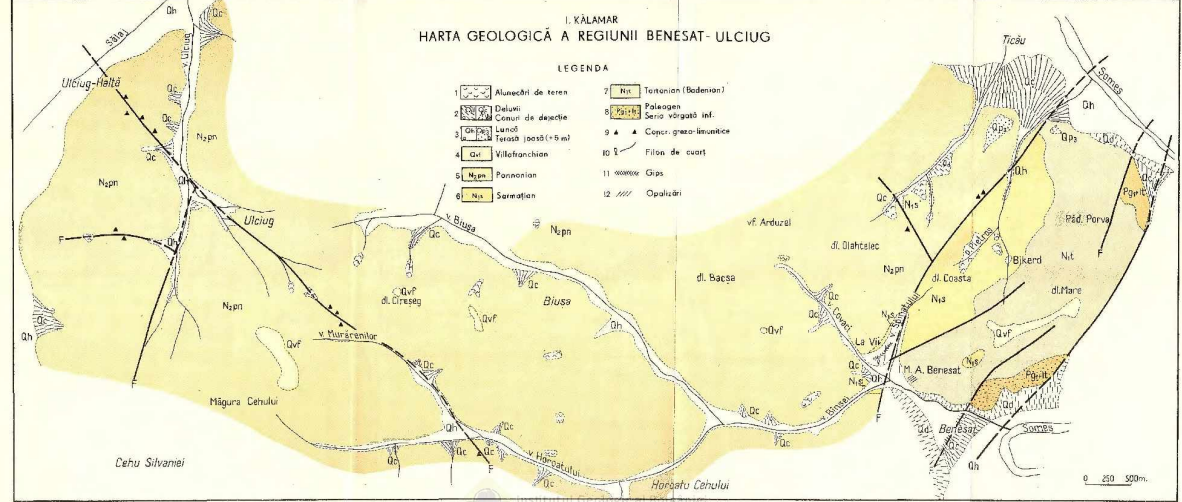


I. KALAMAR Indică: asupra activității hidrotermale în depozitele sedimentare neogene din culașul Satului lui

I. KALAMAR
HARTA GEOLOGICĂ A REGIUNII BENESAT- ULCIUG

LEGENDA

1 [Dashed] Alunecări de teren	2 [Hatched] Terasion (Bodenion)
2 [Cross-hatched] Deloc	3 [Hatched] Cenuri de desejie
3 [Hatched] Luncă	4 [Hatched] Terasa joasă (< 5 m)
4 [Gr.] Villanovichian	5 [Hatched] Pannonian
5 [Nspn] Pannonian	6 [Nis] Sarmation
6 [Nis] Sarmation	7 [Hatched] Paleogen
	8 [Hatched] Seria vîrghată inf.
	9 ▲ Ceajur gresiu-marmuric
	10 S Filon de cuart
	11 // Gips
	12 //// Opalisari



2. ZĂCĂMINTE

CONTRIBUȚII LA STUDIUL MINERALIZAȚIEI CINABRIFERE DE LA IZVORUL AMPOIULUI (MUNȚII APUSENI)¹

DE

VASILE MANILICI, LIVIU ROȘCA, RODICA APOSTOLESCU²

Abstracț

Contributions to the study of the cinnabariferous mineralization from Izvorul Ampoiului (Apuseni Mts.). The authors analyse the geological conditions of formation of the cinnabariferous mineralization from Izvorul Ampoiului, connected with the Nengene volcanites from the Apuseni Mts. Paragenesis: cinnabar, marcasite, pyrite, quartz, carbonates, is identical with the one of some other similar ores and the crystallization temperature of 154–204°C situates the researched mineralization among the epithermal ones. Beside Hg as a main element, one may identify hydrothermal and lithophyl micro-elements.

Cadrul geologic

Mineralizația cinabrigeră din apropierea localității Izvorul Ampoiului este cunoscută în valea Dobrotului, Crângul Băbuia, dealul Dumbrava, satul Viltori, s.a. fiind legată de ultimele manifestări vulcanice neogene din Munții Metaliferi.

Punerea în loc a mineralizației este controlată în ambele cazuri, în principal, de factorul tectonic, ea fiind localizată în zonele anticlinale ale celor două structuri.

În dealul Dumbrava, mineralizația apare localizată în culcușul faliei principale cu orientarea NW – SE, avind înclinare sud-vestică de 60° (fig. 1), concentrându-se în complexul de șisturi marno-grezoase și marnocalcare aptiene. Intercalațiile de gresii și conglomerate, destul de frecvente în porțiunile superioare ale complexului, sunt în general lipsite de concentrații mai importante de cinabru. Zăcământul a fost urmărit pe o lungime de cca 800 m, lărgimea lui atingînd cca 60 – 100 m în porțiunile superioare

¹ Comunicare în ședință din 31 mai 1974.

² Institutul Politehnic, Splaiul Independenței nr. 313, București,



aceasta scăzind treptat în adîncime încit, la nivelul orizontului — 20 ea se reduc la 1 — 3 m, iar la nivelul orizontului — 45, la cîțiva decimetri. Pe verticală zăcămîntul a fost exploata pe o diferență de nivel de cca 250 m.

La Băbuia, situată la cca 3 km NW de dealul Dumbrava, mineralizatia cinabrigeră alcătuiește mai multe corpuri dintre care patru au fost

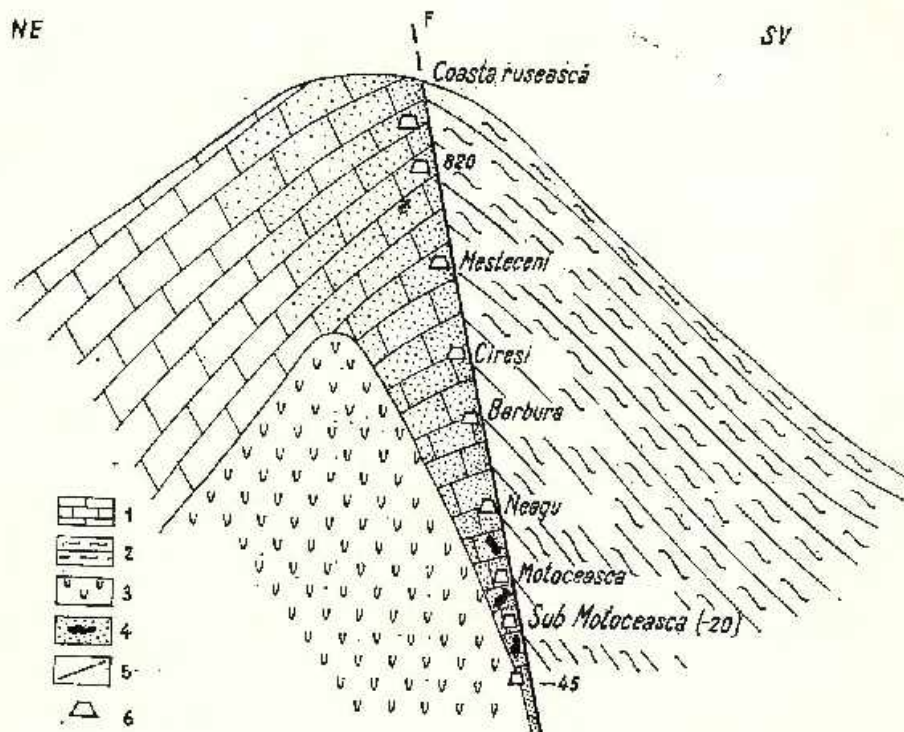


Fig. 1. — Secțiune transversală prin zăcămîntul Dumbrava, după Brana, Iacubovici și Savin.

1, Aptian; 2, Barremian; 3, Triasic; 4, mineralizatii de cinabru; 5, fali; 6, galerie.

Section à travers le gisement de Dumbrava, d'après Brana, Iacubovici et Savin.
1, Aptien; 2, Barrémien; 3, Trias; 4, minéralisation de cinabre; 5, faille; 6, galerie.

urmărîte mai de aproape. După Cipcigan³ aici cinabru se concentrează în intercalăriile de conglomerate și gresii calcaroase ale Aptianului (fig. 2), lipsind din cele argiloase, care și în acest caz au jucat rolul de ecran protector. Gresiile cu ciment silicios și argilos care apar în cuprinsul bancurilor respective nu sunt mineralizate. La fel și gresile, respectiv conglomeratele calcaroase cu ciment silicificat. Dimensiunile corpurilor mineralizate care

³ I. Cipcigan. Raport asupra lucrărilor de explorare din zăcămîntul cinabriger Băbuia. 1960. Arh. C.R.R.G.

rezintă interes practic variază de la 30—40 m, fără să depășească 70 m, iar grosimea lor se menține la 3—4 m, atingind local 15—20 m. Contururile corpurilor mineralizate sunt foarte neregulate, ele fiind condiționate de gradul de tectonizare și de porozitate.

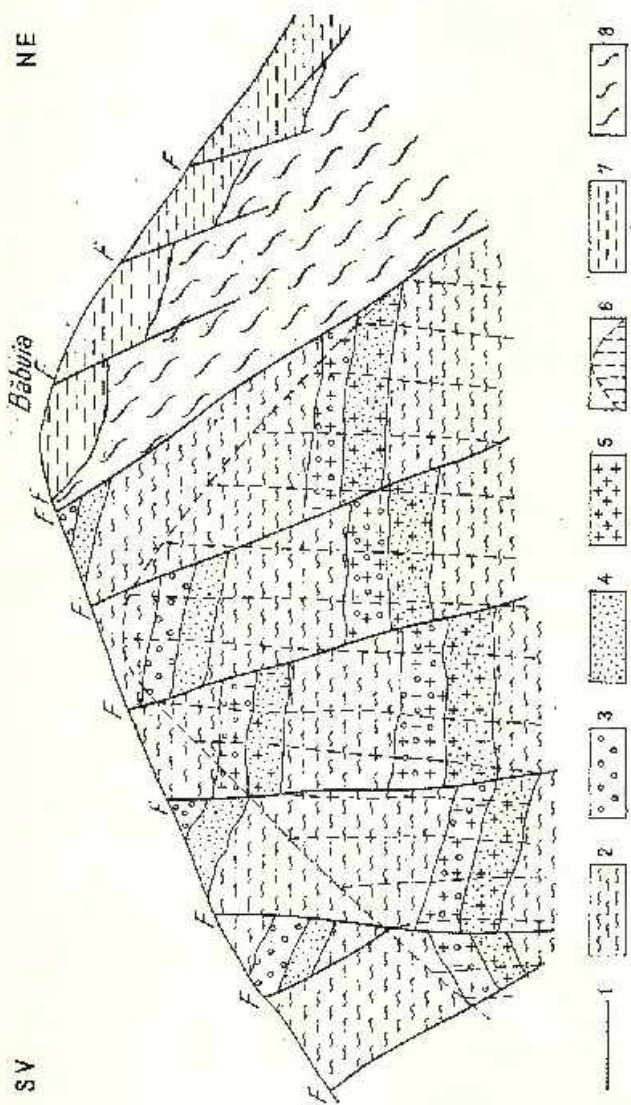


Fig. 2. — Secțiune transversală prin zăcămintul Băluia, după M. I. H. u.
1, fisuri; 2, sisturi verzi satinate (Apion); 3, conglomerațe calcaroase (Apion); 4, gresii calcaroase (Apion); 5, mineralizare cinabriferă; 6, zonă hidrotermalizată; 7, sisturi argilo-grozoase (Senonian); 8, schiste argilo-grozoase, gresii ± conglomerata.

Secțion à travers le gisement de Băluia, d'après M. I. H. u.

1, faille ; 2, schistes verds satinés (Apion) ; 3, conglomérats calcaires (Apion) ; 4, grès calcaires (Apion) ; 5, minéralisation cinabrifera ; 6, zone hydrothermalisées ; 7, schistes argilo-grosose (Senonian) ; 8, schistes argilo-grosose, grès ± conglomérats.

În ambele perimetre, mineralizația cinabriferă se prezintă, în ceea mai mare parte, sub formă de impregnație, cuiburi ori filonașe milimetrice, mai rar centimetrice. Obișnuit, filonașele cu uroplutură de cinabru, a căror frec-

vență atinge valori ridicate în porțiunile din imediata apropiere a faliei principale din dealul Dumbrava, sint însoțite de o impregnare mai intensă cu cinabru, intensitatea impregnației scăzind paralel cu depărtarea de culmeșul faliei, respectiv de sistemele de filonașe. În aceste porțiuni mineralizația are aspect de volbură.

O particularitate a zăcământului de la Dumbrava este apariția la nivelul orizonturilor inferioare, unde largimea rocii gazdă se reduce semnificativ, a unor corpuri de cinabru compact, care după Bran a (1958) puteau conține cîteva sute de kilograme de cinabru. Astfel de concentrații au fost întîlnite numai în porțiunile cu un grad ridicat de mineralizare, ele lipsind la nivelul orizonturilor superioare slab mineralizate. Asemenea concentrații sunt mai rare la Băbuia.

Procesul de mineralizare este însoțit în ambele cimpuri miniere de o decalcifiere a rocii gazdă, urmată de silicifiere și ușoară piritizare, în cadrul cărora are loc mai întîi îndepărtarea cimentului, urmată de depunerea de quart microgranular, urmat de sulfuri, calcedonie și gips.

Parageneza mineralologică

La examenul microscopic s-au identificat: cinabru, pirită, mareasită, goethit și lepidocrocit asociate cu quart, calcedonie, calcit și gips ca minerale de gangă. Fără să sănătă (1962) semnalizează, în dealul Dumbrava, prezența metacinabritului, care însă în cadrul cercetărilor noastre se dovedește a fi o varietate de cinabru.

Cinabru, componenta principală a minereului, se prezintă sub formă de agregate fin granulare care impregnează roca gazdă, mase compacte alcătuind umplutura filonașelor sau a corpuri lenticulare de la nivelele inferioare ale zăcământului Dumbrava. La Băbuia cinabru înlocuiește cimentul calcaros al conglomeratelor și al gresiilor, corodind local quartul detritic.

Se deosebesc două varietăți: una de culoare roșie obișnuită, cu urmă roșie și altă cenușie cu reflexe roșcate, considerată drept metacinabrit. Varietatea cenușie, prezentându-se sub formă de mase compacte, microgranulare, ce alcătuiesc umplutura unor filonașe care străbat varietatea roșie, ori tăpează mici goluri din minereul compact, se caracterizează prin urmă roșie și nu cenușie ca a metacinabritului.

Local, în mici geode ale masei de cinabru compact se observă apariția de cristale milimetrice de cinabru cenușiu-roșcat, fără să se poată determina formele cristalografice.

Ambele varietăți produc reflexe ale razelor X la: varietatea roșie: 4,22; 3,330; 3,134; 2,850; 2,361; 2,061; 2,009; 1,971; 1,809; 1,734; 1,729; 1,665 Å; — varietatea cenușie: 4,22; 3,351; 3,168; 2,841; 2,365; 2,065; 2,022; 1,975; 1,760; 1,729; 1,679 Å.⁴

Se constată că ambele varietăți aparțin cinabruului (fig. 3 a), deoarece lipsesc reflexele specifice metacinabritului: 3,369; 2,910; 2,035 și 1,680 Å.

⁴ Analist: G. h. Neacșu. Intreprinderea Geologică de Prospecții.

Singura reflexie apartinind metacinabritului, identificată la varietatea cenușie, este cea de $1,758 \text{ \AA}$, avind însă o intensitate slabă. Pentru comparație s-a analizat și o probă de cinabru cenușiu (fig. 3 b) de la Idria (R.S.F. Iugoslavia), obținându-se rezultate comparabile cu cele de la Izvorul Ampoiului.

Analiza termică diferențială a unei probe de cinabru compact, cuprindând ambele varietăți (fig. 4), confirmă prezența cinabruului marcată prin efectul exoterm de 418°C , asociat cu pirita marcată prin efectul exoterm de la $585-540^\circ\text{C}$ și minerale argiloase reprezentate prin montmoril-

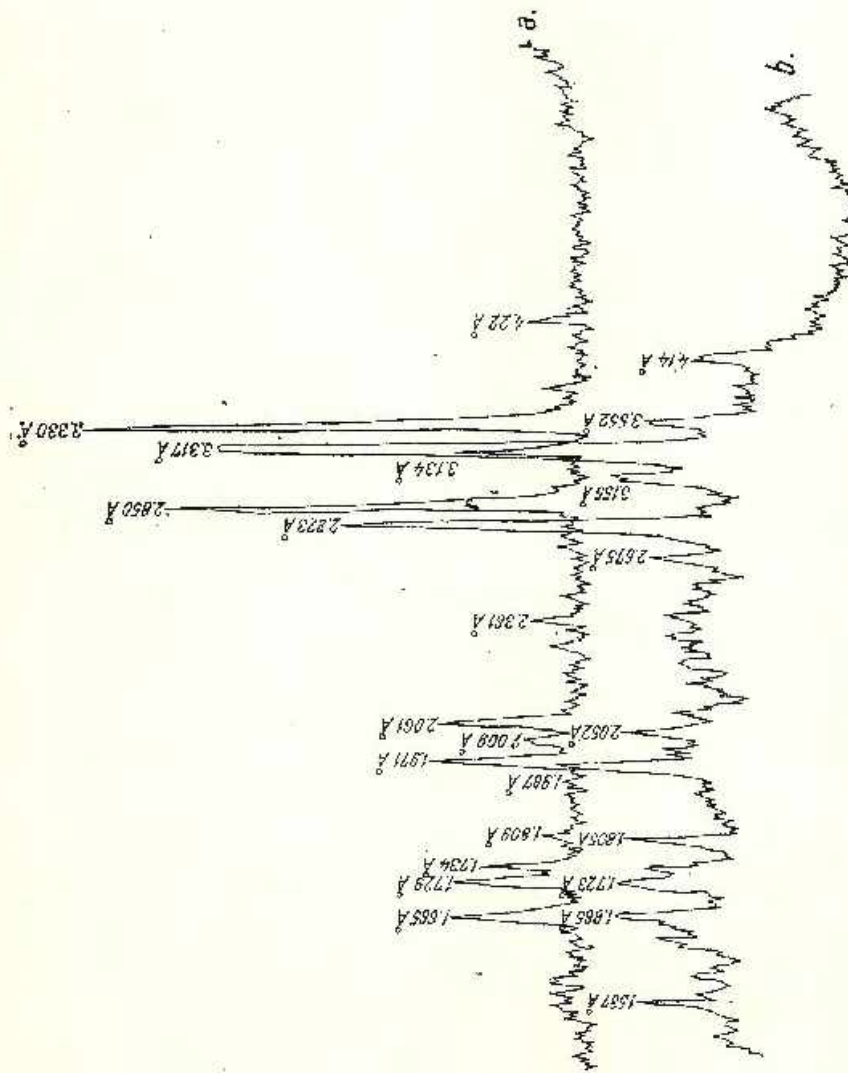


Fig. 3. — Diffractograma unor probe de cinabru de la : a/ izvorul Ampoiului, I/Idria, R. S. F. Jugoslavia.
Diffractogramme des quelques échantillons de cinabre de : a/ la source de l'Ampoiu, b/Idria,
R. S. F. Jugoslavie.

Ionit — illit ce se trădează prin efectele endotermice de la 180° și 525°C, inclusiv efectul exoterm de la 950°C. Prezența acestora din urmă se confirmă și microscopic (pl. I, fig. 1, 2, 3), ele identificindu-se ca resturi neînlocuite în masa cinabruului.

Temperatura de cristalizare, determinată prin metoda dilatometrică (fig. 5), este cuprinsă între 154—204°C.

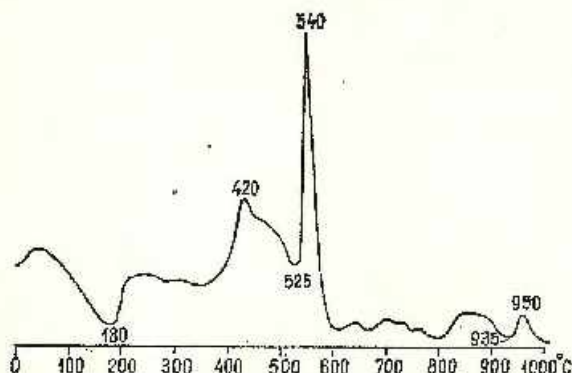
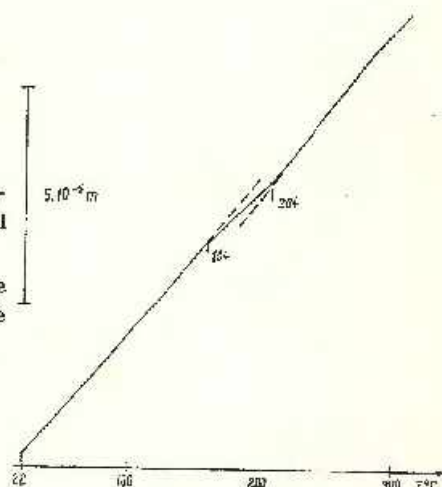


Fig. 4. — Curba termică diferențială a unei probe de cinabru din dealul Dumbrava oriz. Motoceasca.

Courbe thermique différentielle d'un échantillon de cinabre de la colline Dumbrava, horiz. Motoceasca.

Fig. 5. — Curba dilatometrică indicând temperatură de cristalizare a cinabruului compact din dealul Dumbrava, oriz. Motoceasca.

Courbe dilatométrique indiquant la température de cristallisation du cinabre compact de la colline Dumbrava, horiz. Motoceasca.



Microscopic, cinabru se prezintă mierogranular allotriomorf, acoperind pirita local idiomorfă, cuarțul detritic, inclusiv cuarțul criptogramular metasomatic din zonele de silicifiere. Obișnuit, el înlocuiește la început calcarul din masa marnelor, respectiv al marno-calcarelor din zona Dumbrava, inclusiv cimentul calcaros al gresiilor și conglomeratelor (pl. I., fig. 1, 2, 3, 4); în această primă fază mineralele argiloase rămân incluse în masa cinabruului, în fazele mai avansate și acestea din urmă fiind însă înlocuite de HgS. În fazele mai avansate cinabru corodează și cuarțul detritic. El

alcătuiește unplutura filonașelor ce străbat mărnele silicificate din dealul Dumbrava (fig. 6, 7), depunerea lui efectuindu-se în urma procesului de silificiere. În cuprinsul acestor filonașe, cinabru este frecvent asociat cu marcasită și cuarț, ambele depunându-se, în ceea mai mare parte, înaintea cinabrului (fig. 7), corodind, de preferință, marcasita. La rîndul său, cinabru este străbătut local de către carbonați apărându-și unor depunerile ulterioare. Se întâlnesc însă și cazuri în care filonașele cu umplutură de cal-

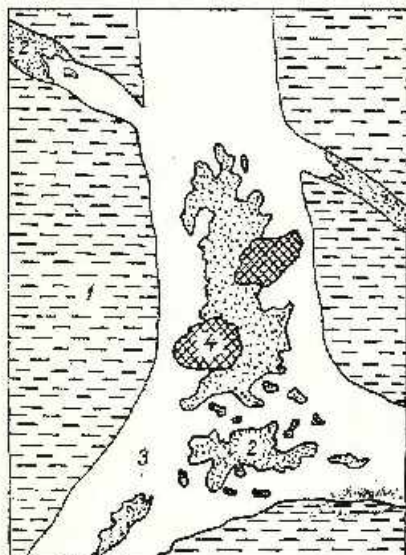


Fig. 6

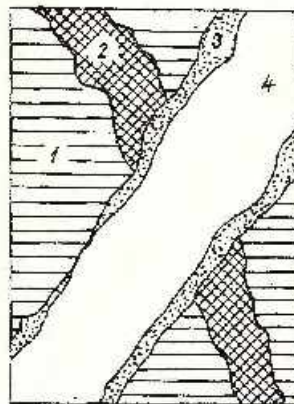


Fig. 7

Fig. 6. — Marnă parțial silicifiată (1), străbătută de filonașe cu umplutură de marcasită (2), întrerupte de filonașe cu umplutură de marcasită (2), cinabru (3) ce corodează marcasita și cuartul (4).

Marne partiellement silicifiées (1), traversée des filonets à remplissage de marcassite (2), coupés par des filonets à remplissage de marcassite (2), cinabre (3) qui corrodent la marcassite et le quartz (4).

Fig. 7. — Marnă silicifiată (1), străbătută de filonașe cu umplutură de cuarț microgranular (2), intersectate de filonașe conținând umplutură de marcasită (3), acoperită de cinabru (4).

Marne silicifiée (1), traversée des filonets à remplissage de quartz microgranulaire (2), intersectées par des filonets à remplissages de marcassite (3), recouverte de cinabre (4).

cit sunt traversate de către cele cu umplutură de cinabru, ceea ce indică o perioadă comună de depunere.

Varietatea cenușie a cinabrului alcătuiește unplutura filonașelor ce străbat varietatea roșie, fiind depusă în urma acesteia. Microscopic, aceasta din urmă prezintă aceeași putere de reflexie, avînd relieful ceva mai



scăzut. Spre deosebire de varietatea roșie, varietatea cenușie nu prezintă decit local slabe efecte de reflexie internă de culoare roșie-maronie, contrăstând cu cinabrusul comun care se diferențiază printr-o accentuată reflexie internă de culoare roșie deschisă. În nici una din secțiunile examineate nu s-a identificat apariția maclelor polisintetice specifice metacinabritului. În această varietate au fost identificate spectrografic de către Protopenescu de la I.G.P. : Zn, ca element major, Ag, Cu, Ni, Pb, Sn și In, ca elemente minore.

O caracteristică a varietății cenușii constă în prezența unor incluziuni fine de culoare galben-crem, cu un relief negativ față de al mineralului gazdă (pl. III, fig. 2). Dimensiunile lor oscilează între 5 – 40 μ . În aceste incluziuni același cercetător a pus în evidență, alături de Hg și prezența Cu, Fe, Mg, Ti, Mn și Si ca microelemente, fiind vorba probabil de o sulfosare complexă.

Pirita, prezentându-se sub formă de cristale idiomorfe cu formele (100) (210), ori de mici aglomerări poligranulare, impregnează roca gazdă, străbătind adesea zonele silicificate sub formă de filonașe. Este acoperită de cinabru, marcasită și calcit (pl. III, fig. 4). Sporadic, ea alcătuiește umplutura filonașelor ce străbat varietatea roșie a cinabrusului, fără să străbată varietatea cenușie.

Marcasita este ceva mai frecventă decât pirita, prezentându-se exclusiv sub formă de masă compacte. Totdeauna ca acoperă pirita, iar în raport cu cinabrusul se pot separa două generații : prima, depusă înaintea acestuia, ocupă porțiunile dinspre peretei filonașelor (fig. 7), deseori filonașele cu umplutură de marcasită fiind întrerupte de cele de cinabru care o corodează (fig. 6) ; cea de a doua generație străbate cinabrusul (pl. III, fig. 1). În raport cu cuarțul, marcasita este fie mai recentă (fig. 7), fie contemporană (fig. 6), ultimele sale depuneri nefiind asociate cu cuarț. Ca și pirita ea este în mare parte limonitzată în zona de oxidație.

Cuarțul este destul de frecvent în ambele zăcăminte, înlocuind în parte cimentul calcaros al gresiilor și conglomeratelor de la Băbuia, respectiv marno-calcarele din dealul Dumbrava. Dar, cuarțul poate alcătuie umplutura filonașelor ce străbat roca parțial silicifiată (fig. 7), fiind depus înaintea marcasitei și cinabrusului.

Caledonia a fost observată macroscopic în câteva probe din dealul Dumbrava de la nivelul orizonturilor Cireș și Mesteceni, în golurile rocii gazdă, acoperind cinabrusul.

Calcitul a fost observat la nivelul orizonturilor Cireș – Motocasca din dealul Dumbrava, alcătuind umplutura unor filonașe ce străbat marcasita și cinabrusul.

Gipsul, ceva mai frecvent decât calcedonia, a fost identificat sub formă de cristale milimetrice în complexul detritic de la Băbuia ori alcătuind umplutura unor fisuri milimetrice din roca gazdă din dealul Dumbrava. Sporadic, gipsul acoperă cinabrusul, fiind cristalizat în urma acestuia. Nu se cunosc relațiile sale cu calcitul fiind depus probabil în urma acestuia.

Goethitul și lepidocracitul, ca minerale supergene, sunt frecvent întâlnite în zona de oxidație din ambele perimetre înlocuind pirita și marcasita.

Obișnuit, se prezintă sub formă de pelicule alternate (pl. III, fig. 3), de grosimi micronice.

Mercurul nativ a fost semnalat sporadic la nivelul orizonturilor inferioare din dealul Dumbrava, inclusiv în forajul din valea Spălătorilor, la cca 300 m sub lucrările miniere de la Dumbrava. Este de remarcat apariția lui sub zona de oxidație. Absența sa în zona de oxidație poate fi explicată atât prin conținutul redus al mineralului cît și prin volatilitatea sa ridicată.

Pe baza raporturilor spațiale dintre minerele componente prezentate, s-a construit diagrama succesiunii de depunere a minereelor (fig. 8).

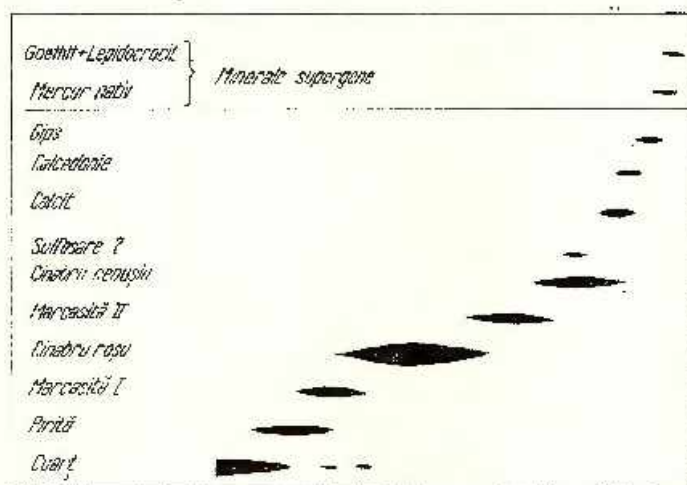


Fig. 8. — Succesiunea de depunere a minereelor din zăcăminte Dumbrava-Băbuia.
Succession de déposition des minéraux des gisements de Dumbrava-Băbuia.

Date geochimice

Pentru formarea unei imagini asupra variației concentrației Hg în cuprinsul mineralizației au fost prelucrate rezultatele a 825 de analize chimice ale probelor medii din dealul Dumbrava și cca 500 probe de la Băbuia.

În zona de suprafață a dealului Dumbrava, curba de variație, construită pe baza a 96 analize (fig. 9) indică o predominare a valorilor cuprinse între 0 — 0,01 % Hg, conținuturi mai ridicate fiind practic absente.

Curba de variație corespunzătoare orizontului 820, construită pe baza a 168 analize (fig. 9 b), indică o predominare netă a conținuturilor cuprinse între 0,01 și 0,03 % Hg. La acest nivel nu se întâlnesc concentrații mai mari de 0,04 % Hg, cinabru nefiind vizibil cu ochiul liber decât în cauză cu totul izolate.

La nivelul galeriei Mesteceni, curba de variație construită pe baza a 253 analize (fig. 9 c), indică menținerea maximului de frecvență la va-

loarea de $0,01 - 0,03\%$ Hg, observindu-se o ușoară deplasare a acesteia spre valori mai ridicate și menținerea ei spre valori de $0,120\%$ Hg.

Sporadic se întâlnesc și conținuturi de $1,5\%$ Hg, în asemenea condiții cinabru fiind vizibil cu ochiul liber.

La nivelul orizontului Cireș, curba de variație construită pe baza a 86 analize (fig. 10 a), prezintă o altură deosebită marcată prin diminuarea maximului de frecvență cuprins între $0,01 - 0,03\%$ Hg. Se menține frecvența conținuturilor mai ridicate, înregistrându-se în proporție de $3 - 4\%$ valori de $0,3 - 0,7\%$ Hg.

La nivelul orizontului Motoceasca, curba de variație, construită pe baza a 138 analize (fig. 10 b) își menține aspectul general, înregistrându-se o creștere vizibilă a frecvențelor spre valori mai ridicate. La alcătuirea acesteia n-au fost luate în considerare conținuturile concentrațiilor de cinabru masiv, care în timpul exploatarii au fost distilate direct fără să fie analizate.

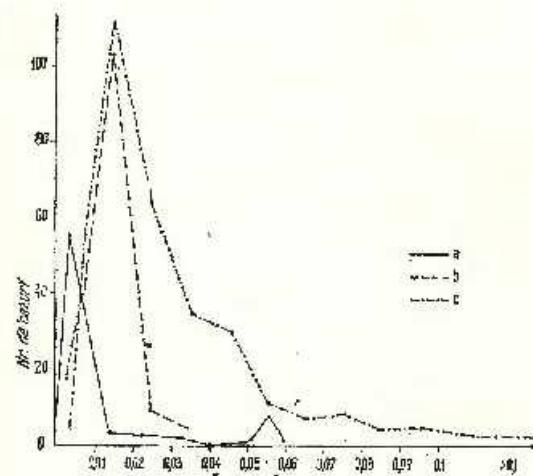
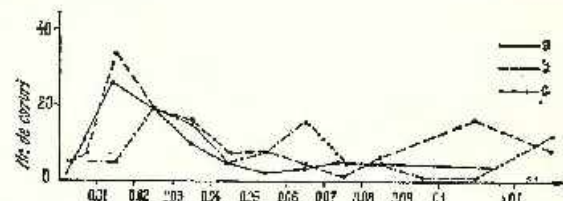


Fig. 10. — Curbe de variație a conținutului de Hg în dealul Dumbrava la nivelul galeriilor : Cireș (a), Motoceasca (b) și sub Motoceasca (c).

Courbes de variation de la teneur en Hg de la colline Dumbrava au jour (a), la galerie 820 (b) et la galerie Mesleci (c).



La nivelul galeriei sub Motoceasca, curba de variație construită pe baza a 94 analize (fig. 10 c), reprezentând porțiunile cu conținuturi scăzute, indică menținerea frecvenței conținuturilor ridicate. Ca și la nivelul galeriei Motoceasca, nu s-au analizat porțiunile cu cinabru masiv, unde conținuturile de Hg atingeau chiar $10 - 15\%$; în medie, la aceste nivele concentrația mercurului se inscrie în limitele valorificării economice.

Privind în ansamblu variația concentrației de Hg în cuprinsul zăcămintului Dumbrava, este lesne de văzut că aceasta crește ușor cu adâncimea. La nivelul suprafeței și a galeriilor 820 și Motoceasca, în zona de disperdere a soluțiilor mineralizate, se întâlnesc conținuturi mult inferioare limitei inferioare de valorificare economică. Sub galeria Cires, unde soluțiile mineralizante au fost obligate să-și depună conținutul lor de element util între culcușul faliei Dumbrava și corpul ofiolitic (fig. 1), concentrațiile cresc simțitor cu adâncimea, paralel cu ingustarea formațiunii gazdă, atestând rolul factorului geologic — structural în procesul de concentrare a cinabruului.

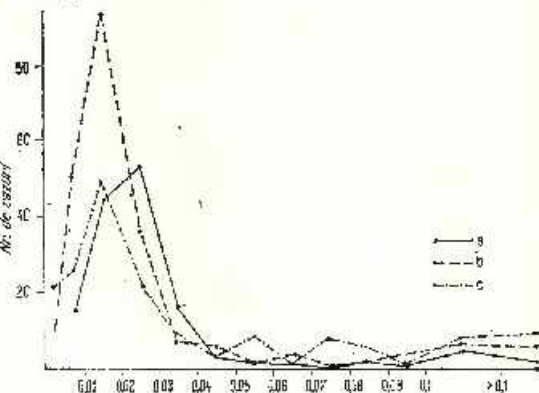


Fig. 11. — Curbe de variație a conținutului de Hg în dealul Băbuia, la nivelul galeriilor 4+6 (a), 2 (b) și 1(c).

Courbes de variation de la teneur en Hg de la colline Băbuia, au niveau des galeries 4 + 6 (a), 2(b) et 1(c).

Curbele de variație ale conținutului de Hg din dealul Băbuia prezintă o alură asemănătoare. La nivelul galeriilor 4 și 6, prin care s-a cercetat parte superioară a zăcămîntului (fig. 11 a), predomină conținuturile de 0,01 – 0,03 % Hg, cele corespunzătoare unor conținuturi mai ridicate întâlnindu-se în număr mic. Sporadic, (0,5%) din cele 138 cazuri analizate, apar conținuturi cu 1% Hg.

Curba de variație corespunzătoare galeriei 2 – intermediare – (fig. 11 b), construită pe baza a 228 probe analizate, indică o pondere mai mare a conținuturilor de 0,01 – 0,03 % Hg, iar cea corespunzătoare galeriei 1 – inferioară – (fig. 11 c), construită pe baza a 155 analize, prezintă o alură asemănătoare cu o oarecare creștere a ponderii conținuturilor mai ridicate. La nivelul ultimelor galerii se observă apariția mai frecventă (pînă la 4%) a unor concentrații mai mari de 1 – 8% Hg, ce contribuie la ridicarea valorii conținutului mediu, fără să se depășească limita inferioară de valorificare.

Față de dealul Dumbrava, creșterea conținutului cu adâncimea este mai puțin evidentă, datorită fragmentării corpuri mineralizate, cît și faptului că, la Băbuia, cercetarea cu galerii s-a realizat numai pe o diferență de nivel de cca 100 m.

Conținutul în elemente minore

Paralel cu prelucrarea datelor analitice ale probelor medii, au fost analizate 9 probe de cinabru pentru elemente minore. Probele de minereu

În ambele cazuri, punerea în loc a mineralizației este controlată atât de factorul tectonic cât și de cel litologic. În dealul Dumbrava ea se dezvoltă în complexul apărut din culenșul faliei principale sub un acoperiș de roci argiloase impermeabile, iar la Băbuia concentrațiile mai importante de cinabru se întâlnesc în zonele intens tectonizate din intercalațiile de gresii și conglomerate calcareoase. Sub influența mișcărilor tectonice neogene (I. A. N. O. V. I. C. I. et al., 1969) gresiile și conglomeratele competente s-au fisurat ușor, permitând circulația soluțiilor hidrotermale prin sistemul de fisuri format; depunerea minereului a fost favorizată de prezența intercalațiilor de roci argiloase incompetente, care au avut rol de ecrane protectoare.

Sistemul de fracturi a favorizat circulația soluțiilor hidrotermale ascendentă răspunzătoare atât de metamorfismul complexului sedimentar, cât și de formarea mineralizației. În prezent nu s-a stabilit apartenența acestora la un anumit ciclu tectono-magmatic. Chimismul soluțiilor a variat în timp. Primele veniri se caracterizează printr-un conținut ridicat de silice și o concentrație redusă în cationi metalici. Circulația acestora pe linile de falii, inclusiv prin fracturile rocilor componente, au contribuit la levigarea carbonatului de calciu din marnele și marno-calcarele de la Dumbrava, respectiv cimentul calcaros al gresiilor și conglomeratelor de la Băbuia, mărinindu-le porozitatea. Gresiile și conglomeratele cu ciment argilos ori silicios și-au menținut porozitatea inițială, prezentând un mediu mai puțin favorabil concentrării cinabrlui. Concomitent cu acest proces are loc și o parțială silicificare a rocilor în cauză.

După o nouă etapă de tectonizare de ampliere redusă a rocilor silicificate, chimismul soluțiilor se modifică în sensul îmbogățirii în Fe^{2+} și S^{2-} , determinând precipitația în continuare a piritei alături de cuarț și marcasită întâlnite în unele filonașe din ambele perimetre. Pe parcursul soluțiilor hidrotermale, datorită dizolvării CaCO_3 din rocile înconjurătoare, dobândesc un pH alcalin, se îmbogățesc simțitor în Hg magmatic, precipitând cinabru, a cărui depunere se realizează pe fisuri și în porii rocii. Viteza de circulație a soluțiilor a fost redusă, creându-se posibilitatea înlocuirii în continuare a CaCO_3 de către cinabru în cadrul procesului de metasomatозă bine vizibil microscopic în ambele perimetre. Local, paralel cu depunerea cinabrlui, precipită și o mică cantitate de marcasită, iar spre sfîrșitul perioadei de depunere a cinabrlui roșu se depune varietatea cenușie, care alcătuiește umplutura filonașelor ce străbat cinabru de culoare roșie.

În cadrul cercetărilor noastre nu am semnalat prezența metacinabritului. Zona optimă de mineralizare se situează, la Dumbrava, între orientul Barbura și sub Motoceasca (-20), în timp ce la Băbuia, o asemenea zonă este mai greu de stabilit datorită tectonizării avansate, respectiv dimensiunilor reduse ale corpurilor mineralizate.

Sub aspect economic, mineralizația din dealul Dumbrava, având dimensiuni mai mari, continuitate pe direcție și inclinare, la care se adaugă și aparițiile de concentrații de cinabru masiv în jurul căror conținuturile de Hg depășesc limita inferioară de valorificare, a putut fi exploatață. Cea

de la Băbuia, intens tectonizată, prezentându-se sub formă de corpuri de dimensiuni reduse cu conture neregulate, chiar cu apariția unor concentrații mai ridicate, nu a putut fi valorificată.

Ca și în alte zăcăminte de pe glob (Petrulian, 1973), la Izvorul Ampoiului se remarcă concentrarea cinabruului în roci carbonatate, atestind rolul CO_2 în procesul de precipitare al cinabruului (Saukov, 1954), iar concentrarea lui în roci argiloase ar fi determinată ca și la Almadén (Saupe 1973), de conținutul ridicat în C sapropelic.

Parogeneza: cinabru, marcasită, pirită, mercur nativ, calcit este proprie majorității zăcămintelor cunoscute, iar neidentificarea metacinnabaritului prin metoda roentgenografică ar putea fi explicată, după Lazar & enko et al. (1963), fie prin transformarea sa completă în cinabru, datorită menținerii timp îndelungat a unui pH alcalin, fie prin separarea din soluții numai a cinabruului. Absența mercurului nativ în zona de oxidare ar putea fi explicată prin faptul că viteza de evaporare a acestuia este mai mare decât viteza de formare pe seama cinabruului. Concentrațiile reduse de cinabru de la nivalele superioare ale zăcămintului Dumbrava ar putea fi explicate, după Saukov (1954), prin oxidarea cinabruului sub acțiunea oxigenului și formarea HgSO_4 , care în parte se hidrolizează dizolvându-se, iar o altă parte reprecipită sub formă de cinabru secundar. Prezența acestuia din urmă nu a putut fi pusă în evidență în cadrul cercetărilor noastre.

Temperatura de cristalizare a cinabruului de la Izvorul Ampoiului, stabilită pe baza unei singure determinări, este cuprinsă între 154–204°C mineralizația încadrindu-se în categoria celor epitermale.

BIBLIOGRAFIE

- Brană V. (1958) Zăcăminte metaliferi ale subsolului românesc. Edit. științifică. București.
- Fărcașan Maria (1962) Cercetări geologice în regiunea Valea Dosului (munții Metaliferi) D.S. Com. Geol. XLVII p. 175–183, București.
- Ghițulescu T. P., Socolescu M. (1941) Étude géologique et minière des monts métalifères. An. Inst. Geol. XXI, p. 409–415, București.
- Janovici V., Giușcă D., Ghițulescu T. P., Borcoș M., Lupu M., Bleahu M., Savu H. (1969) Evoluția geologică a munților Metaliferi. Edit. Acad. R.S.R. București.
- Merliček B. V. (1957) Zaconamernosti v formirovaniyia rtutnoho orudencija Višcovscho raiona (Zacarpacia). Geol. Sb. Lv. Geol. Ob., p. 89–105.
- (1959) O geneticheskikh sootnoshenija rtutnago i svintovozincovo orudenenija v Zaccarpatye. Lv. Gos. Univ. Probl. geol., 1, p. 249–255.
- Petrulian N. (1973) Zăcăminte de minerale utile. Edit. Tehn. București.
- Rankama K., Sahama Th. (1970) Geochimia. Traducere din l. engleză. Edit. Tehn., București.
- Saukov A. A. (1954) Geochimia. Traducere din l. rusă. Edit. Tehn., București.

Saupe Fr. (1973) La géologie du gisement du mercure d'Almadén. (Espagne). *Sc. de la Terre. Mémoire*, 29, Nancy.

Todor D. (1972) Analiza termică a mineralelor. Edit. Tehn., București.

CONTRIBUTIONS A L'ETUDE DE LA MINERALISATION CINABRIFERE DE IZVORUL AMPOIULUI (MONTS APUSENI)

(Résumé)

On connaît bien dans les Monts Apuseni les apparitions cinabrisées, liées aux dernières manifestations du volcanisme néogène du bassin supérieur de la vallée de l'Ampoiu. De celles-ci, la minéralisation de la colline Dumbrava est à présent entièrement exploitée et celle de Băbuia a été partiellement étudiée par des travaux de prospection.

Dans la colline Dumbrava, la minéralisation est localisée dans les schistes marno-gréseux et marno-calcaires apliens du lit de la faille principale, à orientation NW—SE et à pendage SW de 60° (fig. 1). Elle a été poursuivie sur une longueur d'environ 800 m, son épaisseur diminuant dès 60—100 m (au jour) jusqu'à environ 1 m, à une profondeur de presque 250 m.

Dans la colline Băbuia, située à quelque 3 km NW de Dumbrava, la minéralisation cinabrique constitue des corps moins grands, dont le développement atteint parfois 150—200 m et l'épaisseur — 3-5 m dans les intercalations de conglomérats et grès calcaires, le gisement étant fort tectonisé.

Dans les deux périmètres, la minéralisation apparaît sous forme d'imprégnation, nids ou filonets millimétriques, moins souvent centimétriques, et localement à allure de stockwerk. On a rencontré dans les niveaux inférieurs du gisement Dumbrava, où son épaisseur diminue au-dessous de 10-15 m, des corps lenticulaires de cinabre compact, renfermant jusqu'à des centaines de kg de Hg. Dans la colline Băbuia, la fréquence de tels corps est petite, leurs dimensions étant moins grandes. La mise en place de la minéralisation est accompagnée par la décalcification de la roche encalssante, suivie par une partielle silicification et une faible pyritisation de celle-ci.

La minéralisation est constituée de : cinabre, pyrite, marcassite, goethite, lépidocrocite, quartz, calcédoine, calcite et gypse. On y a identifié deux variétés de cinabre : l'une rouge, la plus fréquente, et l'autre grise — à reflets rougeâtres, sous forme de masses compactes constituant le remplissage des filonets qui traversent la variété rouge, à savoir le remplissage des cavités dans la masse du minéral. Les deux variétés produisent des réflexes de rayons X, correspondant au cinabre (fig. 3). La température de cristallisation du minéral, déterminée à l'aide de la méthode dilatométrique, s'inscrit entre 151—204° (fig. 5). Les relations spatiales entre les minéraux constituants, déterminées au microscope, y compris les observations macroscopiques montrent la succession de déposition présentée dans la figure 8.

Les résultats d'environ 1800 analyses chimiques sur des échantillons moyens prélevés des deux gisements ont permis de rédiger les diagrammes de variation présentés dans les

figures 9—11, qui laissent voir l'augmentation de la teneur en Hg, avec la profondeur, dans la colline Dumbrava, parallèlement à la diminution de son épaisseur. Parmi les éléments mineurs (tableau), on peut identifier autant des éléments hydrothermaux qu'aussi quelques éléments lithophyles.

La prédominance du minéral d'imprégnation, de même que les relations spatiales du cinabre avec les minéraux de la roche encaissante, montrent que celui-ci s'est formé en majeure partie par voie métasomatique, par déposition — dans les cavités créées par suite du processus de l'évaporation des carbonates — inclusivement par précipitation, sur les fissures (fig. 6, 7).



PLANŞA 1

23



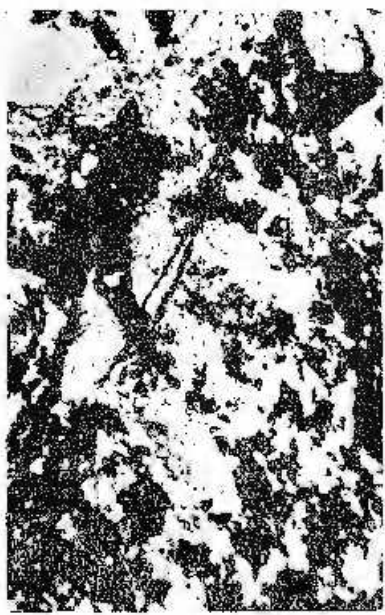
Institutul Geologic al României

PLANŞA I

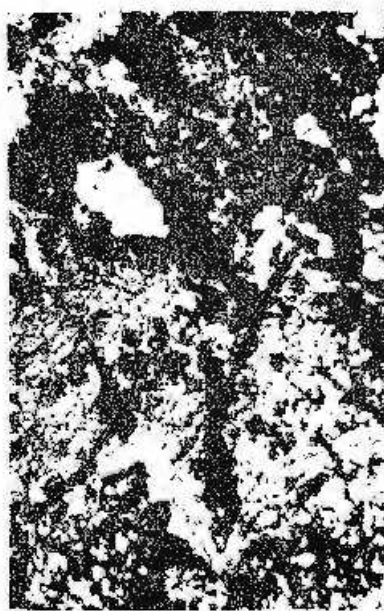
- Fig. 1. — Magiu în fază incipientă de înlocuire cu cinabru (negru). Dealul Dumbrava, oriz. sub Molocasen. Secțiune subțire. N +, 60 X.
- Marne în phase initiale de substitution par le cinabre (noir). Colline Dumbrava, horiz. au-dessous de Molocasca. Section mince. N +, 60 X.
- Fig. 2. -- Cinabru (negru), înlocuind în fază avansată, mineralele argileuze (alb striat). Secțiune subțire. Dealul Dumbrava, oriz. Molocasca. N /, 60 X.
- Cinabre (noir), substituant, en phase avancée, les minéraux argileux (blanc strié). Section mince. Colline Dumbrava, horiz. Molocasca. N /, 60 X.
- Fig. 3. — Cinabru (negru), înlocuind, în fază avansată, componentele marmei. Dealul Dumbrava, oriz. sub Molocasca. Secțiune subțire. N /, 60 X.
- Ghiubre (noir), substituant, en phase avancée, les constituants de la marbre. Colline Dumbrava, horiz. au-dessous de Molocasca. Section mince. N /, 60 X.
- Fig. 4. — Gresie în fază incipientă de înlocuire a cimentului calcaros de către cinabru (negru). Dealul Băbula. Secțiune subțire. N /, 60 X.
- Grès en phase initiale de substitution du ciment calcaire par le cinabre (noir). Colline Băbula. Section mince. N /, 60 X.



1



2



3

Institutul de Geologie și Cetățezi. Dări de seamă ale ședințelor, vol. LXI/2,

97796

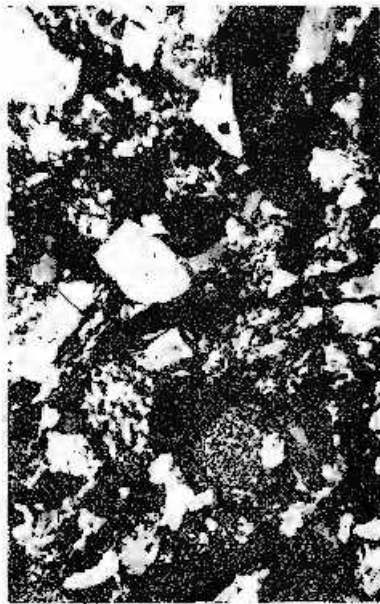


Institutul Geologic al României

PLANSA II

- Fig. 1. — Gresie în fază intermediară de înlocuire a cimentului calcaros de către cinabru (negru).
Dealul Băbuia. Secțiune subțire. N 1, 60 X.
Grès en phase intermédiaire de substitution du ciment calcaire par le cinabre (noir).
Colline Băbuia. Section mince. N 1, 60 X.
- Fig. 2. — Gresie în fază avansată de mineralizare cu cinabru (negru), Dealul Băbuia, galeria 2.
Secțiune subțire. N 2, 60 X.
Grès en phase avancée de minéralisation à cinabre (noir). Colline Băbuia, galerie 2.
Section mince. N 2, 60 X.
- Fig. 3. — Cinabru (alb) înlocuind cimentul calcaros al gresiei, quartul detritic (cenușiu închis) și o parte din carbonați (cenună deschis cu relief mai slab) rămăși inclus în cinabru. Dealul Băbuia, galeria 4. Secțiune lustruită. N 4, 55 X.
Cinabre (blanc) remplaçant le ciment calcaire du grès, le quartz détritique (gris foncé) et une partie des carbonates (gris clair, à contour moins accusé) restant inclus dans le cinabre. Colline Băbuia, galerie 4, Section polie. N 4, 55 X.
- Fig. 4. — Cinabru (alb) înlocuind componentele marno-calcarului (cenușiu închis). Dealul Dumbrava, oriz. Motocasea. Secțiune lustruită. N 5, 55 X.
Cinabre (blanc) remplaçant les constituants du marno-calcaire (gris foncé). Colline Dumbrava, horiz. Motocasea. Section polie. N 5, 55 X.





1



2



3



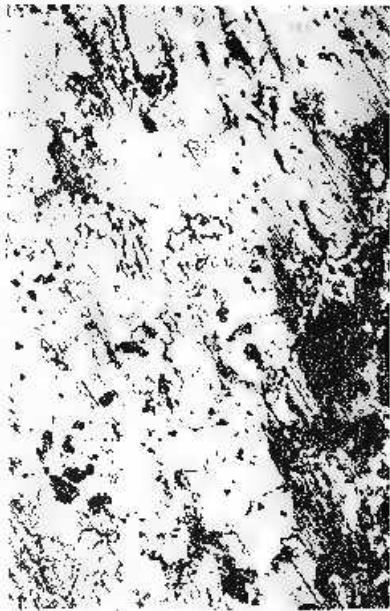
4

PLANSA III

- Fig. 1. — Cinabreul (alb-gri) care înlocuiește marna (cenusiu închis) străbătut de filonașe ce marcasită (albă). Dealul Dumbrava, oriz. Motoceasca. Secțiune lustruită. N₁₁, 55 X.
Cinabre (blanc-gris) remplaçant la marne (gris foncé) traversé des filonets de marcasite (blanches). Colline Dumbrava, horiz. Motoceasca, Section polie. N₁₁, 55 X.
- Fig. 2. — Varietatea cenusei a cinabrenului (alb-gri) cu incluzuni de sulfosare (alb). Dealul Dumbrava, oriz. Motoceasca. Secțiune lustruită. N₁₁, 60 X.
Variété grise du cinabre (blanc-gris) à inclusions de sulfo-sel (blanc). Colline Dumbrava, horiz. Motoceasca. Section polie. N₁₁, 60 X.
- Fig. 3. . Alternanțe de goethit (cenusiu) și lepidocrocit (cenusiu-albiciclu cu nuanțe schimbătoare) pseudomorfotizând pirita, acoperită de cinabre (blanc). Dealul Băbiu, galeria 6. Secțiune lustruită. N₁₁, 55 X.
Alternances de goethite (gris) et lépidocrocite (gris blanchâtre à nuances changeantes), pseudomorphosant la pyrite couverte par le cinabre (blanc). Colline Băbiu, galerie 6. Section polie. N₁₁, 55 X.
- Fig. 4. — Marna străbătută de filonașe de cinabru cenusiu (alb) ce include cristale idiomorfe de pirilă cubică. Dealul Dumbrava, oriz. sub Motoceasca. Secțiune lustruită. N₁₁, 35 X.
Marne traversée des filonets de cinabre gris (blanc), renfermant des cristaux idiomorphes de pyrite cubique. Colline Dumbrava, horiz. au dessous de Motoceasca. Section polie. N₁₁, 35 X.



2



3



4



5

Institutul de Geologie și Cetățică. Dări de seamă ale sedințelor, vol. LXI/2

2. ZĂCĂMINTE

CUPRUL ȘI ZINCUL DIN BIOTIT CA INDICATOR AL CONCENTRAȚIILOR DE MINEREU ÎN ROCILE SERIEI DE REBRA (MUNTII RODNA)¹

DE

TITUS MURARIU²

Abstract

Copper and zinc from biotite as indicators of the mineral concentrations within the rocks of Rebra series (Rodna Mtsy). The obtained results point out the correlation between the high content of Cu and Zn in biotite and the presence within the rocks of Rebra series, of some premetamorphic concentrations of pyrite and polymetallic sulphides.

Nota de față urmărește să pună în evidență corelația dintre conținutul ridicat de cupru și zinc în biotit și prezența în rocile seriei de Rebra a unor concentrații premetamorfice de pirită și sulfuri polimetalice. În acest sens, s-au luat în studiu trei probe de biotit separate din micașisturile de pe valea Rebra, unde seria este metamorfozată în condițiile faciesului amfibolitelor cu almandin (K rău t n e r , 1968).

În micașisturi, biotitul se dezvoltă sub formă de lamele, paralele cu șistozitatea, intrerupte uneori de porfiroblaste de granat almandinie și conține incluziuni de zircon care produc aureole pleocroice.

Datele de analiză din tabelul 1 arată că aspectul chimic principal pe care-l reflectă compoziția biotitului din micașisturile seriei de Rebra îl constituie conținutul ridicat în fier și magneziu. Se remarcă faptul că în toate biotitele analizate FeO este mai mare ca Fe_2O_3 , iar variația oxidului de titan are loc în limite restrinse, de la 2,05 pînă la 2,20%. Participarea manganiului este destul de scăzută (0,06 – 0,14% MnO) iar oscilația oxidului de calciu este cuprinsă între 1,16 și 2,90%.

Gradul de substituție a Si^{4+} cu $\text{Al}^{3+}(a_3)$ în biotit din micașisturile seriei de Rebra variază între 27,75 și 30,50 (tab. 1). Aceste valori sunt în

¹ Comunicare în ședință din 18 mai 1974

² Institutul Geologic, sector geo chimic, Aleea Gr. Ghica Vodă nr. 41 A. Iași



TABELUL 1

Compoziția chimică și formulele cristalochimice ale biotitului din micașisturile seriei de Rebra

Oxizi %	bM - 313	bM - 378	bM - 384
SiO ₂	36,11	38,36	38,84
TiO ₂	2,20	2,20	2,05
Al ₂ O ₃	18,96	19,42	19,65
Fe ₂ O ₃	3,86	2,72	3,70
FeO	16,37	14,78	12,90
MnO	0,14	0,08	0,06
MgO	9,64	8,33	8,65
CaO	1,46	2,90	2,25
Na ₂ O	0,55	0,58	0,47
K ₂ O	8,34	7,58	8,21
H ₂ O ⁺	1,25	1,80	1,75
H ₂ O ⁻	0,42	0,40	0,39
Rest nedozat considerat ca F	0,70	0,85	1,18
Total	100,00	100,00	100,00
a _{Si}	30,50	27,75	27,75
f	72,7	72,7	70,7

Formulele cristalochimice

bM - 313 $(K_{0,43}Na_{0,08})_{0,81}Ca_{0,12}[Mg_{1,11}Fe_{1,05}^{2+}(Fe_{0,22}^{3+}Ti_{0,12}Al_{0,50})]_{5,00}(Si_{2,73}Al_{1,22})_4O_{10}$
 $(OH_{0,65}F_{0,13}O_{1,25})_2$

bM - 378 $(K_{0,75}Na_{0,08})_{0,81}Ca_{0,12}[Mg_{0,93}Fe_{0,93}^{2+}(Fe_{0,16}^{3+}Ti_{0,12}Al_{0,51})]_{5,74}(Si_{2,85}Al_{1,11})_4O_{10}$
 $(OH_{0,90}F_{0,20}O_{1,30})_2$

bM - 384 $(K_{0,78}Na_{0,07})_{0,85}Ca_{0,17}[Mg_{0,96}Fe_{0,80}^{2+}(Fe_{0,20}^{3+}Ti_{0,11}Al_{0,61})]_{5,88}(Si_{2,89}Al_{1,11})_4O_{10}$
 $(OH_{0,87}F_{0,27}O_{1,30})_2$

acord cu datele prezentate de K o r i k o v s k i i (1965) pentru gradul de substituție a Si⁴⁺ cu Al³⁺ în biotitul din rocile faciesului amfibolitic.

Fericitatea (f) biotitelor analizate este cuprinsă între 64,7 și 72,7 și caracterizează biotitele din roci aparținând faciesului amfibolitic în care f > 60 (Z a k r u t k i n, G r i g o r e n k o, 1968).

În diagrama lui H e i n r i c h (1946) analizele noastre se situează în cimpul de proiecție al biotitelor din rocile metamorfice iar în seria micelor trioctaedrice (F o s t e r, 1951) probele se încadrează în grupa biotitelor ferifere.

După cum se constată din analizele prezentate în tabelul 2, conținutul de cupru în biotitul din micașisturile seriei de Rebra variază de la 125 pînă la 200 ppm și prezintă o relație direct proporțională cu fierul bivalent și magneziul (fig. 1). De remarcat este faptul că, în general, în biotite, cu excepția probei bM - 378 conținutul de cupru este mai ridicat decît în micașisturile din care au fost separate (fig. 2). Această constatare se corelează foarte bine cu datele din literatură. Astfel L o v e r i n g et al.

(1970) citează un conținut de 20 ppm Cu în granodiorite și 200 ppm Cu în biotitul separat din acestea.

Valoarea medie, 150,3 ppm Cu, este superioară mediilor prezentate de Savu et al. (1967), Liovici (1972) pentru biotitul din sisturi și se apropie de conținutul de cupru al biotitului din granodioritele de la

TABELUL 2

Conținutul de Cu și Zn (ppm) în micașisturi și biotitele separate din ele (seria de Rebra)

Proba	Roca, mineralul	Localizare	Cu	Zn
313	Micașist cu granați	valca Rebrisoara	150	95
bM-313	Biotit din 313		200	693
378	Micașist cu granați	galeria Gușet	144	98
bM-378	Biotit din 378		126	1562
384	Micașist biotitic	galeria Paltinul	70	96
bM-384	Biotit din 384		125	943

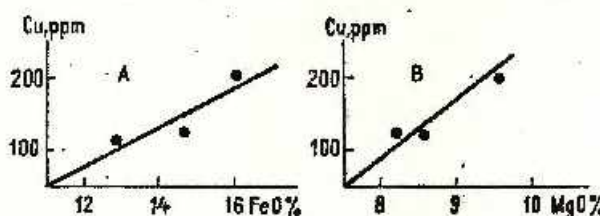
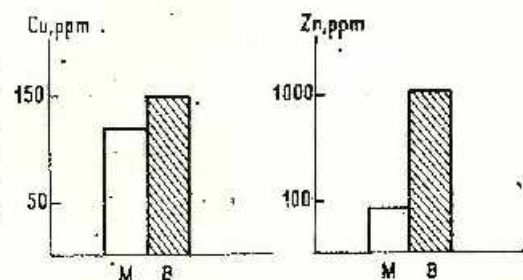


Fig. 1. — Caracterul relației Cu : FeO(A) și Cu : MgO(B) în biotitul din micașisturile seriei de Rebra.

Caractère de la relation Cu : FeO(A) et Cu : MgO (B) dans la biotite des micaschistes de la série de Rebra.

Fig. 2. — Diagramme comparatif cu conținuturile medii de Cu și Zn în micașisturi (M) și biotitele (B) separate din ele. Diagrammes comparatifs avec les teneurs moyennes en Cu et Zn dans les micaschistes (M) et les biotites (B) séparées de ceux-ci.



Santa Eita, considerat de Lovering et al. (1970) ca indicator al mineralizațiilor cuprifere asociate cu rocile eruptive din Arizona de Sud (tab. 3).

Modul de ocurență a zincului în biotit este determinat, după cum arată Rankama-Sahama (1970), de proprietatea sa de a substitui fie-

rul bivalent și magneziul (fig. 3) precum și de particularitatea geochemicală a provinciei respective (Liahowici, 1972). Conținutul mediu de zinc în biotit, prezentat de Wedepohl (1965) este de 300 ppm. În biotitul din gnaise, Haack (citat de Liahowici, 1972) a găsit 455 ppm Zn iar pentru biotitul din sisturi, Liahowici (1972) indică un conținut mediu de 62,9 ppm Zn. Comparativ cu aceste date, în biotitul din micașisturile

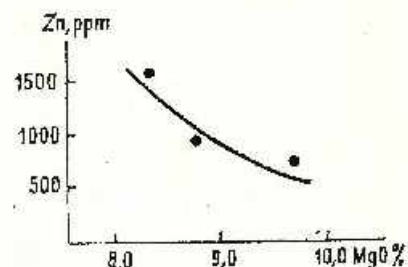


Fig. 3. - Substituția Mg de către Zn în biotitul din micașisturile seriei de Rebra
Substitution du Mg par le Zn dans la biotite des micașistes de la série de Rebra.

seriei de Rebra se remarcă o valoare mult mai ridicată, 1066 ppm Zn. Acest conținut confirmă observațiile lui Wedepohl (1965), Liahowici (1972) după care, participarea largă a zincului în biotit este rezultatul prezentei în rocile din regiunea respectivă a unor mineralizații polimetalice (tab. 3). Ca și în cazul cuprului, conținutul de zinc din biotit este mult mai ridicat decât în micașisturie din care a fost separat (fig. 2).

Conținuturile ridicate de cupru și zinc găsite de noi arată că modul de ocurență a acestor elemente în biotitul din micașisturile seriei de Rebra este determinat, în cea mai mare parte, de prezența în regiune a mineralizațiilor de sulfuri polimetalice și pirită, considerate de Kräutner (1968) ca acumulări vulcanogen-sedimentare metamorfozate regional. Această corelație caracterizează biotitul din micașisturile seriei de Rebra ca un indicator al concentrațiilor premetamorfice de minereu întinute în vestul masivului Rodna, în valea Gușet cît și în partea de est, în bazinul Văii Săcii și în valea Blaznei.

TABELUL 3

Conținutul mediu (ppm) și coeficienții de concentrație (*k*) ai Cu și Zn în biotit

Locație, localizare	Cu	<i>k</i>	Zn	<i>k</i>	Autorul, anul
Micașisturi, seria de Rebra	150,3(3)	7,5	1066(3)	17,7	Savu et al., 1967
Sisturi cristaline, munții Semenic	69,2(4)	3,4			Liahowici, 1972
Sisturi (în general)	19,6(15)	0,9	69,2(7)	1,5	
Granite asociate cu mineralizații polimetalice, Arkansas			720(200)	12,0	Wedepohl, 1965
Granofiorite cretace, Santa Rita, Arizona	150(2)	7,5			Lovering et al., 1970

Rolul biotitului în acumularea cuprului și zincului se evidențiază și din valorile ridicate ale coeficienților de concentrație (k) ai acestor elemente: 7,5 pentru Cu și 17,7 pentru Zn (tab. 3).

BIBLIOGRAFIE

- Foster Margaret D. (1960) Interpretation of composition of trioctahedral micas, U.S. Geol. Surv. Prof. Paper 345 B, p. 11–49.
- Heinrich E. W. (1946) Studies in the mica group: the biotitephlogopile series, Amer. Jour. Sci., 244, 12, p. 836–848.
- Korikovskii S. P. (1965) Biotitiz porod zelenoslanțevoi i amfibolitovoï fații metamorfizma. D. A. N. SSSR, 160, 1, p. 189–192.
- Kräutner H. G. (1968) Vederi noi supra masivului cristalin al Rodnei, Stud. cerc. geol., geof., geogr., Ser. geol., 13, 2, p. 337–355.
- Liahoievici V. V. (1972) Redkie elementy v porodoobrazuiushchih mineralakh granitoidov, Izd. Nedra.
- Lovering T. G., Cooper J. R., Drewes H., Conne G. G. (1970) Copper in biotite from igneous rocks in Southern Arizona as an ore indicator, U. S. Geol. Sur. Prof. Paper, 700 B, p. 1–8.
- Rankama K., Sahama Th. G. (1970) Geochimia, Ed. tehnică.
- Savu H., Vasiliu Cecilia, Udrescu Constanța (1967) Variatia compozitiei chimice a granațiilor piralspitici și a biotitelor din zonele metamorfice ale cristalinului munților Semenic, Stud. cerc. geol., geof., geogr., Ser. geol., 12, 1, p. 129–143.
- Zakrutkin V. V., Grigorenko M. V. (1968) Titan ișecloci v biotitah pri metamorfizme, D. A. N. SSSR, 178, 3, p. 683–686.
- Wedepohl K. H. (1965) Gheohimiceskii obzor raspredelenia ūnka. Problemi gheohimii, Izd. Nauka.

LE CUIVRE ET LE ZINC DE LA BIOTITE EN TANT QU'INDICATEUR DES CONCENTRATIONS DE MINERAIS DANS LES ROCHES DE LA SÉRIE DE REBRA (MONTS RODNA)

(Résumé)

C'est la teneur élevée en fer, magnétium et la teneur réduite en manganèse qui constituent l'aspect chimique principal mis en évidence par la composition de la biotite des micaschistes de la série de Rebra. Les valeurs atteintes par le degré de la substitution du Si^{4+} par Al^{3+} (a_{Si}), de même que la ferricité (f) des biotites confirment les données présentées par Korikovskii (1965) et Zakrutkin et Grigorenko (1968) quant aux biotites des roches se rattachant au faciès amphibolique.



La teneur en Cu des biotites analysées varie dès 125 jusqu'à 200 ppm et celle en Zn — dès 693 jusqu'à 1562 ppm. Ces valeurs élevées démontrent que le mode d'occurrence du Cu et du Zn dans la biotite des micaschistes de la série de Rebra est déterminé en majeure partie par la présence, dans cette région-là, des minéralisations de pyrite et sulfures polymétalliques, considérées par Kräutner (1968) comme des accumulations volcano-sédimentaires métamorphisées sur le plan régional. Cette corrélation caractérise la biotite en tant qu'indicateur des concentrations pré-métamorphiques de minéral rencontrées dans les roches de la série de Rebra.



2. ZACĂMINTE

ALCĂTUIREA CHIMICO-MINERALOGICĂ A BAUXITELOR DIN REGIUNEA SOHODOL-CÎMPENI (jud. BIHOR)¹

DE

VICTOR-CORVIN PAPIU, VASILE IOSOF, SILVIA MÎNZATU, RADU GIUȘCĂ²
GRIGORE JACOTĂ³

Abstract

The mineralogical-chemical composition of bauxites from Sohodol-Cîmpeni region (Bihor district). The earth bauxites from Sohodol-Cîmpeni region (Apuseni Mts, Romania) are found in the lowermost part of the Santonian formation being accumulated during a sideritic phase manifested at the Santonian level. The chemical-mineralogical study allowed their division in three groups among which two have primary characters bound by the sedimentation genesis and primary diagenesis (ferrie bauxites and ferrous bauxites) and the third one has secondary characters (iron-leached and ferriferous bauxites). The main minerals from bauxites are boehmite, iron minerales (hematite in ferrie bauxites, sepiolite in the ferrous ones, siderite, pirite), kaolinite (accompanied by dickite in argillaceous rocks) and anatase. It is admitted that the Sohodol bauxites were generated by the accumulation of a ferrolitic mud resulted from the early bauxites or from the laterites which are developed at the surface of crystalline schists and granitic rocks. Concomitantly there also took place precipitation processes (detrito-chemical bauxites). The exogenic processes lead to iron-leached and slight kaolinisation of bauxites.

Bauxitele din regiunea Sohodol-Cîmpeni (jud. Bihor) se situează în baza formațiunii de Gosau (cretacic-superioară), marcând prezența unui facies sideritic la nivelul Santonianului din Munții Apuseni. Ele se încadrează în grupa bauxitelor carstice (de W e i s s e , 1964) și mulează un paleorelief de la suprafața calcarelor cristaline ale seriei de Aries, pe care le depășesc arareori, dispunindu-se peste șisturi cristalofiliene.

În acoperiș, în continuitate de sedimentare, peste aceste roci se găsesc depozite argilo-detritice cu cărbuni, cu care bauxitele de la partea

¹ Comunicare în ședință din 8 martie 1974.

² Institutul de Geologie și Geofizică, str. Caransebeș nr. 1, București.

³ I. F. L. G. S., Bd. N. Bălcescu nr. 26, București.



superioară a seriei pot fi în unele cazuri confundate. Deasupra acestor depozite continentale se dezvoltă formațiunea marină care debutează cu calcare recifale cu rudisti, roci ce acoperă uneori direct bauxita.

Cercetările anterioare au recunoscut, încă cu decenii în urmă, corelația dintre bauxite și sedimentele detritice sincrone, menționind prezența bauxitei în lantul conglomeratelor bazale ale formațiunii de Gosau precum și pe cea a materialului clastic înglobat în bauxite (R o z l o z n i k , 1934, P r o t e s c u , 1938). Apreciind vîrstă acestei formațiuni din „bazinul Sohodolului” ca situată între Campanian și Maestrichtian, L u p u , L u p u (1955)⁴ consideră, pe baza determinărilor petrografice executate de P a - p a c o s t e a (lde D i m i t r e s c u , 1958) că bauxitele de la Sohodol sunt sedimente cretacice marine, opinie pe care o regăsim și la D i m i t r e s c u (1958), care apreciază că transgresiunca cretacică senoniană din acest sector al Munților Apuseni debutează cu formațiunea bauxitiferă. B o r d e a et al. (1965)⁵ admit că bauxitele de la Sohodol-Cimpeni au rezultat din resedimentarea unui material provenit din bauxite primare de vîrstă cretacic-inferioară.

L u c c a (1963, 1966) prezintă alcătuirea chimico-mineralogică a acestor roci în care sunt recunoscute mineralele primare (boehmit, diaspor, caolinit, limonit) și minerale remaniate din formațiunea cristalofiliană subiacentă. Admite opinia genezei allochtonă pentru „sedimentele care au generat bauxitele”, fenomenul de banxitizare petrecindu-se însă „in situ” sub acțiunea factorilor determinați de clima de la sfîrșitul Cretacieului.

Materialul care a stat la baza prezentei lucrări a fost colectat atât din aflorimente cât și din vechile lucrări miniere ale Intreprinderii ISEM (M.I.P.G.G.). Primele studii chimico-mineralogice au fost executate de autori în cadrul Institutului geologic⁶ și au format obiectul unui raport, fiind apoi menționate succint într-o lucrare cu caracter general (P a p i u et al., 1970 b).

I. Ocuparea formațiunii și caracterele rocilor asociate

Rocile bauxitice din regiunea Sohodol-Cimpeni constituie corpuși mai mult sau mai puțin stratiforme de dimensiuni variabile, precum și lentile cu grosimi în general sub 5 m, ocupând vechi depresiuni carstice. În dealul Răchiții – Vîrciorobii, ca și în regiunea Hoanca Lungă, de unde provine materialul studiat, bauxitele repauzează peste calcarele cristaline și, în mod exceptional, peste sisturi cuarțo-muscovitice (pl. I, fig. 1) fiind acoperite concordant de depozitele formațiunii de Gosau (pl. I, fig. 2).

⁴ M. L u p u , D e n i s a L u p u . Raport asupra cercetărilor geologice în regiunea Vidra-Sohodol 1955 Arh. Inst. geol., București.

⁵ S. B o r d e a , I o s e f i n a B o r d e a , I. G e o r g e s c u , R. P u r i c e l . Raport geologic asupra prospectiunilor geologice pentru hidrocarburi în regiunea Abrud–Deva – Aind, între valea Mureșului și valea Arieșului (continuare) 1965. Arh. Inst. Geol., București.

⁶ V. C o r v i n P a p i u , S i l v i a M i n z a t u , V. I o s o f , R. G i u ș e ă , C o n s t a n ț a U d r e s c u , A. D i m i t r i u . Studii mineralogice și geochemice asupra bauxitelor din Munții Apuseni 1968. Raport Inst. geol., București.

Principala masă bauxitică este reprezentată prin roci massive, hematitice, de culoare roșie sau cenușie prin deferizare, și care apar placate direct peste calcarele cristaline din pat, pătrunzind uneori pe fisurile acestor roci asemenea unor filoane sedimentare. În galeria de la Hoanca Lungă ca și într-o serie de puncte din sectorul de la Dealul Răchiții, bauxitele prezintă în bază un nivel subțire detrito-muscovitic, care capătă uneori un caracter grezos, sau grezo-conglomeratic. Formațiunea acoperitoare este reprezentată prin calcaré conglomeratice și brecioase situate concordant peste bauxită. În o serie de cazuri din Dealul Răchiții, la partea superioară se găsesc bauxite feroase de culoare brună, cenușie pînă la negră cu textură șistoasă, conținând pirită, sideroză și chiar cărbune. Ele sunt confundabile, datorită și texturii, stratificată pînă la șistoasă, cu argilitele sau cu șisturile argilitice și reprezentă depozitele acumulate în ultima fază a perioadei siderolitice. Cantitativ bauxitele feroase sunt însă cu totul subordonate bauxitelor roșii, situația fiind analoagă sub acest raport cu unele bauxite din masivul Pădurea Craiului (Papiu et al., 1970 a). Într-o luerare anterioară (Papiu et al., 1970 b) am arătat că, în interpretarea noastră, această succesiune denotă evoluția geochemicală a domeniului bauxitic de acumulare în care însă, spre deosebire de cazul menționat, se trece direct de la bauxite ferice puternic oxivate, la bauxite feroase, prin stadii successive cu sideroză și apoi cu pirită.

În alte cazuri însă sedimentarea bauxitică a fost integral contaminată de aporturi argilo-detritice, luînd naștere sedimente grezo-siltitice și chiar conglomeratice cu matrice caolino-bauxito-hematitică, precum și argile bauxitice cum este cazul depozitelor placate poste șisturile enarșito-siltitice străbătute de puțurile 54 E și 102-ISEM, Dealul Răchiții. În masa bauxito-conglomeratică explorată prin puțul 54 E-ISEM (Dealul Răchiții) se găsesc inglobate blocuri de calcaré cristaline de dimensiuni centimetrice pînă la decimetrice. În puțul 23 -ISEM, peste rocile bauxitice apar conglomerate cu blocuri și fragmente de calcaré cristaline și de bauxite preexistente, cuprinse într-o matrice grezoaso-feruginoasă de culoare violacee (pl. I, fig. 3).

Solul și lehmul bauxitelor, răspîndit pe toată suprafața carstică de la Sohodol, conțin, ca și în masivul Pădurea Craiului, cantități variabile de granule și de fragmente de bauxită.

În zona Vîrciorobiei, nivelul bauxitic are o dezvoltare continuă și o evidentă uniformitate, acoperit sau dezgolit la zi de eroziune. În lumina acestor date, presupunem că depozitele bauxitice au ocupat inițial întreaga suprafață carstică sau zone întinse, grosimea formațiunii fiind determinată de relief. Porțiunile cu nivelul bauxitic mai gros corespund, după cum este și firesc, unor vechi depresiuni carstice, reale capeane pentru materialul feralitic primar.

Calcarul cristalin care alcătuiește patul, peste care se găsesc placate bauxitele, este o rocă adeseori aproape monominerală alcătuită din cristaloblaste de calcit, cărora li se adaugă în cantități cu totul subordonate muscovit, biotit în general eloritizat, precum și sporadice granule de zircon și de rutit, minerale accesoria recunoscute, de altfel, și în depozitele bauxitice.

Sub raport geostructural, masivul calcaros la care ne referim se încadrează în formațiunea denumită de D im i t r e s c u (1958), „Cristalinul Arieșului” și, în cadrul acestuia, în „seria de Baia de Arieș”. După autorul menționat această serie mai cuprinde filite microblastice cu granați, sisturi cuarțito-muscovitice cu granați, paragnaise cu biotit și granați, amfibolite. Grosimea calcarelor marmoreene ar atinge, numai după datele de suprafață, circa 200 m în regiunea Sohodol (B o r d e a et al., 1965)⁷.

II. Caractere petrografice

Pe baza studiului microscopic, în cadrul depozitelor bauxitice de la Sohodol, au fost deosebite două grupe principale litologice, separate pe criterii mai ales structurale :

- roci detritice reprezentate prin conglomerate, gresii și siltite cu liant argilo-bauxito-feruginos ;
- roci cu structură pelitocromorfă, reprezentate prin diferitele tipuri de bauxite și prin argilele asociate, deosebirea riguroasă dintre aceste roci putindu-se face doar pe cale termodiferențială și roentgenografică.

Materialul prezent în tipul detritogen (cca 50% din masa roei) este de natură cristalofiliană, mezometamorfică, variind pe o largă scară granulometrică, în genere fără nici un indiciu de granoclasare. Granulele submilimetrice (peste 0,5 mm) ca și fragmentele psefítice (sub 1 cm), sunt în majoritate colțuroase, fără indicii de abraziune, formele rotunjite fiind cu totul subordonate. Alături de acestea apar fragmente de bauxită pre-existentă și uneori granule de calcar cristalin remaniat din patul formațiunii. Într-o probă de la partea superioară a lentilei de bauxită de la Hoanca Lungă se constată prezența unui nivel, neseparat prin suprafață de strat de bauxită subiacentă, alcătuit dintr-un calcarenit pînă la microcalcicrudit cu ciment bauxito-feruginos în care materialul elasic, constituind 85% din masa acestei roci, este reprezentat prin granule alungite de calcit de dimensiuni milimetrice, pînă sub 0,08 mm, menținindu-se în genere în cadrul fractiei psamitice fine și medii. Alteori bauxitele fac corp comun cu roci grezoase propriu-zise.

În rocile detritice, alături de cuarț se găsește muscovit lamelar în genere în diferite grade de caolinizare, chestiune asupra căreia vom reveni, lame de biotit mai mult sau mai puțin eloritizat (în gresii și conglomerate) și granule de minerale sporadice (accesorii) cum sunt turmalina, zirconul, rutilel, staurolitul (în rocile silitice) și, cu totul accidental, apatitul și titanitul (pl. I, fig. 4). Silitoarenitele situate peste calcarele cristaline din Dealul Răchiții (proba 202 a, puțul 54 ISEM) conțin cuarț de dimensiuni silitice (30–40%), cuarț psamitic fin (5–15%) și muscovit proaspăt (20–35%), cu 10–20% liant bauxito-caolinitic (pl. II, fig. 1). Peste acestea urmează o gresie microconglomeratică (proba 202 b) și silitice cu liant argilo-hematitic, remaniind fragmente de sisturi sericeitoase și de cuarțite alături de granule colțuroase de cuarț de dimensiuni psamitice, muscovit

⁷ Op. cit. pct. 5.

necaolinizat, biotit proaspăt, măsliniin și, sporadic, granule de turmalină și de zircon.

Rocile argiloase conțin uneori, în cantități ridicate, lame de muscovit (\pm caolinizat) dispus mai mult sau mai puțin paralel cu stratificația sau fluidal (pl. II, fig. 2).

În alcătuirea rocilor bauxitice se deosebesc următoarele componente litologo-structurale: masa fundamentală sau mezostaza; corpuseculii figurați autigeni (oioidele, sferulitele și framboizii); materialul detritic de origine cristalină (monomineral sau litic) și fragmente de bauxită remaniate intraformatiional; materialul organogen (calcit și substanță organică); minerale epigenetice depuse în mezostază în elementele figurate sau pe fisuri.

Bauxitele ferice care alcătuiesc principala masă de roci sunt în genere massive, rareori orientate și au culoarea roșie.

Masa lor fundamentală este pigmentată cu hematit de mare dispersie (hematogel), în genere opacă. Deferizarea face ca enloarca să varieze spre cenușiu sau brun. Mai ales în porțiunile de la partea periferică a lentilelor, în masa bauxitelor ferice se remarcă prezența unor corpuseculi ovoidali uniformi sau cu maximum două zone (proba 211 a), corpuseculi ooidali deformăți prin contracție (spastolite), precum și minuscule fragmente ce par a proveni din sedimente bauxitice remaniate în stare încă plastică (pl. II, fig. 3). Oioidele complexe, alcătuite din reuniunea mai multor corpuseculi elementari, sunt foarte rare.

Bauxitele feroase sunt brune (pl. II, fig. 4) sau cenușii și conțin adeseori sferulite criptocristaline de sideroză sau framboizi de pirită reunite prin cruste caolinitice. Au textură stratificată pînă la sistoasă.

În masa fundamentală a ambelor tipuri de bauxite apar cantități variabile de muscovit detritic uneori proaspăt dar mai ales în diferite grade de caolinizare, pînă la reale pseudomorfoze de caoliniit după muscovit. Procesul are loc în medii pelitice acide și este rezultatul unei caolinizări epitaxice a muscovitului. Acesta din urmă se umflă ca o armonie iar milul de origine pătrunde uneori între lamele de mică. De altfel, în bauxitele și argilele de la Sohodol se recunosc adeseori atare situații: muscovite în curs de caolinizare pătrunse în material argilo-bauxitic (pl. III, fig. 1) sau de minerale specifice (sideroză, pirită) (pl. III, fig. 2). Acest caracter a fost citat de noi și într-o lucrare anterioară (Papiu et al., 1970 b) pentru bauxitele allochton din Hațeg. Astfel se explică de altfel și cantitățile foarte reduse de potasiu ce apar în analizele chimice precum și faptul că, pe cale roentgenografică, nu a fost identificat niciodată muscovitul. Prezența unor mari procente de litiu (Papiu, Urescu, 1973), după cum se va vedea, este legată probabil de alterarea unei mici litinifere (lepidolite), caolinizate în fază diagenetică primară, fapt confirmat de altfel și de prezența materialului pegmatitic din sedimentele detritice. Muscovitul caolinizat este, fie răspîndit neregulat în rocă, fie orientat riguros după direcțiile de sistozitate și uneori cu dispoziții fluidale și pare a se concentra mai ales spre baza depozitelor de bauxită cărora le imprimă uneori un caracter detritogen, rocile fiind asemănătoare macroscopic gresilor (proba 215

a galeriei Hoanca Lungă). Dimensiunile acestor minerale variază între 0,08 și 0,30 mm.

Este remarcabilă absența totală a quartului din bauxitele ferice și a feldspațiilor detritici. Sporadic apar însă granule de zircon, rutil și turmalină, remaniate din formațiunea cristalofiliană subiacentă. Mai rare sunt însă mici granule de calcit (cristaloblaste) ce provin din același fundament și corpusculi calcitici ce par a proveni din diagenizarea unor problematice resturi organice (în bauxitele feroase exemplu proba 208, orizontul superior).

Mineralele care alcătuiesc bauxitele și liantul rocilor detritice rezultă din materialul primar de fină dispersie precum și din precipitarea coloizilor prezente în milul feralitic de origine. Decelarea lor s-a făcut pe cale termodiferențială și roentgenografică corelată cu interpretarea analizelor chimice.

Dintre mineralele triadei (Al – Fe – Ti), în bauxitele feroase se recunoaște microscopic sideroza (pl. III, fig. 3), care alcătuiește corpusculi

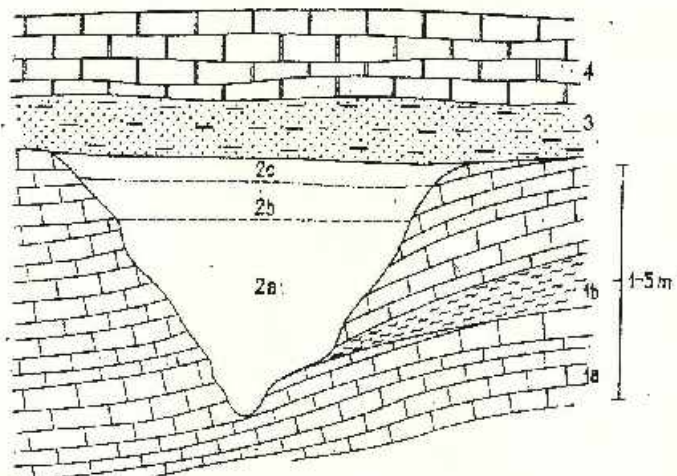


Fig. 1. — Schéma alcăturirii unei lentile bauxitice de la Sohodol 1a, calcar marmorean; 1b, schisturi mezometamorfice; 2a, bauxită ferică; 2b, bauxită feroasă sideritică; 2c, bauxită feroasă pirito-cărbunoasă; 3, schisturi grezo-argiloase cu cărbuni; 4, calcare cu Hippuriti. Schéma de la constitution d'une lentille bauxitique de Sohodol 1a, calcaire marmoréen; 1b, schistes métamorphiques; 2a, bauxite ferrique; 2b, bauxite ferreuse sidérétique; 2c, bauxite ferreuse pyrito-charbonneuse; 3, schistes gréso-argileux à charbons; 4, calcaires à Hippurites.

fibroradiari sau recristalați total, uneori fragmentari, dovedind o remaniere intraformatiională și pirita de neoformație dispusă uneori în framboizi complecsi, acoperiți de caolinit, care pare a avea rolul de liant (pl. IV, fig. 1). În unele lame de muscovit se constată pătrunderea siderozei sau piritei pe direcțiile de clivaj. În bauxitele feroase se mai întâl-

nese uneori și mici fragmente de cărbune, înconjurate de caolinit recristalizat.

Net epigenetice și catagenetice sunt probabil minusculle procente de diaspor și hidrargilit, oxizi și hidroxizi de fier și mangani, caolinitul și sulfati (Dealul Răchiții) de pe fisuri și uneori de pe oglinzi de fricțiune, concrețiile de goethit din zonele deferizate (pl. IV, fig. 2), precum și miciile geode de oxizi de mangani de pe limitele bauxit/calcar.

Studiul ocorențelor bauxitice din regiunea menționată indică o succesiune marcată în genere prin prezența rocilor detritice și argiloase în bază (care însă adeseori lipsesc), precum și a bauxitelor ferice la partea inferioară, peste acestea sau în exclusivitate (galeria Hoanca Lungă). Bauxitele feroase apar la partea superioară și fac trecerea uneori către depozitele din acoperiș (fig. 1).

III. Considerații chimico-mineralegice

Pentru întocmirea prezentului studiu au fost executate asupra materialului bauxitic de la Sohodol, un număr de 21 analize chimice, roentgenografice și termodiferențiale pe baza cărora a fost calculată alcătuirea mineralogică cantitativă. Între rocile cercetate se numără 2 roci detritice (un grezo-conglomerat și un grezo-siltit), 2 argilite și 17 bauxite (tab. 1, 2, 3, 4). Pentru rocile detritice datele se referă, în mod special, la alcătuirea matricei, comparabilă cu a rocilor bauxitice și argiloase, astfel că în tabelele 2 și 3 se găsesc cîte două rubrici pentru fiecare : roca brută și matricea, în acest ultim caz eliminind prin calcul, contribuția chimico-mineralogică a materialului detritic. În tabelul 4, pentru primele două tipuri litologice s-a menționat doar media, fiind vorba numai despre cîte două probe analizate, în timp ce, pentru bauxite, s-au notat atît limitele de variație cît și valoarea medie aritmetică. Pe baza acestor date, în cadrul formațiunii cercetate, s-au putut stabili o seamă de tipuri litologice ale căror caracteristici au fost sistematizate în tabelul 5. Din aceste tabele rezultă că toate cele trei tipuri litologice (detritic, argilos, bauxitic) se înrudează prin prezența aluminei libere sub formă de boehmit și a caolinitului (aflată în raport invers) precum și a unor conținuturi deosebite dar comparabile de titan, sub formă de anatasă și de fier. Acesta din urmă este însă legat în mod variat, atît sub forma sa oxidată (hematit, goethit) în rocile argilo-detritice și în bauxitele ferice și feroferice, cît și sub cea redusă (septeclorit, sideroză, pirită) preponderent în bauxitele feroase. Prezența acestor minerale, ca și corelațiile care există între ele, reflectă condițiile de redoxipotențial în care s-au acumulat și au evoluat apoi diageneticrocile considerate. Sub raport geochimic acest caracter reiese din valoarea raportului $\text{Fe}_2\text{O}_3 : \text{FeO}$ (tab. 3, 5). Ținind cont de valoarea acestui raport, s-au stabilit trei tipuri de bauxite, și anume : ferice, feroferice și feroase, amintind astfel clasificarea generală, întocmită și pentru bauxitele din masivul Pădurea Craiului (Păpușă et al., 1970 a).

În tabelele comparative, ordinea de prezentare a probelor este ordinea descrescăndă a acestui raport, de la probele cele mai oxidate pînă la

TABELUL 1
Tipuri litologice și proveniență

Tip litologic	Nr. probei	Tipul litologic	Proveniență
argilo-detritice detritice	201 c 202 a 201 b 201 d	Greșie conglomeratică cu liant caolino-bauxitic Greșie silicică micacee cu liant caolino-bauxitic Argilit caolino-bauxitic Argilit caolinitic lutu	Dealul Răchiti, " " " put 102 - ISEM put 102 - ISEM
roci argilo-detritice	204 b 205 a 204 c 206	Bauxită roșie masivă Bauxită roșie masivă micacee Bauxită sistosă roșie micacee Bauxită vîsnuie	put 54 - ISEM put 39 - ISEM mină veche - ISEM put 99 - ISEM
roci argilo-detritice (detritizate)	209 a 213 c 214	Bauxită vîsnuie din bază lenticulară Bauxită roșie vîsnuie din partea superioară a lentilei Bauxită roșie vîsnuie cu separații sfărindale și pelicule de oxizi de Mn	put 91 - ISEM put 57 - ISEM Dealul Răchiti, Hoanca Lungă " " "
bauxite teredofitice (detritizate)	204 a 207 a 207 c	Bauxită cenușie masivă (defețizată) Bauxită cenușie (in alternanță cu grosii micacee fini) Bauxită vîsnuie cu zone de impregnare feruginoasă în sectoare defetizate	Dealul Răchiti " " " put 99 - ISEM put 27 - ISEM put 27 - ISEM
bauxite teredofitice (detritizate)	208 a 208 f 209 b	Bauxită compactă micacee sideritică Bauxită compactă sideritică slab pirotoasă Sist bauxitic sideritic slab pirotoasă asociat cu sisturi cărbunăce (la partea superioară a lentilei)	Dealul Răchiti, " " " put 61 - ISEM put 61 - ISEM put 57 - ISEM
teresoase	210 c 211 a 211 c 211 d	Bauxită sistosă cărbunată la partea superioară a lentilei Bauxită cenușie cu pelicule de ochru Bauxită cenușie negricioasă sideritică-pirotoasă Bauxită cenușie-pirotoasă	put 80 - ISEM put 47 - ISEM put 47 - ISEM put 47 - ISEM



TABELUL 2

Alcătuirea chimică a măuritelor și rocelor asociate de la Sofidel

Nr. probă	Roci argilo-detritice				Rocel argiloase				Fericie				Feroferice				Bauxite							
	201c	202a	(m) 201c	(m) 202a	201d	204d	214	209a	213c	205a	206	204 c	207c	203a	207a	210c	211a	211d	208a	211c	208f	209b		
SiO ₂	60,63	55,08	31,80	31,42	36,45	38,27	8,98	2,51	2,43	4,96	9,97	6,24	13,02	18,98	9,87	15,18	11,95	9,09	7,71	6,90	8,16	5,79	3,40	
Al ₂ O ₃	23,16	25,91	38,60	38,50	35,30	37,51	48,83	57,27	55,46	52,92	49,36	52,59	49,28	42,97	56,02	50,78	44,64	53,66	33,46	50,50	35,42	46,31	47,95	
Fe ₂ O ₃	8,21	8,62	16,37	15,10	13,69	7,82	24,88	23,85	24,89	25,25	22,98	23,12	20,98	18,27	11,04	12,70	14,85	8,97	6,27	4,57	3,73	3,28	1,83	
FeO	—	—	urne	urne	urne	urne	urne	urne	urne	urne	urne	urne	urne	urne	urne	urne	urne	urne	urne	urne	urne	urne		
F(S)	—	—	—	—	—	—	—	0,19	0,25	0,29	0,33	0,39	0,54	0,30	0,57	—	0,26	3,89	0,10	5,38	0,55	8,05	1,53	
TiO ₂	0,70	1,39	1,23	1,20	2,01	2,53	2,61	2,80	2,71	2,86	2,66	2,86	2,59	2,45	2,86	2,51	1,95	2,40	1,80	2,15	1,70	2,15	2,66	
CaO	0,50	0,45	1,00	0,80	0,35	0,45	1,51	0,96	1,40	1,35	1,02	1,26	1,72	1,27	1,44	1,61	0,46	1,50	0,99	1,95	0,79	2,25	2,81	
MgO	0,45	0,70	0,90	1,23	0,45	0,40	0,17	0,14	0,27	0,15	0,21	0,31	0,28	0,23	0,25	0,22	0,16	0,71	0,83	0,30	1,41	0,45	1,00	
Na ₂ O	0,31	0,37	0,62	0,65	0,24	0,29	0,22	0,24	0,23	0,13	0,24	0,22	0,24	0,22	0,16	0,16	0,63	0,51	0,27	0,27	0,22	0,24	0,30	
K ₂ O	1,38	1,79	—	—	0,28	0,33	0,55	0,63	0,63	0,36	0,24	0,39	0,55	1,08	0,72	0,63	0,55	0,27	0,58	0,48	0,32	0,58	0,48	
MnO	0,04	0,50	0,08	0,87	0,05	0,05	0,62	0,65	0,95	0,44	0,68	0,58	0,41	0,52	0,18	0,22	0,05	0,52	0,16	2,90	0,25	0,88	0,41	0,74
P ₂ O ₅	—	—	urne	urne	urne	urne	urne	urne	urne	0,35	0,20	0,37	0,08	0,25	0,17	0,13	0,26	0,35	0,15	0,39	0,39	0,84	0,22	0,11
S	—	—	urne	urne	urne	urne	urne	urne	urne	0,22	0,29	0,34	0,38	0,45	0,52	0,34	0,66	0,48	0,30	4,47	0,12	6,19	0,63	2,16
CO ₂	—	—	—	—	—	—	—	—	—	—	—	—	—	—	—	—	urne	urne	0,05	0,87	9,00	6,44	6,25	11,53
C	—	—	—	—	—	—	—	—	—	—	—	—	—	—	—	—	—	—	5,35	2,22	5,85	—	8,62	—
H ₂ O+	4,63	5,81	9,23	10,18	11,16	12,31	11,04	10,59	9,62	10,72	11,23	11,44	10,60	12,54	15,84	13,91	9,75	10,00	6,93	10,25	6,72	8,00	8,88	
Total	100,01	99,61	99,99	99,98	99,52	99,93	100,19	100,12	99,35	99,66	99,78	100,51	100,46	99,60	100,28	99,50	99,54	100,00	100,40	99,54	99,57	100,27	—	
Fe ₂ O ₃ /FeO	—	—	—	—	—	—	—	—	—	—	—	—	—	—	—	—	—	—	—	—	—	—	—	
Al ₂ O ₃ /Fe ₂ O ₃	—	—	3,63	3,99	4,04	7,52	3,04	3,69	3,43	3,22	3,47	3,57	3,52	7,50	5,79	3,72	1,96	3,72	2,34	3,23	3,61	—	—	

(m = in matrice)



TABELUL 3

Alegătură mineralogică a bauxitelor și roctelor carbonatate de la Sohotod

Tip litologic	Nr. probei	Roct argilo-detritice			Fericie						Ceroferică						Bauxite						Percaze			
		201c	202a	201c	Gresu-silitice	201 d	204b	214	209a	213c	205a	206	204c	207c	204a	207a	210c	211a	211d	208a	211c	208i	209b			
Boehmit	5,6	8,2	11,3	14,7	5,2	5,8	48,5	64,9	62,7	19,3	48,1	55,2	45,7	31,5	56,1	49,5	42,6	57,7	32,1	52,2	33,5	50,0	54,0			
Diaspor	—	—	—	—	—	—	—	—	—	—	—	—	—	—	—	—	—	—	—	—	2,2	3,1	—	—		
Calclinit	34,8	38,2	70,6	68,6	45,3	47,1	14,8	5,4	2,9	10,7	17,3	11,2	19,5	37,8	21,1	32,1	17,8	5,3	8,4	2,6	4,5	5,7	5,1			
Dickit	+	+	+	+	~33,0	~32,0	—	—	—	—	—	—	—	—	—	—	—	—	—	—	—	—	—	—		
Septechlorit	—	—	—	—	—	—	—	—	—	—	—	—	—	—	—	—	—	—	—	—	—	—	—	—		
Hematit	8,2	8,6	16,6	16,4	13,7	7,8	20,4	24,2	18,9	25,7	23,5	23,7	20,6	12,6	—	—	—	—	—	—	—	—	—	—		
Goethit	—	—	—	—	—	—	—	—	—	—	—	—	—	—	—	—	—	—	—	—	—	—	—	—		
Siderozită	—	—	—	—	—	—	—	—	—	—	—	—	—	—	—	—	—	—	—	—	—	—	—	—		
Pirită	—	—	—	—	—	—	—	—	—	—	—	—	—	—	—	—	—	—	—	—	—	—	—	—		
Anataz	0,7	0,7	1,4	1,3	1,2	2,0	2,5	2,6	2,8	2,7	2,7	2,9	2,6	2,5	2,9	2,5	1,9	2,4	1,8	2,1	1,7	2,1	2,3	3,3	4,9	
Calcit	—	—	—	—	—	—	—	—	—	—	—	—	—	—	—	—	—	—	—	—	—	—	—	—		
Muscovit	9,9	10,2	—	—	—	2,3	3,5	4,6	5,3	2,6	1,6	3,2	2,5	6,6	3,3	—	—	—	—	—	2,3	4,9	2,7	4,9	4,1	2,4
Quart	40,2	32,6	—	—	—	—	—	—	—	—	—	—	—	—	—	—	—	—	—	—	1,7	3,4	—	1,2	2,8	1,3
Subst. organică	—	—	—	—	—	—	—	—	—	—	—	—	—	—	—	—	—	—	—	—	—	—	—	—	—	
Fe ₂ O ₃ /FeO	∞	∞	∞	∞	∞	∞	46,6	33,5	30,2	27,2	20,7	17,9	16,3	11,3	8,3	5,8	1,1	0,71	0,15	0,14	0,09	0,08	0,05			

(m = m matrice)



TABELUL 4

Limită de variație (componenti chimice, mineralogici, reporturi) bauxite și roci asociate de la Sohodol

Componenta chimică, mineralogică, raporturi	Roci argilo-detritice		Bauxite ferice (7 probe)		Bauxite fero-ferrice (3 probe)		Bauxite feroasce (7 probe)	
	Roci detritice*	Argilită 2 pr.	L. var.	Media	L. var.	Media	L. var.	Media
	2 pr.	Media						Medie
SiO_3	31,6	37,3	2,4–12,0	6,7	9,9–18,9	14,7	3,4–11,9	7,6
Al_2O_3	38,5	36,4	48,8–67,3	52,2	43,0–56,0	49,9	33,5–53,7	44,5
Fe_2O_3 tot.	15,7	10,7	21,0–25,2	23,7	11,0–18,3	15,3	15,2–26,7	21,7
TiO_2	1,3	1,6	2,5–2,9	2,7	2,4–2,9	2,6	1,7–2,7	2,1
Boehmit + diaspor	13,0	5,5	48,1–64,9	54,5	31,5–56,1	45,7	32,1–57,7	46,4
Caohait + dikeit	69,6	78,7	2,9–19,5	11,7	21,1–37,8	30,3	2,6–17,8	7,0
Hematit + goethit	16,0	10,7	18,9–25,7	23,7	12,8–19,7	15,6	1,8–14,7	6,0
Sepiolit	—	—	—	—	0–1,0	0,4	3,3–10,8	4,0
Siderozit	—	—	—	—	—	—	0–25,7	15,5
Pirita	—	—	0,4–1,0	0,6	0,6–1,2	0,9	0,2–17,4	6,6
Anataz	1,3	1,6	2,5–2,9	2,7	2,4–2,9	2,6	1,7–2,7	2,1
$\text{Al}_2\text{O}_3 : \text{Fe}_2\text{O}_3$	3,8	5,8	3,0–3,7	3,4	3,5–7,6	5,6	2–3,7	3,1
$\text{Fe}_2\text{O}_3 : \text{FeO}$	∞	∞	16,3–46,6	—	5,8–11,3	—	0,05–1,1	0,05

* Matrice

** Valori recalcitate excludând S, CO_2 și substanța organică. La SiO_3 s-a dedus și quartul liber.

TABELUL 5

Caracteristicile chimico-minerajice ale bauxitelor și rociilor asociate de la Sonoșat

Roci argito-detritice (4 pr.)	Argilită (2 pr.)	Material detritic peste 78% (dickit sub 30%), Boehmit sub 6%.	Candite peste
Boehmit sub 15%; Al_2O_3 tot. = 35 - 40% Caolinit și dickit peste 68% Fe_2O_3 tot. (- hematit) sub 17% Nu conțin goethit și mincule cu Fe^{3+} , Fe_2O_3 ; $\text{FeO} = \text{co}$. TiO_2 - sau sub 2% Nicl o corelație între TiO_2 și Al_2O_3 sau Fe_2O_3	Roci detritice (2 pr.)	Material detritic peste 40%. Candite în matrice ~70% (dickit în cantități mici). Boehmit în matrice = 11 - 15%	
Bauxite (17 pr.)	Mineralic cu Fe^{3+}	Fericic (caracter pri- mare) (7 pr.)	Caolinit sub 20%. Hematitice (H. peste 12%), goethit absent sau subordonat. Fe_2O_3 ; $\text{FeO} = 16 - 20$. Raport direct Al_2O_3 : Fe_2O_3 tot. Raport direct Fe_2O_3 tot.; TiO_2
Boehnit peste 30%; Al_2O_3 tot. = 40 - 58% Caolinit sub 38% (dickit absent) Fe_2O_3 tot. (diferite minerale) egal sau peste 20% Conțin minerale cu Fe^{3+} și uneori goethit.	Nu conțin cu- art detritic și caclit. Fe_2O_3 ; FeO peste 5%.	Feroferică (caracter se- cundare detri- tizată) (3 pr.)	Caolinit peste 20%. Goethitice (G = 7 - 15%), hematit absent sau subordonat. Fe_2O_3 ; $\text{FeO} = 5 - 12\%$. Raport invers Al_2O_3 : Fe_2O_3 tot. Raport invers Fe_2O_3 tot.; TiO_2
Fe_2O_3 ; $\text{FeO} = 0 - 46$. TiO_2 - sau peste 2% Raport direct = Al_2O_3 tot. sau boehmit : TiO_2	Feroase (caracter pri- mare) (7 pr.)	Caolinit sub 20%. Minerale cu Fe^{3+} peste 15% (pirilă peste 1%), hematit sub 12%, goe- thit absent. Conțin carbonat detritic (0 - 3%) și calcit (2 - 5%). Fe_2O_3 ; FeO sub 1,1 Raport invers boehmit : minerale fe- roase și Al_2O_3 ; Fe_2O_3 tot. Raport invers Fe_2O_3 tot.; TiO_2	

cele mai reduse, în timp ce, în graficele din figurile 2, 3 și 4 bauxitele ferice și feroase au fost puse alături, iar cele feroferice, separat.

În cele ce urmează, pentru rocile detritice se vor face referiri aşadar, comparativ cu celelalte roci, la caracterele chimico-mineralogice [ale matricei].

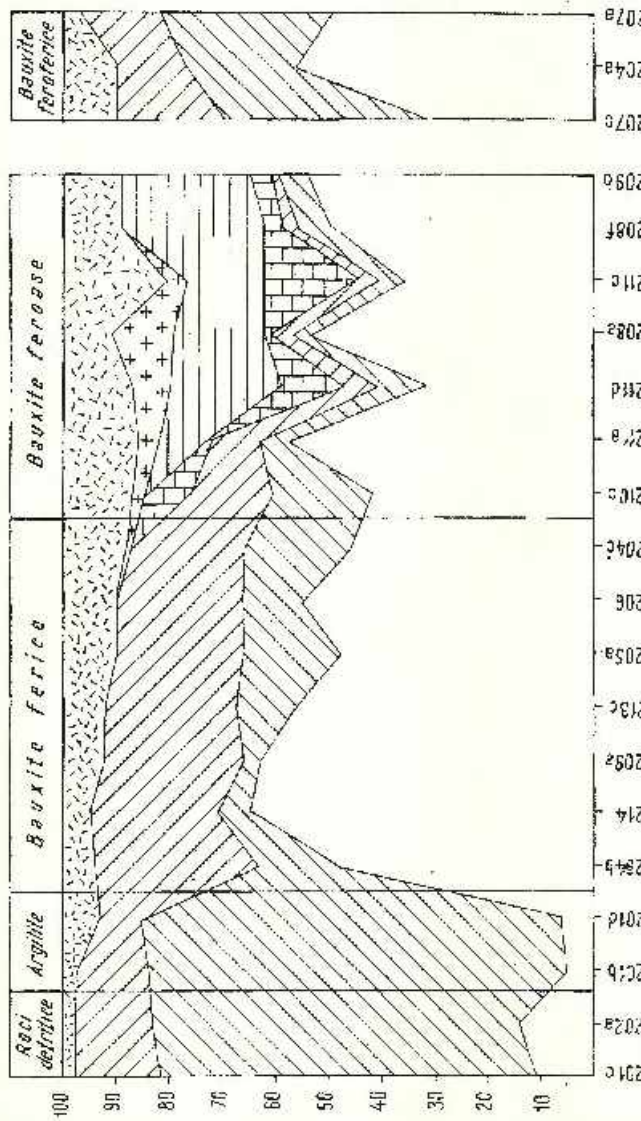
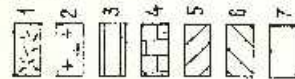


Fig. 2. - Aleatoriile mineralogică a bauxitelor și rocilor asociate de la Sohodol.

1, anatasă + muscovit + pirită (la bauxitele ferice și ferofere) etc.; 2, septecorit; 3, sideroză; 4, plirilă; 5, hematit + goethit; 6, boehmit + dickit; 7, boehmit + diaspor.

La constitution minéralogique des bauxites et des roches associées de Sohodol.

1, anatasé + muscovite + quartz + pyrite (pour les bauxites feriques et ferofériques) etc.; 2, septécōrite; 3, sidérose; 4, pyrite; 5, pyrite + hématite; 6, hématite + goethite; 7, boehmit + diaspore.

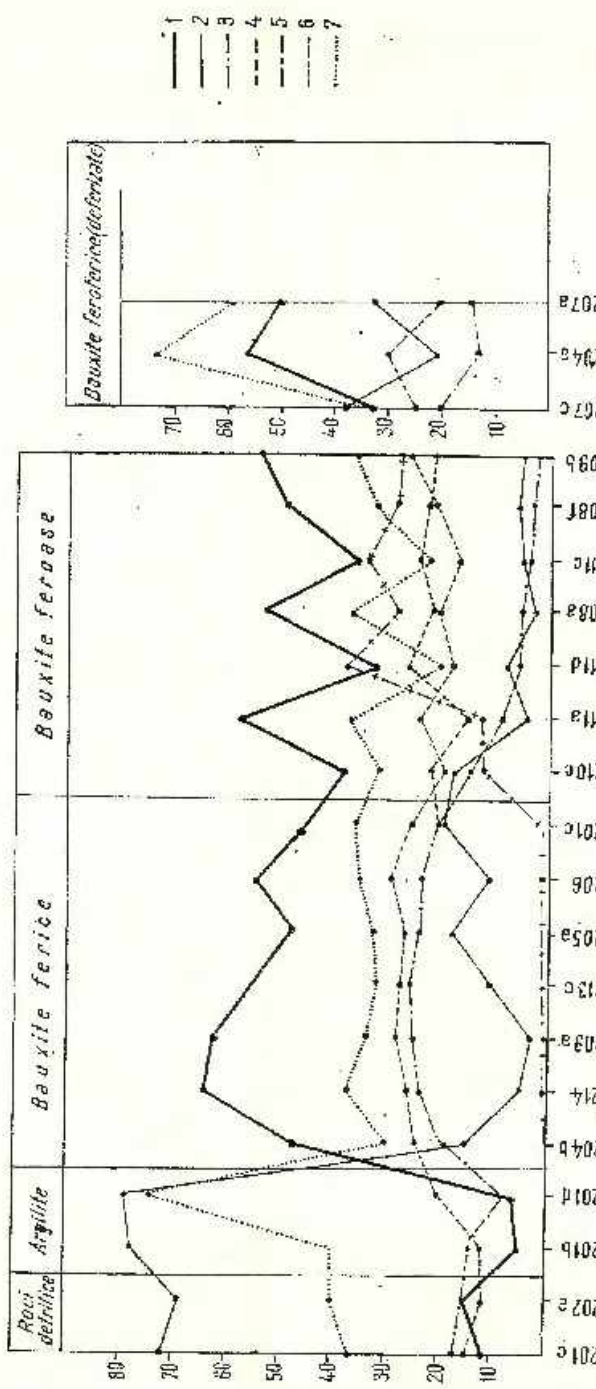


Fig. 3. — Variatia cantitativa a principaliilor componenti din bauxite si rocile asociate de la Sohodol.
 1, boehmit + diaspor ; 2, kaolinil + dickit ; 3, lematit + goethit ; 4, Fe_2O_3 total (la bauxitele ferroase) ; 5, septechiorite + siderozit + siderozit + pyrite ; 6, analaz $\times 10$; 7, $\text{Al}_2\text{O}_3 : \text{Fe}_2\text{O}_3 \times 10$.

Variation quantitative des principaux constituants des bauxites et des roches associées de Sohodol.
 1, boehmit + diaspore ; 2, kaolini + dictite ; 3, lematite + goethite ; 4, Fe_2O_3 total (pour les bauxites ferreuses) ; 5, septechiorite + siderozite + pyrite ; 6, analase $\times 10$; 7, $\text{Al}_2\text{O}_3 : \text{Fe}_2\text{O}_3 \times 10$.

În clasificarea întocmită s-a stabilit, în primul rînd, o deosebire geo-chimică fundamentală între rocile argilo-detritice și bauxite. La primele, totala absentă a fierului bivalent face ca valoarea raportului $\text{Fe}_2\text{O}_3 : \text{FeO}$ să tindă către infinit (∞). La bauxite, permanenta prezență a unui conținut de fier feros, cu cele mai diferite valori, a permis stabilirea tipurilor geo-chimice citate. În tipul feric, $\text{Fe}_2\text{O}_3 : \text{FeO} = 16 - 50$, în cel feroferic, $\text{Fe}_2\text{O}_3 : \text{FeO} = 5 - 12$, în timp ce, în tipul feros, $\text{Fe}_2\text{O}_3 : \text{FeO}$ este sub 1,1.

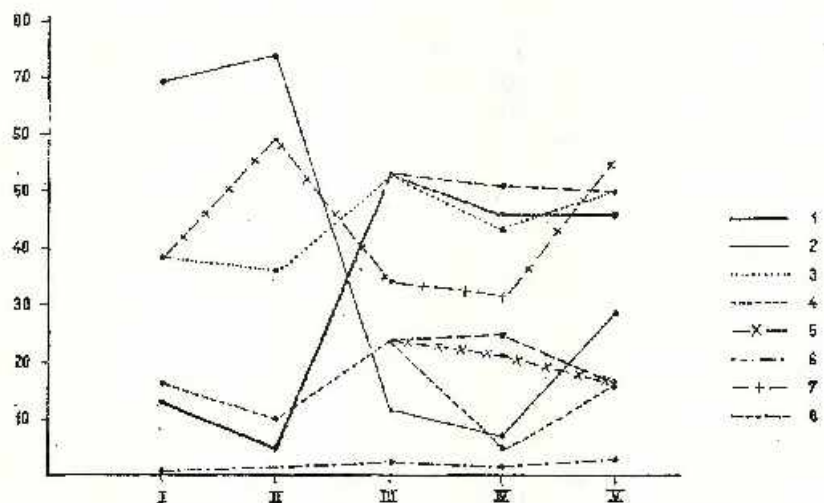


Fig. 4. — Grafic comparativ pentru conținutul mediu al principalelor componente din bauxitele și rocile asociate.

I, rocă detritică (matrice); II, argilite; III, bauxite ferice; IV, bauxite feroase; V, bauxite fero-ferice (deferizate).

1, Boehmit + diaspor; 2, caolinit; 3, Al_2O_3 total; 4, hematit + goethit; 5, Fe_2O_3 total; 6, anataz; 7, $\text{Al}_2\text{O}_3 : \text{Fe}_2\text{O}_3 \times 10$; 8, Al_2O_3 total și Fe_2O_3 total recalculat pentru bauxitele feroase fără: S, CO₂, mat. org.

Graphique comparatif pour la teneur moyenne des principaux constitutants des bauxites et des roches associées.

I, roches détritiques (matrice); II, argilites; III, bauxites ferriques; IV, bauxites ferreuses; V, bauxites ferro-ferriques (déferrifiées).

1, boehmite + diaspore; 2, kaolinite; 3, Al_2O_3 total; 4, hématite + goethite; 5, Fe_2O_3 total; 6, analase; 7, $\text{Al}_2\text{O}_3 : \text{Fe}_2\text{O}_3 \times 10$; 8, Al_2O_3 total et Fe_2O_3 total recalculés pour les bauxites ferreuses sans: S, CO₂, mat. org.

Este notabil însă faptul că, spre deosebire de bauxitele din masivul Pădurea Craiului, la bauxitele din regiunea Sohodol caracterul primar (sedimentar și cel mult de diageneză) nu apare decât la bauxitele ferice și la cele feroase. Cele trei probe de bauxite feroferice analizate sunt roci cu caracter secundar, rezultate din procese de deferizare exogenă (pl. IV

fig. 3), analoage bauxitelor deferizate din masivul Pădurea Craiului (Papu et al., 1970 a). După cum rezultă, atât din observațiile de teren cît și din datele de analiză, la aceste roci deferizarea a fost însoțită poate și de o ușoară reducere a fierului, dar mai ales de apariția unei cantități de caolinit și clorit (silicatare); acest ultim proces a avut loc și în bauxitele din Pădurea Craiului, dar sub influențe hidrotermale.

O situație analoagă se găsește de altfel și în cazul rocilor argiloase din Dealul Răchiții, proba 201 d, provenind probabil din roci de tipul probei 201 b prin deferizare.

După cum rezultă din tabelele 2 și 3, principalii compoziți chimici sunt silicea și oxiziile aluminiului, fierului și titanului (triada Al – Fe – Ti) fixați în următoarele minerale principale: Al = boehmit și caolinit, în cazul rocilor argilo-detritive adăugindu-se și dickitul; subordonat diaspor, sporadic gibbsit; Fe^{3+} = hematit și goethit; Fe^{2+} = septeclorite, sideroză și pirită; Ti = anataz.

În afară de aceste minerale primare, în bauxitele feroase apare calcitul (sub 5%). Mineralele detritice au fost citate în capitolul anterior și sunt reprezentate – după cum s-a spus – în primul rînd prin muscovit în diferite grade de caolinizare, și prin cuart, sub 3,5%, acest din urmă component neapărind deficit în cazul bauxitelor feroase.

Prințul fapt care poate fi scos în evidență sub raportul chimismului proceselor de sedimentare este variația, într-un domeniu limitat, a valorii raportului dintre aluminiu și fierul total. Dacă se face abstracție de argilitul deferizat (proba 201 d) și de două probe de bauxite, de asemenea deferizate (204 a și 207 a) denumite și feroferice, se constată că valoarea raportului $Al_2O_3 : Fe_2O_3$ total se menține între 3 și 4, cu excepția a două probe de bauxite feroase. În cazul celor trei probe de roci argilo-detritive nedeferizate, acastă valoare se situează la partea superioară, aproape de 4, în bauxitele ferice prezintă valori în genere inferioare precedentelor, pentru că să fluctueze, în cadrul acestui interval (3–4), la cele feroase. Valorile minime sub 3 revin probelor de bauxită cu cea mai mare cantitate de pirită și cu multă sideroză, parțial cărbunoase, din Dealul Răchiții (211 c și 211 d). Aceste probe conțin de altfel și cel mai scăzut procent de alumina liberă dintre toate bauxitele. Unele bauxite din domeniul feroferic (proba 207 c) conțin cantități ridicate de fier, datorate acumulării acestuia, deplasat din zonele apropiate, deferizat.

Graficele binare din figurile 5 și 6 arată în cadrul intervalului 3–4 o evidentă corelație inversă între alumina și fierul total, ca de altfel și între boehmit și fierul total, pentru bauxitele feroase și feroferice. În cazul bauxitelor ferice, din figura 5 rezultă că, la o cantitate mai mult sau mai puțin constantă de fier, conținutul de alumina liberă este foarte variat. Dacă însă referim conținutul în fier total la conținutul total de Al_2O_3 (fig. 6), se constată că toate probele se grupează în mod remarcabil, indicând o corelație directă și conținuturi foarte apropiate. De aici se deduce o sursă unică de material primar cu o compozitie initială foarte constantă. La unele bauxite feroferice ca și la argilitul deferizat (proba 201 d) raportul Al_2O_3 :

Fe_2O_3 atinge valorile maxime, pierderea fierului fiind direct proporțională cu îmbogățirea pasivă în aluminiu.

Situația apare deosebit de sugestivă și pentru argilite. Ambelor probe de argilite conțin procente analoage de Al_2O_3 total, diferența în valoarea raportului rezultând doar din variația conținutului în fier.

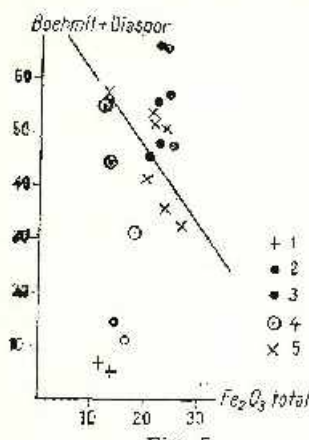


Fig. 5

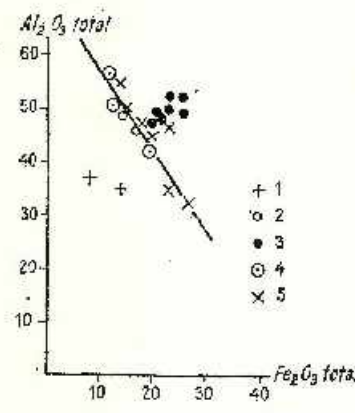


Fig. 6

Fig. 5. — Grafic binar — corelația boehmit + diaspor : Fe_2O_3 total.

1, argilite; 2, roci detritice (matrice); 3, bauxite ferice; 4, bauxite feroferice; 5, bauxite feroase.

Graphique binaire — corrélation boehmite + diaspore : Fe_2O_3 total.

1, argilites ; 2, roches détritiques (matrice) ; 3, bauxites ferriques ; 4, bauxites ferroferriques ; 5, bauxites ferreuses.

Fig. 6. — Grafic binar — corelația Al_2O_3 total : Fe_2O_3 total la bauxitele și rocile asociate de la Sohodol.

1, argilite; 2, roci detritice (matrice); 3, bauxite ferice; 4, bauxite feroferice; 5, bauxite feroase.

Graphique binaire — corrélation Al_2O_3 total : Fe_2O_3 total pour les bauxites et les roches associées de Sohodol.

1, argilites ; 2, roches détritiques (matrice) ; 3, bauxites ferriques ; 4, bauxites ferroferriques ; 5, bauxites ferreuses.

Dacă alumina liberă domină asupra mineralelor argiloase la bauxite, mineralele candidice domină net atât asupra aluminei libere în rocile argiloase cât și în matricea celor detritice, fiind reprezentate prin caolinit și prin dickit. Acesta din urmă lipsește însă din bauxite. Din acest motiv, deși cantitatea de caolinit este ridicată în unele bauxite feroferice (comparabilă cu cea din argilite), în cazul nostru, la proba 207 e dickitul este absent, argument ce pledează pentru a o considera genetic drept o bauxită silico-deferizată și nu ca pe o rocă argilo-bauxitică cu caracter primar. De altfel, aceeași este situația și în cazul formățiunilor bauxitifere din bazinul Hațegului în care am arătat că argilele conțin frecvent cantități de dickit, ajungind pînă la exclusivitate, în timp ce mineralul specific bauxitelor str. și rămîne numai caolinitul (Papu et al., 1971 a).

Bauxitele primare se caracterizează prin cantități de caolinit cu totul analoage, sub 20%, argument în plus pentru admiterea unei surse comune a materialului care a dat naștere întregii serii bauxitice.

Între boehmit și mineralele caolinitice apare un raport invers în întreaga serie de roci studiate (fig. 3, 7).

Mineralele fierului sunt hematitul, în bauxitele ferice, și goethitul, în cele feroferice, uneori alături de hematit; goethitul provine din hematit

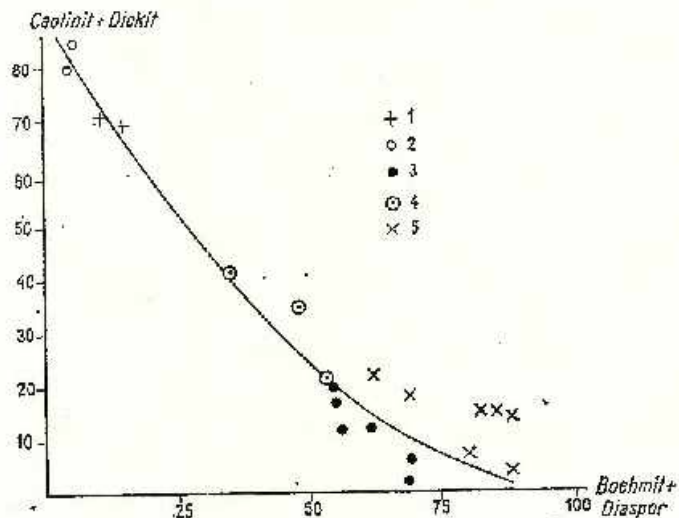


Fig. 7. — Grafic binar — corelația boehmit + diaspore : caolinit + dickite.
1, roci detritice (matrice); 2, argilite; 3, bauxite ferice; 4, bauxite feroferice; 5, bauxite feroase.

Graphique binaire — corrélation boehmite + diaspore : kaolinite + dickite.

1, roches détritiques (matrice); 2, argillites; 3, bauxites ferriques; 4, bauxites ferroferriques; 5, bauxites ferreuses.

prin hidratare în cursul procesului de defezizare. Minusculul procent de pirită prezent în toate bauxitele ferice se consideră că nu poate avea decit o origine epigenetică, legat fiind, după cum se va arăta mai jos, de soluțiile reducătoare descendente create în milurile bauxitifere de origine în care s-au format bauxitele feroase, penecontemporane celor ferice.

Mineralele cu fier feros din bauxitele feroase au de asemenea caracter primar, fiind însoțite uneori de resturi cărbunoase, rezultate din vegetația mediului palustru în care s-au acumulat sedimentele originare. Hematitul care apare în aceste roci are caracter relict, din depozitul de origine lateritic sau bauxitic.

Proiectate într-un grafic ternar (fig. 8), funcție de conținuturile în aluminiu liberă, minerale argiloase și oxizi și hidroxizi ferici, toate bauxitele

ferice se situează în cimpul 2 (bauxite ferifere), în timp ce bauxitele feroase ocupă poziții preponderent în cimpul 1 (bauxite str. s. — 5 probe) cîte o probă găsindu-se în cimpul 5 (bauxite argiloase) și în cimpul 10 (rocă intermedia). Situația aceasta nu reflectă însă aportul inițial de fier, dată fiind cantitatea de fier feros din aceste depozite. Dacă însă, în colțul din dreapta graficului se situează valoarea fierului total (Fe_2O_3 tot.), se constată că, cu desăvîrșire, toate probele de bauxite feroase se proiectează în cimpul 2, suprapunindu-se în mod riguros peste zona de proiecție a bauxitelor ferice. Este, considerăm, un remarcabil argument pentru originea comună a fierului din întreaga aria bauxitică.

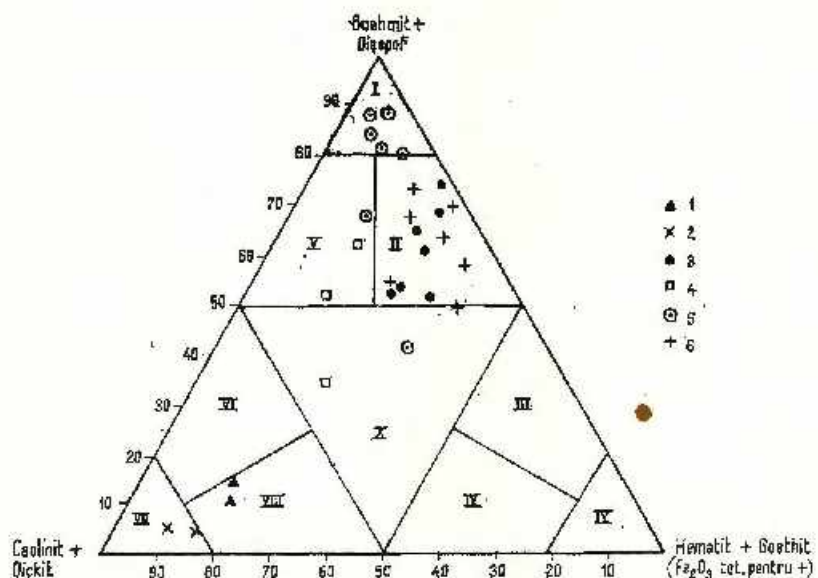


Fig. 8. — Grafic ternar : boehmit + diaspor — caolinit + dickit — hematit + goethit (și Fe_2O_3 total pentru bauxitele feroase).

I, bauxite; II, bauxite ferifere; III, ferrolite bauxitice; IV, ferrolithe; V, bauxite argiloase; VI, argile bauxitice; VII, argile (kaolinuri); VIII, argile ferrolithice; IX, ferrolite argiloase; X, rocă bauxito-argilo-ferrolitică.

1, roci detritice (matrice); 2, argilite; 3, bauxite ferice; 4, bauxite feroferice; 5 — 6, bauxite feroase.

Graphique ternaire : boehmite + diaspore — kaolinite + dickite — hématite + goethite (et Fe_2O_3 total pour les bauxites ferreuses)

I, bauxites; II, bauxites ferrifères; III, ferrolithes bauxitiques; IV, ferrolithes; V, bauxites argilouses; VI, argiles bauxitiques; VII, argiles (kaolines); VIII, argiles ferrolithiques; IX, ferrolithes argileux; X, roches bauxito-argilo-ferrolithiques.

1, roches détritiques (matrice); 2, argilites; 3, bauxites ferriques; 4, bauxites ferroferiques; 5 — 6, bauxites ferreuses.

Proiecțiile bauxitelor feroferice se răspindesc în cimpurile 5 și 10, în timp ce, matricea gresilor se localizează în cimpul 8 (argilite feralitice), iar rocile argiloase, în cimpul 7 (argile caolinoase).

Între conținuturile în aluminiu și titan ($\text{Al}_2\text{O}_3 : \text{TiO}_2$), la nivelul rocilor argilo-detritive nu se constată nici o corelație, în timp ce, la bauxite această corelație este directă, la toate tipurile litologice. Între fierul total (Fe_2O_3 tot.) și TiO_2 situația este însă diferită recunoșteindu-se spre deosebire de cazul precedent, un raport direct la bauxitele ferice și o corelație inversă la bauxitele feroferice și feroase. Tabelul 5 sintetizează toate aceste caractere ale rocilor studiate.

Pentru completarea imaginii geochemice se mai adaugă și observația că procente subunitare de potasiu sănt, practic, în toate cazurile legate de prezența muscovitului, cu excepția rocilor detritice. Celalți oxizi variază în limitele admise pentru bauxite, în genere.

Din tabelul comparativ 4, ca și din figura 4, în care sunt prezentate valorile medii pe formațiuni, se desprind următoarele: conținutul în Al_2O_3 , ca de altfel și cel în bochmit, are valoarea maximă la bauxitele ferice, urmăză cele feroferice și cele feroase (foarte apropiate), pentru ca rocile argilo-detritive să prezinte valori cu mult mai scăzute. În matricea rocilor detritice, conținutul în Al_2O_3 este superior celui din rocile argiloase, care au conținutul minim.

Curba conținutului mediu în silice variază aproximativ invers, rocile argiloase ocupând primul loc înainte de matricea celor detritice, în timp ce, în domeniul bauxitelor, procentul maxim îl dețin bauxitele feroferice (defierizate), urmate de cele feroase și de cele ferice.

Conținutul în fier total care, în afară de bauxitele feroase, se confundă practic cu cel din oxizi și hidroxizi ferici, prezintă cca mai mare medie la bauxitele ferice, urmată, la o mică diferență, de a celor feroase și apoi, după cum este și natural, de a celor defierizate. La rocile detritice (matrice) și mai ales la cele argiloase, valorile mediilor pentru conținutul în fier sunt cu mult mai scăzute (mai ales că una dintre probe este și defierizată). Cu scopul de a aprecia valoarea cantității inițiale de fier pătruns în bazinul de sedimentare și, plecind de la premiza că forma sub care a fost adus acest cation era cea de oxid, s-au calculat conținuturile în fier din bauxitele feroase, scăzindu-se elementele componentelor care s-au considerat ca reprezentând aporturi directe din mediul de acumulare (CO_2 , S, eurit detritic, calcit, cărbune); s-a obținut în acest fel valoarea din ultima coloană a tabelului 4, însemnată cu un asterisc și care se suprapune astfel, în mod cu totul remarcabil, peste valoarea medie prezentată de bauxitele ferice, ceea ce concordă cu datele din graficul din figura 4.

Înțepă cum rezultă așadar atât din tabelul 4 cât și din figura 4, valorile astfel recalculate pentru aluminiu, fier total și titan, ca de altfel și valoarea raportului $\text{Al}_2\text{O}_3 : \text{Fe}_2\text{O}_3$, sunt foarte apropiate la ambele tipuri de bauxite primare (ferice și feroase). Acest fapt ne conduce, în mod indubitabil, la concluzia că, în tot timpul sedimentării bauxitice, materialul de origine a avut absolut aceeași alcătuire chimică și că, doar caracterul geochemical differă al mediului de acumulare a determinat deosebirile chimico-minera-

logice dintre ele. Aserțiunea aceasta este confirmată de altfel, deopotrivă, și de marea deosebire a valorilor raportului $\text{Fe}_2\text{O}_3 : \text{FeO}$. Doar aportul de silice este puțin mai scăzut la bauxitele ferice decât la cele feroase, sedimente care de altfel, după cum s-a arătat, au primit și o mică cantitate de quart detritic, ceea ce nu împieiează însă practic concluziile formulate.

Studiul elementelor minore din bauxitele de la Sohodol (Papiu, Uderescu, 1973) indică, pe de altă parte, o netă deosebire între aceste roci și majoritatea bauxitelor, atât lateritice cât și carstice, situindu-se într-un cimp aparte, în diagrama Cr – Be dată de Schroll, Sauer (1964), datorată în primul rînd conținutului mult mai scăzut de crom, oligoelementul specific domeniului eruptiv bazic.

Intr-o detaliere făcută asupra bauxitelor de pe teritoriul nostru (Papiu et al., 1971 a) probele de la Sohodol par să se grupă în două subcimpuri, cele ferice având mai mult beriliu.

Față de bauxitele din Pădurea Craiului și din bazinul Hațegului, ele prezintă conținuturi inferioare de Cr, V și Zr și procente superioare de Sn, Sr, Li⁸, Be, Ga, Pb, Ba, în majoritate elemente corelabile, după toate probabilitățile, cu aria de origine granitică și pegmatitică a Muntelui Mare, după cum se va arăta în capitolul privind geneza formațiunii.

Este interesant de notat, pe această linie, că în bauxite cu o ocurență foarte asemănătoare cu a bauxitelor de la Sohodol, adică situate la baza formațiunii de Gosau și acoperite cu șisturi cărbunoase de la Unterlaussa (Austria), s-a recunoscut prezența litioforitului. Aceste bauxite sunt însă bogate în substanță organică, au culoare neagră și conțin elemente radioactive (Siegl, 1973).

IV. Considerații genetice

Studiul bauxitelor de pe teritoriul României ne-a condus, în urmă cu cîțiva ani, la concluzia că aceste roci pot fi împărțite în două grupe și anume :

1. *bauxite autohtone sau de precipitare din soluții coloidale sau electrochitice*, având ca principale reprezentante bauxitele din masivul Pădurea Craiului, alături de care s-ar mai situa bauxitele din Bihor (valea Galbina) și probabil cele de curind descoperite din bazinul Someșului Cald (Mantea, comunicare verbală);

2. *bauxite detritochimice sau bauxite mai mult sau mai puțin allochtonice*, rezultate din acumularcea unui mîl de natură bauxitică, provenit fie din depozite bauxitice preexistente, fie din laterite formate pe roci alumosilicata, fenomen însotit de procese concomitente de precipitare din apele în care se găsea — alături de materialul în suspensie — și un material coloidal sau în soluție reală. În această grupă se situează bauxitele din bazinul Hațegului și cele din regiună Sohodol - Cimpeni (Papiu et al., 1970 b). Ambele sunt bauxite carstice (de Weisse, 1964) sau cu „compoziție chimică simplă” (Bardossy, 1970).

⁸ Această element atinge în unele bauxite roșii pînă la 6 600 p.p.m.

Comparind chimismul principalelor bauxite ferice de pe teritoriul României, am avut ocazia să arătăm remarcabilă asemănare dintre bauxitele neocomian-inferioare din masivul Pădurea Craiului și cele gargasian-albiene din bazinul Hațegului, atât în ceea ce privește conținutul în elemente principale cît și în cel al oligoelementelor (Papiu, Urescu, 1973). Bauxitele de la Sohodol apar cu o alcătuire chimică net deosebită,

TABELUL 6

Alcătuirea medie a bauxitelor ferice de pe teritoriul României și a bauxitelor sedimentare de plat-formă și geosinclinal, după Teniakov, 1969.

Element raport	Bauxite de geosinclinal	Bauxite de platformă	Bauxite Pădurea Craiului	Bauxite bazinul Hațeg	Bauxite Sohodol
Al_2O_3	56,0	47,0	50,8	50,3	52,2
SiO_2 *	5,0	11,0	3,8	3,4	6,7
TiO_2	2,8	4,0	2,8	2,5	2,7
Fe_2O_3	18,5	19,0	29,4	29,5	23,7
$\text{Al}_2\text{O}_3 : \text{SiO}_2$	11,2	5,5	13,4	11,4	7,8

apropiindu-se sub raportul componenților principali în cea mai mare măsură de grupa denumită de T en i a k o v (1969) „bauxite de geosinclinal”, raportul $\text{Al}_2\text{O}_3 : \text{SiO}_2$ fiind însă inferior acestuia (tab. 6).

Pe baza datelor de mai sus se poate formula o ipoteză de lucru potrivit căreia, bauxitele allochton din bazinul Hațegului ar deriva din reîmanierea unui material bauxitic sau lateritic cu compoziție asemănătoare bauxitelor din Pădurea Craiului, cele de la Sohodol constituind o categorie geochemicală deosebită. Originea materialului din care s-au format este documentată destul de evident, după opinia noastră, pe de o parte prin minerele detritice recunoscute atât în bauxite cît și în rocile argiloide-detritice sinerone, legate direct de formațiunea cristalofiliană și de granitoidele Gilăului, iar pe de altă parte de conținutul în oligoelemente, așa cum s-a arătat anterior. Este probabil că materialul original a reprezentat un depozit lateritic format pe un atare fundament în răstimpul siderotic din baza Senonianului, material cu o remarcabilă uniformitate în care, prin alterare feralitică, s-a ajuns la oxihidroxizi feroaluminosi și la caolinit. Se remarcă o variație doar în raportul cantitativ dintre componenta argiloasă și cea feralitică.

Putem presupune, după cele cîteva date pe care le deținem pînă în prezent, că zonele puternic argiloase sunt dickitice, spre deosebire de bauxite, în care dickitul nu apare. Ipoteza aceasta poate fi eventual contrazisă de cea a formării dickitului secundar prin procese de diageneză, în absența însă a oricărui indiciu endogen. Bibliografia menționează, din ce în ce mai mult, posibilitatea apariției acestui mineral în medii net exogene, fapt confirmat de altfel, după cum s-a arătat anterior, și de prezența sa în comple-

xele bauxitice din bazinul Hațegului. Astfel formarea dickitului pe seama caolinitului în produsele de diageneză avansată și în mediu acid este citată de Dunnoyer de Segonzac (1969) din o serie de cazuri, printre care și din Triasicul gresos din NE Saharei. Partial acest mineral ar putea proveni și prin oxidarea pîrîtelor, cu formarea de soluții acide, ipoteză ce nu pare însă plauzibilă dat fiind faptul că bauxitele nu conțin niciodată dickit.

În zăcăminte de pe calcarele cristaline ale seriei de Aries, bauxitele, ca și rocile argilo-detritice care le însoțesc, se găsesc și adesea în zăcămînt secundar (alogene). Antrenate în cursuri de apă continentale, mai ales sub formă de curgeri torențiale de nămol lateritic sau bauxitic, în care acest material se găsea atât sub formă de suspensii pelitice cât și sub formă de soluții, probabil coloidale, stabilizate prin coloizi de protecție de natură organică, de compuși organometalici, sau în fine parțial în soluții reale cu pH -uri scăzute, aporturile bauxitice se decantează în depresiunile carstice unde se sedimentează gravitational, iar apele carbonatate determină procese de precipitare din soluțiile menționate. Astfel bauxitele se sedimentează rapid, dind naștere la corpuri masive, nestratificate, ce mulează relieful de fund al capcanelor depresionate, acoperind pină la urmă, sub forma unui strat mai mult sau mai puțin continuu, întreaga întindere a platoului carstic. Spre deosebire de bauxitele de la Hațeg, la care lamele de muscovit apar numai în argile, în masa bauxitelor de la Sohodol acestea se găsesc în diferite grade de caolinizare epitaxică. Se dovedește astfel, și în acest caz, existența unui mediu acid primar de acumulare în care a avut loc caolinizarea, ca și în bauxitele din Hațeg, opinie pe care am formulat-o de altfel și pentru explicarea genezei acestor roci (Papiu et al., 1971 b). Absenta totală a cuarțului detritic am explicat-o, pentru complexele bauxitice din Hațeg, printr-un proces prealabil de decantare, recunoscind prezența acestui mineral în gresiile sincrone de la partea superioară a complexelor, ceea ce ar reflecta în mod remarcabil existența unor profile inverse. În același sens pledează la Hațeg prezența, la partea inferioară și la cea superioară a corpuriilor bauxitice ale unor orizonturi argiloase sau detritice în care se concentrează muscovitul.

În cazul bauxitelor de la Sohol, în grosimea seriei, se remarcă uneori un exces de muscovit la partea inferioară a depozitului, ceea ce se poate eventual explica printr-un prim aport sedimentar mai bogat în lame de mică (separate mai mult sau mai puțin gravitational) la partea superioară a apelor în care s-a produs emulsia inițială, care s-ar fi decantat primele într-o fază de redipunere. Gradele diferite de caolinizare pe care le prezintă aceste minorale indică o degradare inegală în mediu acid, acest fapt fiind un argument în plus pentru a admînte un atare pH , așa cum am arătat și pentru bauxitele din bazinul Hațegului.

Aflat sub formă de oxid sau oxihidroxid, fierul a rămas ca atare în mediul oxidant de acumulare, luînd astfel naștere sedimentele alitohematitice bazale ale primei etape sedimentogene.

Rocile argiloase-bauxitice și cele detritice cu ciment argilo-hemato-bauxitic reprezintă depozite sincrone și heteropice. Variatiile

faciale laterale ale acestora se datorează unor zone mai bogate în detritus anorganic și în argilă, situate poate la periferia bazinelor continentale în care se acumula milul bauxitic. În felul acesta admitem că s-au format, într-o primă fază de sedimentare, depozitele oxizate feralitice ceva mai detritice în partea bazală în care au luat naștere bauxitele oxizate-ferice.

Într-o a doua fază, ca și în cazul unor bauxite din masivul Pădurea Craiului, am admis că condițiile geochemicice se schimbă fundamental, trecându-se la un mediu net reducător datorat unui vast proces de înmlăștinire ce are loc prin invadarea milului feralitic oxidat, format în etapa precedentă, în urma acumulării materialului lateritic primar, de către o amplă vegetație hidrofilă, noul mediu palustru fiind caracterizat prin procese de descompunere bacteriană. Mediul se imbogătește în bioxid de carbon și hidrogen sulfurat, care conduce la reducerea oxizilor ferici cu formarea de sideroză și de sulfuri feroase, cărora li se adaugă substanța organică, ce evoluează către cărbuni, precum și o cantitate de calcit, probabil de natură de ascmenă organică și un minuscul procent de cuarț. Materialul originar, care continuă să se decanteze în mediul palustru, are aceeași alcătuire ca și milul lateritic care a dat naștere și sedimentului bauxitogen din prima etapă. Prezența unui conținut subordonat, dar evident, de hematit în toate bauxitele feroase, considerăm că este un argument în acest sens. Hematitul acesta derivă din oxidul fieric relict, neafectat de procesele de reducere, care nu au fost suficient de intense pentru a transforma integral cantitatea de fier fieric introdusă inițial în bazinul de sedimentare. Și, ca un argument că acest hematit nu este secundar, format pe seama alterării exogene, stă faptul menționat anterior și asupra căruia vom reveni, că procesele de oxihidratare constatăte la rocile deferizate supergen au condus, în cazurile examineate, la goethit și nu la hematit. Infiltărarea descendentală a soluțiilor reducătoare, fie prin difuziune în masa sedimentului, fie pe traseul rădăcinilor de plante hidrofile, au redus o parte din fierul bauxitelor ferice din orizontul inferior, motiv pentru care, după cum s-a arătat, în toate aceste bauxite se găsește un minuscul procent, de obicei subunitar, de pirită.

Unitatea aportului de fier și aluminiu este, aşadar practic identică în tot timpul sedimentării formațiunii bauxitice (cu un neînsemnat aport suplimentar de calcit și de silice detritică la nivelul bauxitelor feroase).

Dar mai este un fapt care deosebește cele două tipuri bauxitice și anume: procentul cu mult mai ridicat de Pb și de Be din bauxitele ferice — circa 202 respectiv 13 p.p.m. — față de cele feroase — cu 127 respectiv 9 p.p.m. — (Papiu et al., 1971 a, 1973). Explicația acestei deosebiri nu poate rezida decât în natura materialului de origine a lateritului care a avut, probabil, o mai mare participație granito-pegmatitică și din formațiuni hidrotermalizate în prima fază (a formării bauxitelor ferice) decât în cea de a doua (a constituirii bauxitelor feroase).

În felul acesta considerăm că se demonstrează în modul cel mai evident pentru explicarea genezei bauxitelor din regiunea Sohodol aplicarea genezei allochtonică, confirmind o seamă de opinii analoage formulate și pentru alte diferite regiuni cum sunt: bauxitele din sudul Franței (Roch,

1961; Nicolas, 1970), din Ungaria (Bardossy, 1970), iar de la noi din țară bauxitele din bazinul Hațegului, la care ne-am referit în repetate rânduri anterior. Spre deosebire de acestea din urmă, care prezintă toată gama litologică bauxită—argilă, raporturile dintre materialul argilos și cel ferilic sunt limitate, aportul de alumina fiind riguros constant, ca și cel de fier de altfel. Datele pe care le definem pînă în prezent sunt insuficiente pentru a stabili relațiile paragenetice dintre bauxite și rocile argilo-detritice în al căror ciment se găsește boehmit. Nu putem răspunde cu certitudine întrebării dacă în serile bauxitice nu apar intercalații argilo-detritice și invers. Datele noastre par a infirma însă această ipoteză, alternanțele de roci detritice și argiloase indicând poate situații mai mult sau mai puțin periferice în lacul gargasian-albian în care a avut loc sedimentarea bauxitelor.

Evoluția mediului geochemical de la oxidant în bază (lacustru), către reducător la partea superioară (palustru), o întîlnim și în cazul bauxitelor autohtone (de precipitare chimică) din munții Pădurea Craiului datorată, deopotrivă, unui proces de înmlăștinire la partea superioară a formațiunii, fapt ce poate fi urmărit într-un singur profil continuu, în lentila de la Schieaua (Papiu et al., 1970 a). Trei elemente le deosebesc însă de cele de la Sohodol și anume :

— în bauxitele de la Sohodol limita dintre bauxitele ferice și cele feroase este netă, fără o fază intermedieră feroferică (caracterul feroferic al bauxitelor din regiunea aceasta avind, după cum s-a arătat, o origine secundară), în timp ce la bauxitele din Pădurea Craiului, tranziția este treptată ;

— în bauxitele de la Sohodol, în condițiile net oxidante ale fazelor inițiale, alumina se separă sub formă de boehmit (ca și la bauxitele din Hațeg), în timp ce în masivul Pădurea Craiului bauxitele ferice sunt exclusiv diasporice, iar cele feroase sunt diasporo-boehmitice sau boehmitice ;

— în bauxitele de la Sohodol, fierul feros este legat sub mai multe forme minerale decit în Pădurea Craiului : septeclorit, pirită și sideroză (asociată cu resturi organice carbonificate), ceea ce în bauxitele din Pădurea Craiului nu se constată. În acestea septecloritele și pira sunt singurele minerale feroase întîlnite.

Asupra mediului de formare a oxihidroxizilor se formulează în bibliografie opinia genezei boehmitului în condiții oxidante, față de diasporul primar care ar lua naștere în condiții reducătoare (Valeton, 1964; Caillère, Pobeguin, 1964; Nia, 1968; Sinčové, 1971). Bauxitele românești confirmă în parte numai această afirmație și anume : integral în cazul bauxitelor din Hațeg (toate ferice și boehmitice) și parțial în cel al bauxitelor de la Sohodol (boehmitice atât bauxitele ferice cât și cele feroase), în timp ce în cazul bauxitelor din masivul Pădurea Craiului, cele diasporice sunt specifice zonei inferioare oxidate, iar boehmitul apare doar în bauxitele feroferice și în cele feroase, contrazicind fundamental această opinie. În bauxitele de la Sohodol diasporul apare cantitatativ subordonat într-o singură probă ferică și în două feroase, astfel că alcătuirea

acestora este comparabilă cu a unor probe din Pădurea Craiului. Geneza acestui mineral, pe seama boehmitului, este legată poate de procese epigenetice și de metamorfism incipient pe care nu le sesizăm, neexistând nici o legătură cu vreo manifestație endogenă.

Succesiunea mineralelor fierului de la partea inferioară către cea superioară a zăcămintelor nu a putut fi stabilită cu exactitate. Am formulat, într-o lucrare anterioară, o supozitie, plecind de la premiza reducerii treptate a valorii redoxpotențialului și considerind evoluția bauxitogenezei conform schemei din figura 1, în care am presupus că procesul sedimentar palustre se încheie cu sisturi cărbunoase suprabauxitice, peste care se situează calcarale cu rudiști ale ingresiunii senoniene.

Dacă vom încerca acum să situăm probele de bauxită în clasificarea geochemicală a domeniilor acvatice întocmită de T e o d o r o v i c i (1946, 1954) și reactualizată de Larsen, Chillingar (1967), funcție de pH și EH , constatăm următoarele: bauxitele ferice ca și argilitele și matricea rocilor detritice se încadrează în „zona oxidantă” (F) și anume în subzonele $F_4 - F_5$, corespunzînd unui pH slab acid pînă la neutru.

Bauxitele feroase prezintă variații în valoarea raportului $Fe_2O_3 : FeO$ cu o corelație mai mult sau mai puțin dependentă de alcătuirea mineralogică. Din 7 probe, patru (ultimele trei din tabelul 3 și proba 211 d) se încadrează în „zona reducătoare” (B) și anume în zona B_4 , „faciesul sulfuro-sideritic” cu pH neutră, conținînd cantități importante de pirita și de sideroză; septecloritul lipsește la cele mai feroase (208 f și 209 b) și este mai scăzut cantitatativ în probele 211c și 211 d, comparativ cu sideroză și pirita. Două probe (211a și 208 a) se încadrează în zona „slab reducătoare” (C) în „faciesul sideritic” (una cu mult septeclorit), zona C_4 cu pH slab alcalin. O probă (210c), deși cu cel mai ridicat raport $(Fe_2O_3 : FeO)$ din sirul probelor feroase, conține multă pirita și puțin septeclorit; ea reprezintă poate „zona puternică reducătoare” (A), eventual A_4 , cu pH ușor acid. La toate bauxitele feroase am făcut abstracție de conținutul în hematit pe care l-am considerat drept relict și a cărui prezență modifică valoarea raportului, motiv pentru care nu există o corelație riguroasă între raportul $Fe_2O_3 : FeO$ și poziția probei în tabelul 3.

Din cele de mai sus apreciem și faptul că, în cadrul mediului reducător creat la finele procesului de bauxitogenă, s-a manifestat în timp o intensificare treptată a condițiilor reducătoare fără însă un caracter unitar pe tot intinsul platoului carstic din regiunea Sohodol-Cimpeni și că trecerea de la mediul oxidant la cel reducător se face bruse, fără fazele slab oxidantă și neutrală.

Bauxitele feroferice din regiunea Sohodol, după cum s-a arătat, sunt de natură secundară, produse ale alterării exogene, comparabile cu bauxitele deferivate din masivul Pădurea Craiului. Concomitent cu pierderea fierului are loc o ușoară silicifiere trădusă prin apariția unor procente superioare de caolinit și a septecloritelor. Micșorarea valorii raportului $Fe_2O_3 : FeO$ nu este consecința unor procese de reducere a fierului sub influențe supergene ci numai a scăderii conținutului originar în oxid feric din bauxitele ferice prin deferizare, în timp ce procentul inițial de Fe^{++} rămîne același, după cum s-a arătat, fixat în pirită. Această situație demonstrează de altfel originea pi-

ritei ca fiind anterioară procesului de deferizare. Procesele de deferizare se produc deopotrivă și în argilite, motiv pentru care valoarea maximă a raportului $\text{Al}_2\text{O}_3 : \text{Fe}_2\text{O}_3$ se găsește la două roci deferizate: o bauxită (proba 204 a) și un argilit (proba 201 d). În cadrul acestor procese hematitul trece în goethit.

În această fază supergenă, prin hidroxidarea piritelor, ia naștere acidul sulfuric și mai departe se formează sulfatii pe care îi întâlnim pe fisuri. Prin silicatare se formază caolinitul secundar, mai mult sau mai puțin sincron proceselor de deferizare atât în masa cît și pe fisurile bauxitelor. Gibbsitul, recunoscut doar sporadic, este de asemenea un mineral format sub acțiunea alterării exogene, legat poate de hidroxidarea piritiei.

Prezența micilor fragmente de bauxite din rocile detritice și din unele bauxite indică remanieri intraformaționale sau momente diferite, dar foarte apropiate în timp, de bauxitogeneză, urmate de schimbări în echilibru rețelei hidrografice locale care aducea în bazinul de sedimentare fragmente de bauxite depuse cu puțin timp înainte.

V. Concluzii

În cursul perioadei cretacice, în sectorul vestic al orogenului carpatic s-au manifestat trei etape siderolitice caracterizate prin acumulări de bauxită:

— prima la partea sa bazală (facies wealdian), în cursul exondării, determinată de ultimele mișcări chimerice, cînd se depun bauxitele primare din Pădurea Craiului, Bihor și poate cele de la izvoarele Someșului Cald⁹;

— a doua la nivelul Aptianului superior (Gargasianului) și poate Albianului în cursul exondării determinate de mișcările austrice, în care se acumulează complexe bauxitice (bauxite secundare însoțite de roci argiloase, cu treceri gradate între cele două tipuri litologice) din bazinul Hațegului;

— a treia fază în Santonian, înainte de ingressiunea cretacică superioară ce a dat naștere formațiunii de Gosau, legată de mișcările laramice, în care se depun bauxitele și rocile argilo-detritice însoțitoare de la Sohodol-Cimpeni. Materialul lor de origine este probabil un laterit format pe șisturi cristaline și roci granitice. El se acumulează la suprafața carstului calcarelor cristaline, mulind un paleorelief, ceea ce determină variația de grosime a actualelor corperi rezultate în urma proceselor de eroziune ulterioară. Materialul este adus atât sub formă de suspensii pelitice și granular eî și sub cca de soluții (reale și coloidale). precipitarea producindu-se mai mult sau mai puțin concomitent cu depunerea gravitațională. Într-o primă fază, medial geochemical de acumulare este oxidat, iar în cea de a doua net redicator, cantitatea materialului sedimentar fiind însă sensibil aceeași. Dintre mineralele triadei Al — Fe — Ti, este constantă prezența boehmitului, caolinitului și anatasului atât în primul cît și în al doilea tip petrografic, mineralele fierului variind pe o scară foarte intinsă: hematit, septeclorite, sideroză, pirită.

⁹ Gh. Mantea, comunicare verbală.

Raportul dintre conținutul în fier feric și fier feros permite deosebirea unor bauxite feric și a unor bauxite feroase, bauxitele cu caracter intermediar (feroferice) rezultând în urma proceselor supergene de defețizare (în care are loc și o caolinizare secundară).

În felul acesta, bauxitele din regiunea Cimpeni-Sohodol ne apar ca roci detrito-chimice, în mare măsură allochton, specifice sideroliticului ultimei faze cretacice de exondare, de la baza Senonianului și încheie seria proceselor bauxitogene din orogenul munților Carpați.

BIBLIOGRAFIE

- Abdulaev I. (1969) Karstovie bocșii paleozola Sovetscii sredinei Azii. *Ann. Inst. Geol. Publ. Hung.*, LIV, 3, p. 289–297.
- Bar dossy G. (1970) Comparaison des bauxites de karst. *Ann. Inst. Geol. Publ. Hung.*, LIV, 3, p. 51–67.
- (1971) Bauxite deposits of Hungary. *Prec. Soc. Internat. Symp. ICSORA*, 2, p. 9–20, Budapest.
- Gaillère Simonne, Pobeguin Thérèse (1964) Considerations sur la gèneșe des bauxites de la France méridionale. *C. R. Acad. Sc.*, 249, 3033–3035, Paris.
- Cochet Y. (1973) Observations sur les gisements de bauxite de Roumanie. *Trav. Com. Internat. Et. baux. des ox. des hydrox. d'alum.* 9, p. 41–47, Zagreb.
- Dimitrescu R. (1958) Studiul geologic și petrochimic al regiunii dintre Garda și Lupșa (Bazinul superior al Arieșului). *An. Com. Geol.* XXXI, p. 51–151, București.
- Dunooyer de Segonzac G. (1969) Les minéraux argileux dans la diagenèse. Passage au métamorphisme. *Mem. Serv. Carte Géol. Als. Lorr.* 29, Strasbourg.
- Larsen G., Chillingar G. (1967) Diagenesis in sediments. Developments in Sedimentology. Elsevier Publ. Comp. Amsterdam – London – New York.
- Luciu V. (1963) Nouvelles données sur l'origine des certaines bauxites de la R.P. Roumanie. *Ass. Géol. Karp. Balc.* VI-ème Congr. Varsovie-Cracovie (Résumes des communications).
- (1966) Contribution à la connaissance de la gèneșe de certaines bauxites de la R. S. de Roumanie. *Bull. Serv. Carte Géol. Als. Lorr.* 19, 3–4, p. 287–295, Strasbourg.
- Millet G. (1964) Géologie des argiles. Masson Edit. et Cie Paris.
- Nia Rahim (1968) Geologische, petrographische, geochemische Untersuchungen zum Problem der Boehmit-Diaspor-Genese in griechischen Oberkreidebauxiten der Parnass-Kiona-Zone. Dissertationsdruck Univ. Hamburg.
- Nicolas J. (1970) Problème de la gèneșe des bauxites à mur karstiques, de France. Preuves petrographiques, paleontologiques et géochimie de la nature sédimentaire des formations bauxitiques de Provence. *Ann. Inst. Geol. Publ. Hung.*, LIV, 3, p. 135–165, Budapest.
- Papiu V. Corvin, Minzatu Silvia, Iosof V., Udrescu Constanța, Giușcă R. (1970 a) Caracterele chimico-mineralogice ale bauxitelor din Masivul Pădurea Craiului. *An. Inst. Geol.* XXXVIII, p. 111–180, București.
- Papiu V. Corvin, Minzatu Silvia, Iosof V. (1970 b) Genetische Typen der Karst-bauxiten in den rumänischen Kreideformationen. *Ann. Inst. Geol. Publ. Hung.*, LIV, 3, p. 241–264, Budapest.

- Minzatu Silvia, Iosof V., Udrescu Constanța, Giușcă R. (1971a) Alcătuirea chimico-mineralogică a formațiunii bauxitifere din Bazinul Hațegului. *D. S. Inst. Geol.* LVII/2, p. 77–123, București.
 - Minzatu Silvia, Iosof V. (1971b) Geneza formațiunii bauxitifere din Bazinul Hațegului. *D. S. Inst. Geol.* LVII/2, p. 53–76, București.
 - Udrescu Constanța (1973) Elements minciuri des bauxites de Roumanie. *Trav. Com. Internat. Et. baux., des ox. des hydrox. d'alum.* 9, p. 127–142, Zagreb.
- Protescu O. (1938) Zăcăminte de bauxit din regiunea Sohodol (Jud. Alba) și Vidra (Jud. Turda). *Stud. tehn. econ. Seria A*, 1, p. 1–23, București.
- Roch E.d. (1961) La génèse des bauxites de Provence et du Bas-Languedoc. *Trav. Lab. Géol. Fac. Sc. Univ. Paris.*, Ann. Hébert-Haug. IX, 43, p. 11–68, Paris.
- Rozlozník P. (1934) Notizen über das Vorkommen von Bauxit im Pojana Ruska und im südlichen Bihar-Gebirge. *Jahrb. d. k. geol. Anst.* für 1917, 1924, p. 261.
- Schroll E., Sauer D. (1964) Ein Beitrag zur Geochemie der seltenen Elemente in Bauxiten. *Symp. Baux. Ox. Hydrox. d'Alum.* 1, 1963, Zagreb.
- Siegl W. (1973) Ergebnisse neuer Untersuchungen im Bauxit von Unterlaussa. *Trav. Com. Internat. Et. baux., ox. hydrox. d'alum.* 9, p. 113–119, Zagreb.
- Sinčović B. (1971) Geological feature and origin of the Vraca bauxite deposits, Croatia. *Prec. Sec. Internat. Symp. ICSOBA* 2, Budapest.
- Tenákov V. A. (1969) O nekоторых геохимических особенностях платформенных и геосинклинальных областей. *Ann. Inst. Geol. Publ. Hung.* LIV, 3, p. 439–447, Budapest.
- Valleton Ida (1964) Facies problems of boehmitic and diasporic bauxites. In : G. C. Amstutz (Editor), *Sedimentology and Ore Genesis*, 2. Elsevier, p. 123–129, Amsterdam.
- Weissc G. de (1964) Bauxite latéritique et bauxite karstique, *Symp. ICSOBA*, 1, 7 – 29, Zagreb.

LA CONSTITUTION CHIMIQUE-MINÉRALOGIQUE DES BAUXITES DE LA RÉGION DE SOHODOL-CÎMPENI (DISTRICT BIHOR)

(Résumé)

Les bauxites de la région de Sohodol-Cîmpeni (Monts Apuseni-Roumanie) sont d'âge santonien et sont situées à la base de la formation de Gosau, s'étant accumulées pendant la troisième phase sidérolitique-bauxitogène de la formation crétacée de l'orogène carpathique (la première est placée à la base du Néocomien et la deuxième -- au niveau du Gargasien ou de l'Albien). Les bauxites de Sohodol sont plaquées sur les calcaires cristallophyllens et très rarement sur les schistes mésométamorphiques (Série d'Ariezeni) et sont recouvertes par des schistes argileux associés aux grès gris à charbons, au-dessus desquels sont développés les calcaires à Hippurites qui marquent le début de l'ingression sénonienne. Parfois, ces derniers se placent directement sur les bauxites. On remarque un passage latéral aux argillites bauxitiques et aux grès, quelquefois conglomératiques à matrice argilo-bauxitique.

L'occurrence des bauxites de Sohodol nous a conduit à la conclusion qu'il est probable que, pendant le Sénonien, l'entier plateau paléokarstique ait été couvert d'une plaque de bauxite plus ou moins continue qui a été ensuite fragmentée par suite des processus d'érosion, de sorte

qu'à présent on y trouve des corps lenticulaires, à épaisseurs ne dépassant pas 5 m ; les épaisseurs maxima correspondent aux anciennes dépressions karstiques remplies à matériel bauxitique. Ces corps présentent, généralement, à leur partie inférieure, un horizon principal de bauxite rouge massive, parfois à du matériel détritique (muscovitique) en base. Ils sont surmontés par des bauxites brunes et grises, quelquefois schisteuses et charbonneuses, semblables, au premier abord, à des schistes argileux, suivies par les dépôts continentaux et marins de la formation de Gosau. L'étude a été exécutée sur 17 échantillons de bauxite et 4 de roches argilo-détritiques, dont un grésoconglomérat, un grésosilite et deux argillites. Quant aux roches détritiques, on peut voir dans les tableaux et dans les graphiques les caractères de leur matrice, comparés à ceux des argiles et des bauxites.

A partir du rapport $\text{Fe}_2\text{O}_3 : \text{FeO}$, les bauxites rouges ont été dénommées des bauxites ferriques ($\text{Fe}_2\text{O}_3 : \text{FeO} = 16 - 50$) et les dépôts affiliés supérieurs — bauxites ferreuses ($\text{Fe}_2\text{O}_3 : \text{FeO} < 1,1$). Un troisième groupe — les bauxites ferroferriques — avec des valeurs intermédiaires ($\text{Fe}_2\text{O}_3 : \text{FeO} = 5 - 12$) comporte des bauxites à caractères secondaires, déferriées et faiblement kaolinisées par suite de l'action des agents exogènes. Au cas des roches argilo-détritiques, ce rapport est infini (∞).

L'étude chimico-minéralogique a mis en évidence tout d'abord la présence des minéraux de la triade Al — Fe — Ti, qui — à côté de la silice — constituent pratiquement l'entièvre masse bauxitique. Al = boehmite, kaolinite (dans les bauxites apparaissent d'une manière subordonnée le diaspor et sporadiquement la gibbsite) et dans les roches argilo-détritiques — la dickite, en grande quantité dans les argillites; Fe = hématite, goéthite, sidérose, pyrite et septéchlorites; Ti = anatase. On observe encore une série de minéraux accessoires, à caractère détritique, surtout la muscovite, souvent à différents stades de kaolinisation, des grains de calcaires sous-jacents et, tout à fait sporadiquement, des minéraux détritiques lourds : rutile, staurolite, tourmaline, et du quartz (le dernier seulement dans les bauxites ferreuses). Parmi les minéraux de précipitation subordonnées se placent aussi la calcite, des bauxites ferreuses, et parfois des sulfates sur les fissures. La répartition des minéraux aux différents types de bauxites est présentée dans le tableau no. 3, qui laisse voir que les minéraux à fer ferreux sont spécifiques exclusivement aux bauxites ferreuses, à l'exception de la pyrite, qui apparaît aussi, mais en pourcentages réduits, dans les bauxites ferriques, de même que la calcite et le quartz détritique. Dans les argillites, on trouve, outre la kaolinite, de grandes quantités de dickite, minéral présent aussi dans la matrice des roches détritiques et absent des bauxites, observation faite d'ailleurs aussi pour les roches du même type du bassin du Hațeg. Dans les roches détritiques on trouve également des grains minéraux et des fragments de schistes cristallins et dans la masse bauxitique apparaissent parfois des blocs de calcaires cristallins sous-jacents.

L'étude chimico-minéralogique a permis en même temps une rigoureuse caractérisation des bauxites, des roches argileuses et de la matrice des roches détritiques incluses dans le tableau no. 4. Il résulte qu'entre la matrice des roches argilo-détritiques, d'une part, et les bauxites primaires, de l'autre part, il y a des différences fondamentales : ainsi, les pourcentages d'alumine libre, de fer et de titane sont plus élevés dans ces dernières, tandis que la teneur en minéraux kanditiques — minéraux qui caractérisent premièrement les argillites et ensuite la matrice des roches détritiques et les bauxites ferroferriques (déferriées) — est moindre.

Dans le cadre des roches à caractères primaires, autant bauxitiques que argilo-détritiques aussi, le rapport $\text{Al}_2\text{O}_3 : \text{FeO}$ total présente des valeurs oscillant entre 3 et 4 (à deux exceptions — des bauxites ferreuses), tandis que, dans celles à caractères secondaires (déferriées), la valeur de ce rapport augmente de beaucoup, par suite de la perte en fer, à l'exception d'un échantillon dans lequel s'est concentrée une partie du fer résulté de la déferrifaction des zones

voisines. Dans l'intervalle mentionné, on constate une corrélation positive avec l'aluminium au niveau des bauxites ferriques (fig. 3) et négative au cas de celles ferreuses (fig. 3, 8, 7). L'examen de la fig. 4 montre que les bauxites ferriques se rangent toutes dans le champ des „bauxites ferrifères”, tandis que les formes ferreuses sortent de ce domaine. Mais, si l'on fait référence à la quantité de fer total de la roche (synonyme, seulement dans le cas des bauxites ferriques et ferroferriques, avec la teneur en hématite – goethite), on constate une remarquable superposition des bauxites ferreuses sur le champ de projection de celles ferriques, ce qui indique donc un apport alumino-ferrifère constant dans le milieu de sédimentation, pendant toute la période bauxitogène. Il résulte la même chose, d'ailleurs, d'une manière évidente, de la fig. 5, quant aux valeurs moyennes des composants de la série. Autant la teneur en fer total qu'au silicium celle en alumine sont presque identiques chez les bauxites ferriques et ferreuses, si l'on en fait le calcul – chez ces dernières (sauf les constituants fixés dans le milieu de formation – soufre, CO_2 , la substance organique et le faible pourcentage de quartz détritique). Ce fait vient confirmer le caractère unitaire du matériel apporté dans le milieu de sédimentation (éventuellement latéritique), pendant l'entièbre période de l'accumulation de la formation bauxitique. Entre la teneur en aluminium et celle en titane on remarque une corrélation directe, chez tous les trois types de bauxites, tandis que – entre le titane et le fer – la corrélation est directe chez celles ferriques et inverse chez celles déferrifiées et ferreuses. Au point de vue minéralogie, comme il est logique d'ailleurs, la quantité de boehmite est inversement proportionnelle avec celle de kaolinite (fig. 8), ce qui est plus évident pour les roches déferrifiées, dont la déferrification est accompagnée, plus ou moins, par la kaolinisation. Entre la teneur en fer et celle en alumine libre ou particulièrement en alumine totale, il est à remarquer une corrélation inverse, chez les bauxites ferreuses et ferroferriques (peut-être bien chez celles argilo-détritiques, mais le nombre réduit d'analyses n'en permet pas une conclusion certaine) (fig. 6 et 7). Pour les bauxites ferriques, il semble qu'il n'existe pas une corrélation entre le Fe_2O_3 et l'alumine libre (fig. 7); le pourcentage en fer est plus ou moins constant. Mais, si l'on compare cette dernière teneur avec l' Al_2O_3 total, on en reconnaît une corrélation directe (fig. 6).

L'étude des éléments mineurs offre beaucoup plus d'indices spécifiques aux roches magmatiques acides que pour les autres bauxites roumaines, indiquant des apports du massif granitique de Muntele Mare et des pegmatites connexes, sujets à la latérisation. Mais, la quantité de Be autorise une différenciation entre les bauxites ferriques et celles ferreuses, probablement par suite d'un apport plus grand de latérite formée sur des roches granito-pegmatitiques, plutôt au cours de la première phase de sédimentation que pendant la deuxième, avec des influences à dominance cristallophyllienne.

Dans les ouvrages antérieurs, nous avons classifié les bauxites de l'Orogène carpathique dans deux groupes : un premier, des „bauxites autochtones”, issues de la précipitation des solutions colloïdales ou électrolithes à la surface du relief karstique, parmi lesquelles nous avons placé les bauxites néocomiennes inférieures du massif de Pădurea Craiului et du massif de Bihor, et un deuxième, des „bauxites allochtones”, résultées du remaniement d'un matériel latéritique ou bauxitique préexistant, accompagné de la précipitation – bauxites détrito-chimiques. Telles sont les bauxites gargasien-albiennes du bassin du Hațeg et celles d'âge santonien de Sohodol-Cimpeni (présentées dans cet ouvrage).

La grande ressemblance chimique entre les bauxites autochtones de Pădurea Craiului et de celles allochtones du bassin du Hațeg, autant par rapport aux éléments majeurs (tab. 6) qu'aussi bien à raison de ceux mineurs (Pătriu et Uderșanu, 1973) nous a mené à formuler l'hypothèse d'une liaison génétique entre les deux types de bauxites. Quant aux bauxites de Sohodol, il faut cependant admettre que le matériel parental a été une latérite ou même un sé-

diment bauxitique préexistant, formé aux dépens des schistes cristallins, des granites et des pegmatites de Muntele Mare. Ce matériel a été ensuite transporté en suspensions, pour la plupart pélitiques (probablement des vases) et sporadiquement sous forme de menus fragments incomplètement consolidés, associés à un matériel colloidal ou en solutions réelles, et déposé sur la surface du karst des calcaires cristallins, dans les petits lacs formés dans les dolines karstiques. Mélangés à de l'eau bicarbonatée, les oxydes de la triade Al - Fe - Ti ou les sols colloïdaux ont précipité, de sorte que le sédiment résulté ait gagné un caractère détrito-chimique et qu'on ait affaire — dans la constitution des actuelles bauxites — à deux composants génétiques.

Le matériel détritique, et surtout le quartz, a été vraisemblablement éliminé en majeure partie par la sélection préalable, la muscovite étant la seule qui soit restée, en se kaolinisant, dans une grande mesure par voie diagénétique. Les importantes quantités de lithium, reconnues dans les bauxites de Sohodol, jusqu'à 6200 ppm, proviennent à coup sûr des micas lithifiés remaniés des pegmatites. Au cours de la première phase de sédimentation, le milieu a été nettement oxydant et ont pris naissance les bauxites ferriques. Pendant la deuxième phase, finale, une riche flore hydrophile et une intense activité bactérienne se sont installées dans la vase bauxitique, réalisant un milieu palustre typique. L'EII des eaux d'imbibition diminuait et, dans les milieux réducteurs engendrés se sédimentaient des bauxites ferreuses. Étant donné la teneur en CO_2 et H_2S , la sidérose et respectivement la pyrite se formaient, à côté des fragments charbonneux résultés du matériel végétal. Le matériel latéritique qui s'y accumulait avait le même caractère que pendant la phase initiale ; il renfermait des oxydes ferriques outre un minuscule pourcentage de quartz, la présence de ce dernier constituant l'un des caractères qui marquent la différence entre les bauxites ferriques et celles terreuses. Dans ces dernières, la réduction du fer n'était pas complète, de sorte que — dans les bauxites ferreuses — il reste encore une teneur subordonnée en hématite. Le petit pourcentage de calcium des bauxites ferreuses est d'origine organique ; il constitue également un caractère distinctif par rapport à celles ferriques.

Si l'on tente maintenant une classification des échantillons de bauxite selon la classification géochimique des domaines aquatiques rédigée par T e o d o r o v i c i (1948 - 1954) et réactualisée par L a r s o n et (1967) en fonction du pH et de l'Eh, on constate que : les bauxites ferriques, de même que les argilites et la matrice des roches détritiques reviennent à „la zone oxydante” (F), à savoir aux sous-zones F_4 - F_5 — correspondant à un pH faiblement acide jusqu'à neutre.

Les bauxites ferreuses présentent des variations de la valeur du rapport $\text{Fe}_2\text{O}_3 : \text{FeO}$ avec une corrélation plus ou moins dépendante de leur constitution minéralogique. Des sept échantillons, quatre (les derniers trois du tableau no. 3 et l'échantillon 211 d) se rattachent à „la zone réductrice” (B), à savoir, dans la zone B_1 (le faciès sulfurex-sidéritique), à pH neutre, ayant d'importantes quantités de pyrite et de sidérose ; la septéchlorite manque chez celles plus ferreuses (208 et 209) et diminue quantitativement dans les échantillons 211 c et 211 d — en comparaison avec la sidérose et la pyrite. Deux échantillons (211 a et 208 a) se rangent dans la zone „faiblement réductrice” (C) dans „le faciès sidéritique” (l'un avec beaucoup de septéchlorite), la zone C_4 à pH faiblement alcalin. Un échantillon (210 c), bien qu'ayant le rapport le plus élevé ($\text{Fe}_2\text{O}_3 : \text{FeO}$) de la série des échantillons ferreux, contient beaucoup de pyrite et peu de septéchlorite ; il représente peut-être „la zone fortement réductrice” (A), éventuellement A_5 , à pH faiblement acide. Pour toutes les bauxites ferreuses nous avons fait abstraction de la teneur en hématite, qu'on a considérée en tant que reliquat dont la présence modifie la valeur du rapport, ce qui entrave une corrélation rigoureuse entre le rapport $\text{Fe}_2\text{O}_3 : \text{FeO}$ et la position de l'échantillon sur le tableau no. 3.

Ce que nous venons d'exposer nous porte à estimer que, dans le cadre du milieu réducteur créé à la fin du processus de bauxitogénèse, une intensification graduelle des conditions réductrices manifestée en temps, mais sans avoir un caractère unitaire, sur l'entier plateau karstique de la région de Sohodol-Cimpeni et que le passage du milieu oxydant à celui réducteur s'est fait brusquement, sans parcourir les phases faiblement oxydante et neutrale.

Pendant cette phase-là, du milieu réducteur des vascs bauxitiques supérieures, dans les vascs bauxitiques ferriques incomplètement litifiées se sont infiltrées des solutions riches en H_2S , qui réduisaient une petite quantité de fer, ce qui menait à la formation des pyrites, présentes dans les bauxites ferriques.

En même temps que les roches bauxitiques et probablement vers la périphérie du bassin de sédimentation, les sédiments argilo-détritiques s'accumulaient, dans des conditions nettement oxydantes, qui ont engendré de siltithes, de grès et de conglomérats à liant hématito-bauxitique, de même que des argilites à boehmite où, à côté de la kaolinite, apparaît la dickite.

Lors d'une phase récente supergène, à la suite de l'hydroxydation des pyrites, se sont déposés sur des fissures des sulfates et peut-être aussi un très petit supplément de gibbsite.

Après l'accumulation des sédiments bauxitiques, le processus a continué avec la formation des dépôts argilo-gréseux à charbons qui précèdent la sédimentation des dépôts marins calcaires à Hippurites par lesquels débute l'ingression sénonienne.



PLANŞA I

Fig. 1. — Sist cristalofilian cuarțo-muscovitic din patul bauxitelor. Sohodol, dealul Răchiții, puit 102. N +, 25 x.

Schiste cristalophyllien quartzo-muscovitique du mur des bauxites. Sohodol, Dealu Răchiții, puits 102. N +, 25 x.

Fig. 2. — Calcar grezios fosilifer cu fragmente de bauxită remaniată. Sohodol, dealul Răchiții, N +, 30 x.

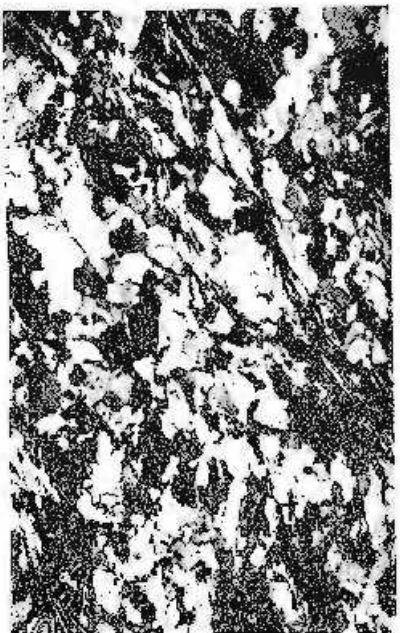
Calcaire gréseux fossilifère à fragments de bauxite remaniée. Sohodol, Dealu Răchiții, N +, 30 x.

Fig. 3. — Calcar grezios fosilifer din acoperișul bauxitelor. Sohodol, dealul Răchiții, puit 23. N //, 50 x.

Calcaire gréseux fossilifère du toit des bauxites. Sohodol, Dealul Răchiții, puits 23. N //, 50 x.

Fig. 4. — Gresie bauxito-hematitică (cuarț, turmalină, muscovit, staurolit, matrice opacă). Sohodol, dealul Răchiții, puit 102. N //, 30 x.

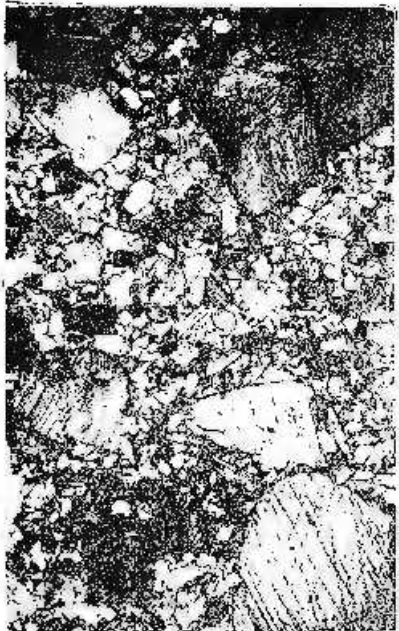
Grès bauxito-hématitique (quartz, tourmaline, muscovite, staurolite, matrice opaque). Sohodol, Dealul Răchiții, puits 102. N //, 30 x.



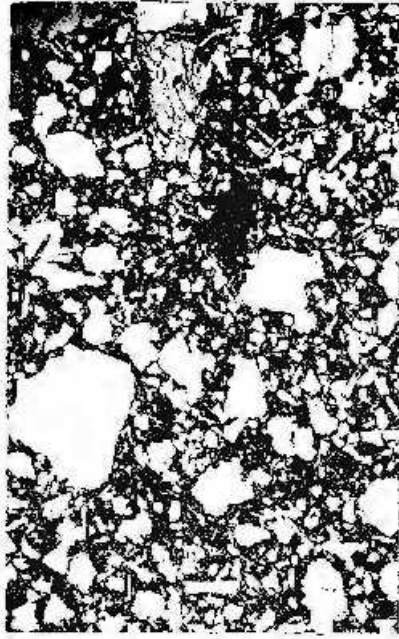
1



2



3



4

Institutul de Geologie și Geofizică. Dări de seismă ale sedimentelor, vol. LXI/2.



Institutul Geologic al României

PLANŞA II

- Fig. 1. — Siltourenit cu quarz, muscovit și ciment bauxitic caolinic. Sohodol, dealul Răchiții, puit 34 E, N 45° , 30 x.
Siltourenite à quartz, muscovite et ciment bauxitique kaolinique. Sohodol, Dealu Răchiții, puits 34 E, N 45° , 30 x.
- Fig. 2. — Bauxită ferată cu textură paralelă cu muscovit caolinizat și turmalină. Sohodol — N 45° , 40 x.
Bauxite ferrugineuse à texture parallèle avec muscovite kaolinisée et tourmaline. Sohodol — N 45° , 40 x.
- Fig. 3. — Corpuseul ovoidal în bauxită ferată. Sohodol, dealul Răchiții, puit 80, N 45° , 50 x.
Corpsule ovoidal dans la bauxite ferrugineuse. Sohodol, Dealu Răchiții, puits 80, N 45° , 50 x.
- Fig. 4. - - Bauxită ferovă brună cu muscovit, pirilită. Sohodol, dealul Răchiții, puit 27, N 45° , 30 x.
Bauxite ferreuse brune à muscovite, pyrite. Sohodol, Dealu Răchiții, puits 27, N 45° , 30 x.

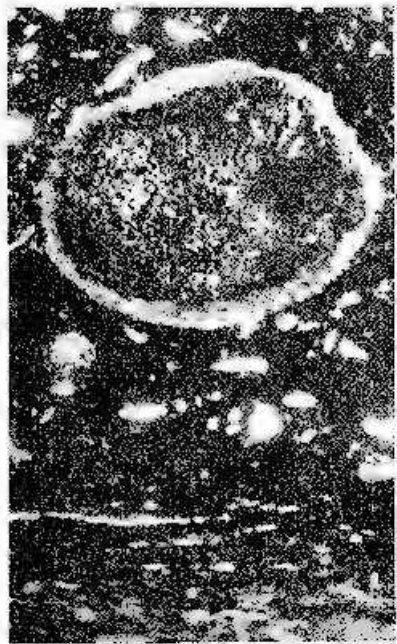




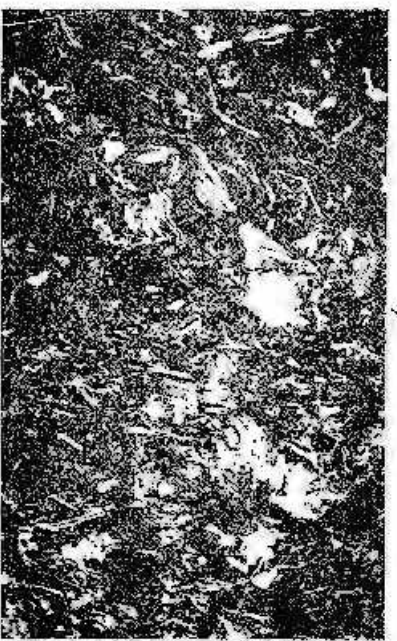
1



2



3



4

Institutul de Geologie și Geofizică. Dări de seamă ale ședintelor, vol. LXI/2.

PLANSA III

Fig. 1. - Muscovit parțial carbonizat cu material bauxitic înșinuat pe planele de elvaj. Sohodol, dealul Răchiții, pui 61, N 37, 40x.

Muscovite partiellement kaolinisées à matériel bauxitique insinué sur les plans de clivage. Sohodol, Dealu Răchiții, puits 61, N 37, 40 x.

Fig. 2. - Muscovit enolinitizat cu sideroză înșinuată pe planele de elvaj. Sohodol, dealul Răchiții, N 37, 35 x.

Muscovite kaolinisées à sidérose insinuée sur les plans de clivage. Sohodol, Dealu Răchiții, N 37, 35 x.

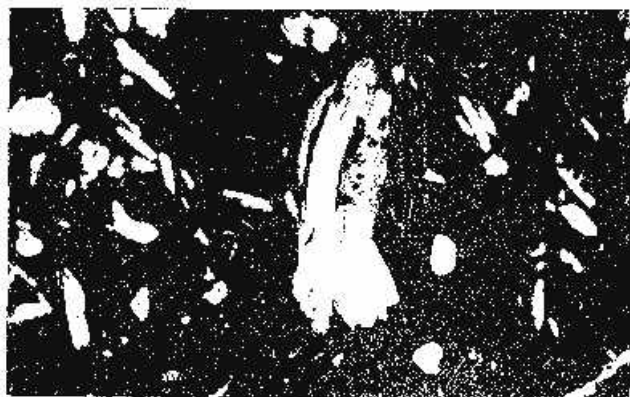
Fig. 3. - Bauxită feroasă cu corpuse neregulați de sideroză.

Sohodol, dealul Răchiții, pui 61, N 37, 60 x.

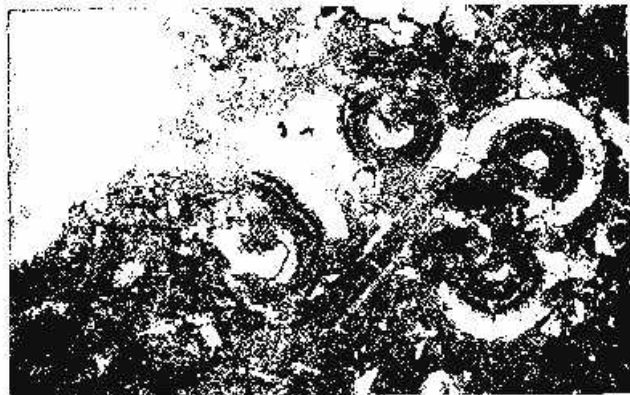
Bauxite ferreuse à corpuscules fibroradiaires de sidérose. Sohodol, Dealu Răchiții, puits 61, N 37, 60 x.



V. CORVIN PAPU et al. Studiu chimico-mineralogic al bauxitelor de la
Sohodol-Chipeni PL. III.



2



3

Institutul de Geologie și Geofizică. Dări de seamă ale ședințelor, vol. LXI/2.



Institutul Geologic al României



PLANŞA IV

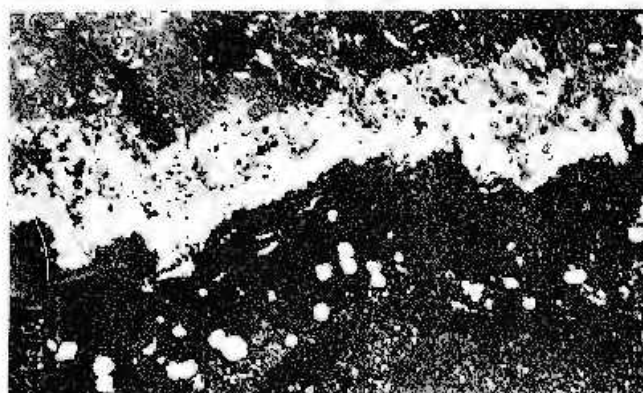
- Fig. 1. — Bauxită deferizată cu pirită pe fissuri. Sohodol, dealul Răchiți, puit 61, N 75°, 15 x.
Bauxite déferriée à pyrite sur les fissures. Sohodol, Dealu Răchiți, puits 61, N 75°, 15 x
- Fig. 2. — Bauxită deferizată cu o zonă kaolinitică și goethitică. Sohodol, dealul Răchiți, puit 27, N 75°, 15 x.
Bauxite déferriée avec une zone kaolinique et goethitique. Sohodol, Dealu Răchiți, puits 27, N 75°, 15 x.
- Fig. 3. — Bauxită deferizată. Sohodol, dealul Răchiți, puit 61, N 75°, 20 x.
Bauxite déferriée. Sohodol, Dealu Răchiți, puits 61, N 75°, 20 x.



V. CORVIN PAPIU et al. Studiul chimico-mineralogie al bauxitelor de la
Sohodol-Cimpeni Pl. IV.



1



2



3

Institutul de Geologică și Geofizică. Dări de seamă ale ședințelor, vol. LXI/2.



Institutul Geologic al României

2. ZĂCĂMINTE

METALOGENEZA REGIUNII VORȚA (MUNȚII METALIFERI)¹

DE

HARALAMBIE SAVU, IONEL NICOLAE²

Résumé

Métallogénèse de la région de Vorța (Monts Métallifères). Les minéralisations de Pb-Zn-Cu de la région de Vorța sont des concentrations d'origine hydro-thermale-mésothermale, formées dans les roches ophiolitiques alpines, le long des zones de fracture. Les concentrations de sulfures lenticulaires se situent à la partie médiane d'une des quatre zones de hydrothermalisation de la région et sont formées de pyrite, de chalco pyrite (bornite, covellite), de blende et de galène. C'est le zinc qui prédomine, tandis que le cuivre présente les teneurs les plus réduites. Il paraît que ces minéralisations soient liées aux éruptions de dacites et de rhyolites de la région, éruptions qui appartiennent à la deuxième étape de l'évolution du magmatisme ophiolitique alpin de la zone de Mureș (Monts Apuseni).

Introducere

Prezența unor mineralizații de sulfuri în regiunea Vorța este cunoscută încă dinainte de al doilea război mondial, perioadă în care s-au încrezut unele lucrări de exploatare. Primele indicații publicate asupra acestor mineralizații aparțin lui Ghîțulescu, Socolescu (1941), care figurează pe harta ce însoțește lucrarea lor de sinteză asupra mineralizațiilor neogene din Munții Metaliferi, două zone de alterație hidrotermală. În 1953, întreprinderea minieră de la Baia de Arieș pune în evidență în regiunea Vorța cîteva lenticile de sulfuri cu dimensiuni reduse. Mai tîrziu, Ciocfica et al.³ leagă mineralizațiile de sulfuri din această regiune de riolitele care apar în imprejurimile localității Vorța, despre care afirmă că sunt afectate de fenomene de hidrotermalizare. În 1963 Teodoru et

¹ Comunicare în ședință din 26 aprilie 1974.

² Institutul de Geologie și Geofizică, str. Caransebeș nr. 1, București.

³ G. Ciocfica, Olivia Romanescu, M. Trifulescu. Raport asupra cercetărilor din partea de vest a Munților Metaliferi (Visca-Fureșoara-Luncol-Vața), 1957. Arh. Inst. Geol. București.

al.⁴ descriu mineralizații de sulfuri complexe și pirită în pîriul Băii și pîriul Heiușului, ca impregnații în piroclastite bazaltice și banatite. B o r c o s și S t a n c i u⁵ consideră că aceste mineralizații sunt neogene. În ultimii ani mineralizațările de la Vorța au făcut obiectul unor lucrări miniere executate de Exploatare minieră Certej, iar IPEG-DEVA⁶ execută foraje pe baza lucrărilor de prospecție electrometrică efectuate de Bîchir (I.G.P.S.M.S.) în 1972.

Considerații asupra structurii geologice a regiunii

În regiunea Vorța se găsesc reprezentate roci vulcanice din primele două etape de evoluție a magmatismului ofiolitic alpin din geosinclinalul Mureșului, alcătuind din punct de vedere tectonic sinclinoriul Vorța, precum și formațiuni sedimentare asociate acestor erupții, aparținând Jurasicului superior și Cretacicului (S a v u , N i c o l a e , 1975).

În flancul sudic al sinclinoriului mezocretacic Vorța, unde apar mineralizațările de sulfuri, se deosebesc următoarele formațiuni geologice, în succesiune cronostratigrafică.

Rocile bazice din prima etapă de evoluție a magmatismului ofiolitic, de vîrstă jurasică pînă la oxfordiană, constau din curgeri de bazalte și anamesite, rareori și piroclastite, care alcătuiesc o zonă situată la sud de Vorța unde vin în contact cu depozitele sedimentare aparținând părții superioare a Cretacicului inferior și probabil Cretacicului mediu. Între aceste curgeri bazaltice se intercalează calcare recristalizate.

Spre nord, în flancul sudic al sinclinoriului, urmează în succesiunea manifestării vulcanismului, mai multe zone de roci vulcanice din a doua etapă de evoluție a magmatismului ofiolitic. Astfel, peste ofiolitele oxfordiene urmează un complex de andezite bazaltice, în special aglomerate, asociate cu tufuri și tufobrecii. Peste acestea succed piroclastite și mai rar lave de andezite cu hornblendă, uneori și cu piroxen și andezite cuarțifere, după care urmează un nou episod vulcanic cu erupții de andezite bazaltoide.

După aceste andezite succede spre nord un orizont de dacite și riocdacite, care suportă, în continuare, o formătire caracteristică, rubanată, constituță din tufuri compacte de andezite cu piroxen și hornblendă și tufite asociate cu jaspuri, formătire care ocupă zona axială a sinclinoriului Vorța.

În timpul manifestării episodului vulcanic cu roci acide, în regiunea Vorța s-a format curgeri de dacite cu intercalări de calcare jurasic-superioră — cretacic-inferioare, situate la est de zona cu mineralizații de sulfuri

⁴ I. Teodoru, Camelia Teodoru, A. Popescu. Raport asupra prospecțiilor geologice executate în secțiile Podele-Vorța, Mihăileni—Strimba și Ribița—Tîrnava de Criș, 1963. Arh. Inst. Geol. București.

⁵ M. Borceș, Constantin Stančiu. Notă explicativă la Harta genetică a substanțelor minerale utile, scara 1 : 200000, foala Brad, 1968. Inst. Geol. București.

⁶ Ch. Bîchir, E. Dafin, I. Esgiman. Proiect geologic privind cercetarea prin foraje a perimetru lui Vorța. Jud. Hunedoara, 1973. Arh. C.M.N.-Deva.

de pe pârâul Băii. Cu dacitele se asociază un corp de riolite situat pe valea Dumesti, iar la vest de Vorța ofiolitele sunt străbătute de un mic corp alungit de riolacite, orientat est-vest și situat în cuprinsul perimetruului cu mineralizații.

ACESTE ERUPTIUNI ACIDE AU FOST ATRIBUIITE IN TRECUT FIE VULCANISMULUI NEOGEN (GH. IȚULESCU, SOCOLESCU, 1941), FIE MAGMATISMULUI OFIOLITIC (CIOFLICA, 1961). CERCETĂRILE NOASTRE (SAVU, NICOLAE, 1975) CONDUC LA CONCLUZIA CĂ ELE APARȚIN VULCANITELOR OFIOLITICE DIN ETAPA A DOUA, DEOARECE ÎNTR-EURGERILE DE DACITE SE INTERCALEAZĂ CALCARĂ JURASIC-SUPERIOARE SAU NEOCOMIENE.

Mineralizațiile de sulfuri complexe

MINERALIZAȚIILE DE SULFURI DIN REGIUNEA VORȚA SINT LOCALIZATE ÎN ROCILE OFIOLITICE DIN FLANCUȘUL SUDIC AL SINCLINORIULUI, UNDE ALCĂTUIESC PATRU ZONE (FIG. 1), FORMATE PROBABIL ÎN LUNGUL UNOR FRACTURI (SAVU, NICOLAE, 1975).

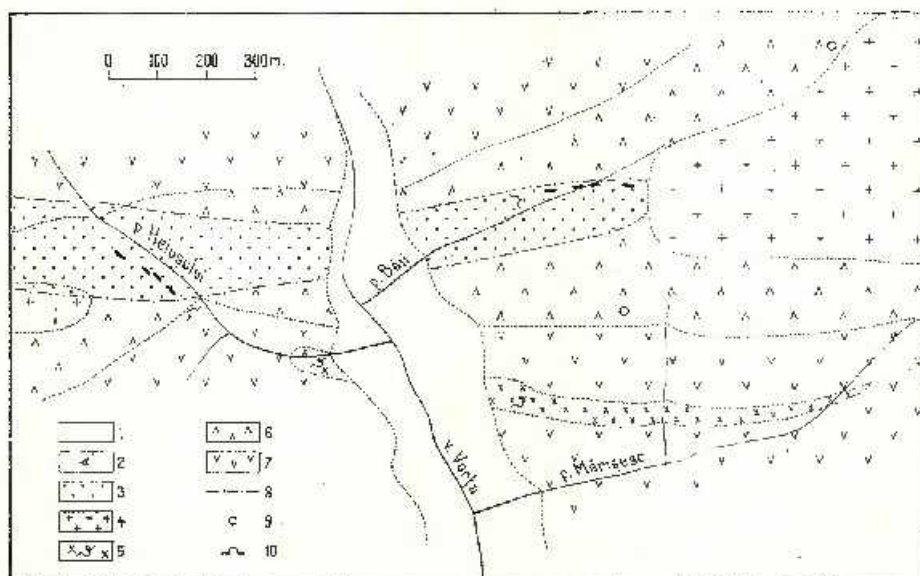


Fig. 1. — Schiță geologică a zonei hidrotermalizate pîrul Băii-pîrul Heiușul.

1, depozitele aluviale; 2, lentile de minereu; 3, zonă hidrotermalizată; 4, dacite; 5, oligofre; 6, piroclastite de andezite cu hornblendă și piroxeni și andezite cuarțifere; 7, piroclastite de andezite bazaltoide; 8, limita zonei hidrotermalizate; 9, foraj; 10, galerie.

The geological sketch of the hydrothermalized zone Băii Brook-Heiuș Brook.

1, alluvial deposits; 2, lenses of ore; 3, hydrothermalized zone; 4, dacites; 5, oligophires; 6, andesite pyroclastics with hornblende and pyroxenes and quartziferous andesites; 7, pyroclastics of basaltoid andesites; 8, the limit of the hydrothermalized zone; 9, drilling; 10, gallery.

Zona cea mai importantă se extinde din pîriul Băii și pîriul Heiușului — unde în prezent se execută lucrări minicre — spre vest, pînă în valea Cărmăzinești. Lățimea zonei hidrotermalizate este de 50—200 m. O a doua zonă, situată mai la sud, cu o lățime maximă de 100 m, traversează pîriul Cerului, valea Vorța și pîriul Homorod, extinzîndu-se pe o lungime totală de aproximativ 2 km. A treia zonă, situată la sud de precedentă, începe din versantul drept al văii Vorța și se continuă spre vest pînă în valea Mihăileasa. Aceasta are o lungime totală de 2,5 km și o lățime maximă de 175 m. În sfîrșit, o a patra zonă hidrotermalizată pusă în evidență traversează văile Dumești și Vlădeasa, extinzîndu-se pe o lungime de aproximativ 1,5 km, lățimea sa maximă fiind de 100 m.

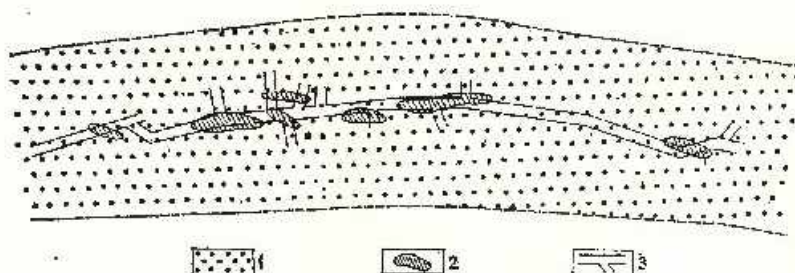


Fig. 2. — Distribuția mineralizației de sulfuri în bazinul pîriului Băi.

1, zonă de hidrotermalizare ; 2, lentile de minereu ; 3, galerie.

The distribution of the sulphides mineralization within Băi Brook basin.

1, hydrothermalized zone ; 2, lenses of ores ; 3, gallery.

Se remarcă faptul că prima zonă se suprapune atît pe piroclastitele de andezite bazaltice, cît și pe piroclastitele de andezite cu hornblendă, piroxen și cuarț, afectînd chiar dacitele. Zona a patra străbate aglomeratele de andezite bazaltoide din etapa a doua și anomenatele din prima etapă, pe cînd zonele a doua și a treia sunt localizate numai în aglomeratele de andezite bazaltoide.

În ceea ce privește distribuția în spațiu a mineralizației în cadrul acestor zone, rezultă cîteva observații generale. Acestea se prezintă de regulă sub forma unor zone de alterație hidrotermală și cu impregnații slabe de sulfuri, determinate de soluțiile mineralizante care au circulat probabil în lungul unor linii de fractură. În partea mediană a acestor zone hidrotermalizate se întîlnesc, ca în cazul zonei situată între pîriul Băii și pîriul Heiușului, mici lentile compacte de sulfuri complexe care au fost străbătute de galerii (fig. 2).

Procesele de hidrotermalizare și mineralizare prezintă aspecte diferite în cuprinsul acestor zone, pentru a căror descriere vom considera, ca cea mai reprezentativă, zona cuprinsă între pîriul Băii și pîriul Heiușului.

În cea mai mare parte a zonei hidrotermalizarea rocilor gazdă se traduce prin transformarea mineralelor primare în altele secundare, sta-

bile în condițiile termodynamice și ale compoziției chimice a soluțiilor mineralizante. Astfel, în rocile bazice plagioclazii sunt puternic argilizați, iar mincralele mafice sunt înlocuite cu clorit, asociat uneori cu epidot. Aceste roci hidrotermalizate sunt impregnate slab cu sulfuri și adesea apar depuneri de quart, cu care se asociază calcit și rar zeoliți.

Rocile acide din regiune sunt afectate de asemenea de soluțiile hidrotermale. Dacitele din corpul de pe pîriul Homorod au suferit o alterație hidrotermală intensă, fiind impregnate cu cristale fine de pirită. Uneori



Fig. 3. — Quart secundar rezultat din silicifierea rocilor ofiolitice. Pîrul Băli, N +, $\times .30$

Secondary quartzite resulted from silicification of the ophiolitic rocks. Băli Brook,
N +, $\times .30$

roca este complet caolinizată, astfel încit se întâlnesc zone transformate într-un material argilos, plastic.

În părțile mediane ale zonei mineralizate, unde s-au format lentilele de minereu compact, vulcanitele bazice sunt puternic silicificate, rezultând pe alocuri roci cu aspect de quartite secundare (fig. 3). Acestea sunt constituite aproape exclusiv din quart hidrotermal, dezvoltat în granule mărunte, cu extincție neregulată, care au un aspect mozaicat. Alături de quart se observă uneori plaje de calcit și rar epidot.

Ganga mineralizațiilor din lentilele de minereu mai compact este alcătuită din același quart fin cristalizat, însotit de calcit și eventual de epidot și zeoliți.

Mineralogie

Parageneza caracteristică a mineralizațiilor de sulfuri de la Vorța este constituită din pirită-calcopirittă (bornit, covelină), blendă, galenă, minerale formate aproximativ în ordinea prezentată; de obicei predomină sulfurile de Zn și Pb. În clasificarea lui Schneidern (1955), această parageneză arată că mineralizațiile de la Vorța s-au format în condiții mezotermale.

Minerul prezintă textură masivă, dar după cum vom vedea din descrierea mineralologică, primul mineral depus este spart și cimentat de mineralele următoare.

Pirita se prezintă uneori în cristale idiomorfe, cubice, alteleori cu contur neregulat; rar apar depuneri colomorfe de pirită. În cazuri foarte rare aceasta prezintă incluziuni de sfalerit. De obicei este inclusă în celelalte minerale, mai ales în calcopirittă. Unele cristale de pirită sunt sparte datorită unor procese mecanice, determinate probabil de reluarea mișcărilor tectonice în lungul faliei pe care se depunea mineralizația. Cristalele sparte de pirită sunt cimentate sau înlocuite parțial de calcopirittă (pl. I, fig. 1), mineral în care pirita se păstrează sub formă de granule cu contur neregulat. Astfel de procese au fost descrise și de Rama (1960).

Un caz deosebit, care trebuie semnalat, este formarea unei structuri de concreștere între calcopirittă ca mineral gazdă și pirită, foarte apropiată de structura mirmekitică din granofire (pl. I, fig. 2). Această structură constă din incluziuni fine de pirită, alungite și dispuse radial, astfel încât dă impresia că se sprijină pe fețele imaginare ale unui cristal patratice sau cubic. Uneori apar cristale de pirită cu latura de 5 mm, ceea ce conferă mineralului o structură porfirică. De obicei atât pirita, cât și celelalte sulfuri prezintă incluziuni de gangă.

Calcopirita se întâlnește de obicei în plaje cu contur neregulat și cu incluziuni de pirită, adesea în cristale idiomorfe (pl. I, fig. 3). Pe lîngă incluziunile de pirită, ea conține uneori incluziuni de blendă și galenă; filonașe constituite din ultimele două minerale străbat calcopirita. Pe seama calcopiritei se formează bornit (pl. I, fig. 4) și covelină albastră. Mai rar se întâlnesc plaje de calcopirittă de 1,5 cm diametru, determinând formarea unei structuri porfirice.

Bornitul, mineral de culoare brun-violacee, se prezintă în plaje cu contur neregulat, care înlocuiesc calcopirita. El pătrunde în calcopirittă pe fisuri, ca filonașe sau sub formă de plaje care înlocuiesc mineralul de la margine spre interior. În cazul filonașelor de blendă sau galenă din calcopirittă, bornitul ocupă partea marginală a acestora. Într-un alt caz, în jurul unui cristal de pirită cu filonașe de calcopirittă pe fisuri, se dezvoltă o auricolă de bornit, după care urmează calcopirittă, ce înconjoară bornitul.

Galena se prezintă de obicei în cristale xenomorfe, adesea incluse în calcopirittă, cu care concrește intim.

Blendă apare de asemenea în granule xenomorfe, care conțin incluziuni din celelalte minerale, ca de exemplu granule de pirită asociată cu calcopirittă. Uneori blendă prezintă reflexe interne în unele zone, în care ea este slab pleocroică și ușor anizotropă. Rare se observă cristale de blendă

sparte, ca și cele de pirită. Sunt de semnalat incluziunile fine de calcopirită din blendă, care par să reprezinte exoluții. În blendă se observă uneori filonașe de calcopirită.

Chimismul mineralizației

Pentru cunoașterea chimismului mineralizației s-a urmărit distribuția Pb, Zn și Cu în 227 analize chimice. Aceste analize au fost efectuate de Exploatarea minieră Certej-Săcărimb din cadrul C.M.N. — Deva, pe probe de minereu din galerile de pe pîriul Heiușului și pîriul Băii.

Din aceste analize rezultă un fapt important și anume că, privită în ansamblu, mineralizația din regiunea Vorța este mai bogată în Zn, element care predomină totdeauna asupra Pb și Cu (fig. 4). Dintre aceste trei metale, cuprul prezintă conținuturile cele mai reduse.

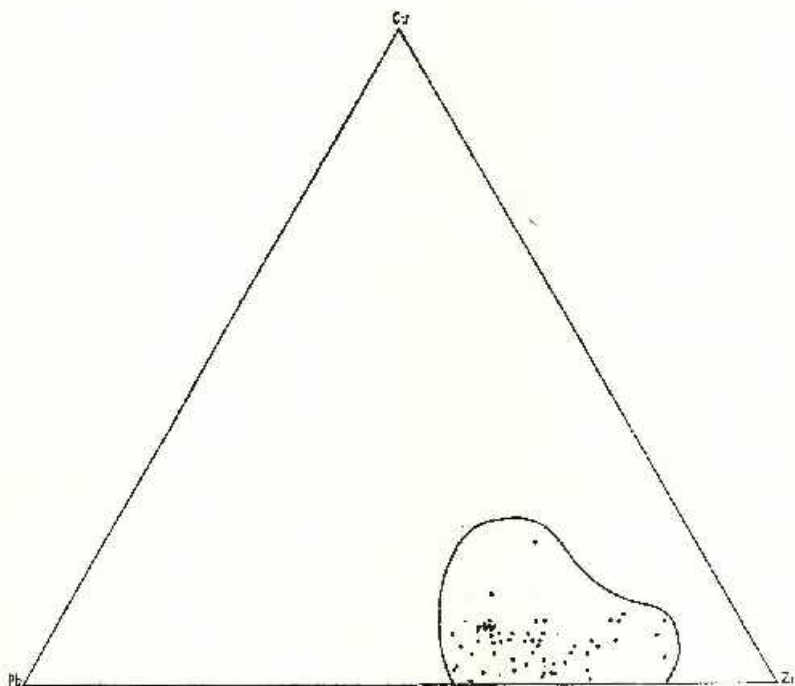


Fig. 4. — Diagrama Cu—Zn—Pb.
Cu—Zn—Pb Diagram

În ceea ce privește distribuția Zn și Pb în aceste mineralizații, se constată o corelație pozitivă între cele două elemente, ceea ce arată că pe măsura creșterii conținutului de Zn, crește și conținutul de Pb, așa cum rezultă din diagrama Zn : Pb din figura 5. În majoritatea cazurilor se ob-

servă că Zn predomină asupra Pb, deoarece curba de corelație se îndepărtează puțin de diagonala diagramei.

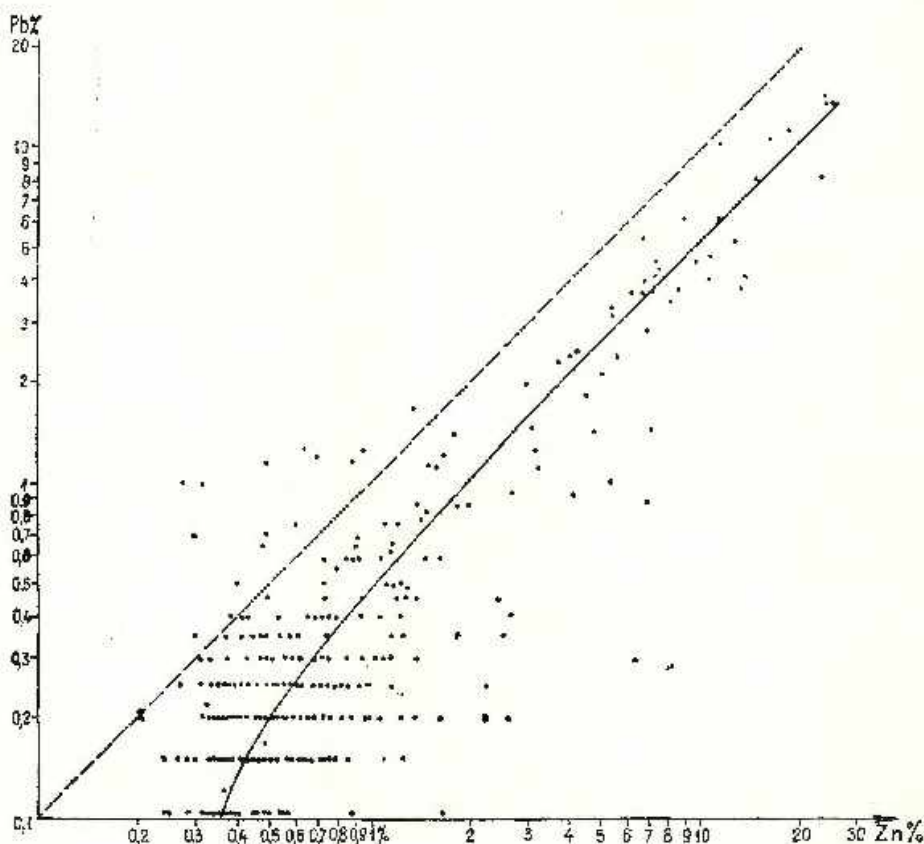


Fig. 5. — Diagrama Zn : Pb.

Zn : Pb Diagram

Conecții

Din datele prezentate rezultă că mineralizațiile de sulfuri din regiunea Vorța reprezintă acumulații de Zn—Pb—Cu hidrotermale-mezotermale. Acestea s-au format pe un sistem de fracturi orientate aproximativ est-vest, care au fost recluse de mișcările tectonice în timpul depunerii mineralizației, fapt atestat de cristalele sparte de pirită și mai rar de blendă.

În ceea ce privește vîrsta acestor mineralizații, amintim că autorii anteriori le-au atribuit vulcanismului neogen, intruziunilor banatitice și erupțiilor de riolite cretacic-inferioare.

Se pare într-adevăr că aceste mineralizații sunt legate de erupțiunile de dacite și riolite din regiune, deoarece atât cele de la est, cât și cele de la vest de Vorța sunt afectate de procesele de hidrotermalizare. Deși dacitele nu apar la zi în toate zonele afectate hidrotermal, prezența lor în adinimie este trădată de soluțiile fierbinți, care au circulat pe un sistem vechi de fracturi și care au determinat alterațiile hidrotermale din cele patru zone.

BIBLIOGRAFIE

- Cioflică G. (1961) Asupra vulcanismului cretacic din partea de vest a Munților Metalifer. *An. Univ. C. I. Parhon, seria st. Nat. Geol. Geogr.* 27, p. 7–13, București.
- Ghițulescu T. P., Socolescu M. (1941) Étude géologique et minière des Monts Métallifères. *An. Inst. Geol. Rom.* XXI, p. 181–464, București.
- Ramdohr P. (1960) Die Erzmineralien und Ihre Verwachsungen. Berlin.
- Savu H., Nicolaes I. (1975) Evolution of Ophiolitic Volcanism in the Vorța Region and its Position in the Mureș Zone. Tectogenesis (Apuseni Mountains). D. S. Inst. geol. geof., LXI/5, București (sub tipar).
- Schneiderhöhn H. (1955) Erzlagerstätten. Jena.

METALLOGENESIS OF THE VORȚA REGION (METALIFERI MOUNTAINS)

(Summary)

Sulphide mineralizations in the Vorța region represent Pb–Zn–Cu accumulations of hydrothermal-mesothermal origin, localized in the alpine ophiolitic rocks. These mineralizations build up four zones which have formed along a fracture system approximately trending east-westwards, resumed by new tectonic movements during the deposition of the mineralization, fact asserted by broken pyrite crystals, and more seldom by sphalerite.

In the structure of these zones, the most characteristic being the one situated between the Bâi Stream and the Heiușul Stream (Fig. 1), the following elements are to be distinguished (Fig. 2): (1) a zone having undergone a hydrothermalization process of various volcanic rocks, which determined the alteration of primary minerals and the weak impregnation of sulphide-bearing rocks; (2) in the middle of the hydrothermalized zone, lenses of more compact ore, consisting of complex sulphides deposited in the strongly silicified mass (Fig. 3) of igneous rocks, have been noticed.

The characteristic paragenesis of the Vorța sulphide mineralizations is composed of pyrite, chalcopyrite (bornite, covellite), sphalerite, galena, minerals approximately formed in the presented order, wherein Zn and Pb sulphide commonly predominate. The gangue material of mineralizations consists of quartz associated with calcite, epidote and rarely zeolites.



As regards the chemical composition of mineralizations one may state that they are richer in zink, copper presenting the most reduced contents, (Fig. 4 and 5). The age of these mineralizations is still under discussion, as they have been assigned to the Neogene volcanism, banatitic eruptions and the ophiolitic magmatic activity. It seems, however, that these mineralizations are linked to the dacite and rhyolite eruptions in this region (Fig. 1); they belong to the rock sequence of the second evolution stage of the Alpine ophiolitic magmatic activity within the Mureş Zone (Apuseni Mountains).



EXPLICATIA PLANSEI



Institutul Geologic al României

EXPLICATIA PLANSEI

Fig. 1. — Pirită breccială (alb) și cimentată cu calcopirită (cenasuțiu).

Pișorul Heiușului. (x 175).

Pyrite brecciated (white) and cemented with chalcopyrite (greyish).

Heiuș Brook. (x 175).

Fig. 2. — Coacereștere între pirită (alb) și calcopirită (cenasuțiu). Pișorul Heiușului. (x 265).

Intergrowth between pyrite (white) and chalcopyrite (greyish). Heiuș, Brook. (x 265).

Fig. 3. — Cristale idiomorfice de pirită (alb) incluse în calcopirită (cenasuțiu). Pișorul Heiușului. (x 64).

Idiomorphic crystals of pyrite (white) included within chalcopyrite (greyish).

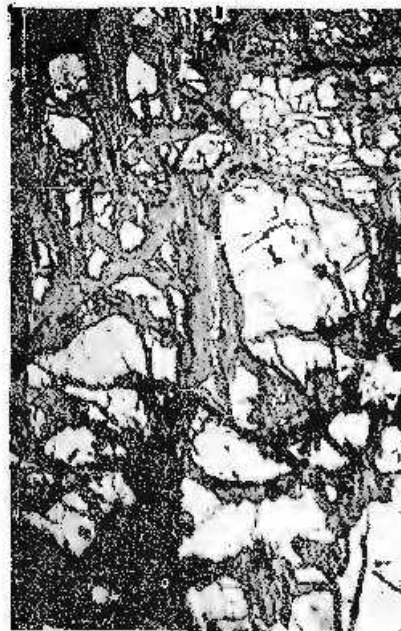
Heiuș Brook. (x 68).

Fig. 4. — Pirită (Py), calcopirită (Cp) și bornit (Bn) în minereul de pe pișorul Heiușului. (x 185).

Pyrite (Py), chalcopyrite (Cp) and bornite (Bn) within the ore from the Heiuș Brook. (x 185).



H. SAVU, I. NICOLAE. Metalogeneza regiunii Vorța



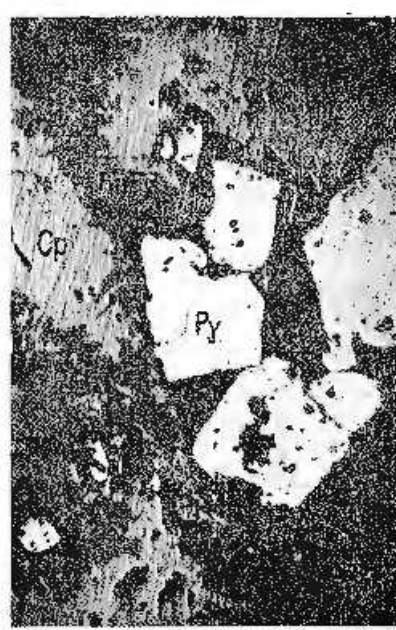
1



2



3



4

Institutul de Geologie și Geofizică, Dări de seamă ale ședințelor, vol. LXI/2.



Institutul Geologic al României



2. ZĂCĂMINTE

NOTĂ ASUPRA UNUI NIVEL CU FEROLITE OOLITICE ÎN TOARCIANUL SUPERIOR DIN MUNTII PERSANI¹

DE

NICOLAE TICLEANU², CLARISSA PAPACOSTEA³

Abstract

On Oölitic Ferrolite Level in the Upper Toarcian from the Persani Mountains. This paper presents the description of an oölitic ferrolite level recognized in the south-western part of the Persani Mts, at 1.5 km of the Venetia de Sus locality. The age of the oölitic ferrolite level is Upper Toarcian, probably corresponding to the stratigraphic interval indicated by biozones with Levesquei and Alensis. The oölitic ferrolites consist of a binding mass of iron oxydes and hydroxydes as well as of a clayey material, occasionally kaolinite, wherein numerous oölitic göthites and hematites are included; more seldom the detrital quartz does occur. Their chemical composition is dominated by FeO (32.99 – 51.10 p.a.) followed by SiO₂ (13.90 – 36.24 p.c.) and Al₂O₃ (14.35 – 15.28 p.c.); CaO, MgO, P₂O₅ and S have been also encountered in small amounts. Referring to the genesis of oölitic ferronitrites the authors consider that they represent marine, shelf, shallow deposits with well agitated and aerated waters.

În urma cercetărilor geologice efectuate în vara anului 1971 în partea de SW a muntilor Persani, Ticleanu et al. (1971)⁴ a pus în evidență un afloriment cu ferolite oolitice care constituie obiectul prezentei note. Aflorimentul este situat pe pîriul Calului (valea Măgurii), affluent stîng al văii Sărăjii, în versantul nordic al dealului Fața Măgurii, la aproximativ 1,5 km NE de localitatea Venetia de Sus, județul Brașov (fig. 1).

¹ Comunicare în ședință din 29 mai 1974.

² Institutul de Geologie și Geofizică, str. Caransebeș nr. 1, București.

³ Intreprinderea Geologică de Prospecții pentru Substanțe Minerale Solide, str. Caransebeș nr. 1, București.

⁴ N. Ticleanu, N. Ștefănescu. Studii geologice pentru roci utile în construcții, calcare și gresii în zona Bran-Vlădeni-Persani-Racuș (județul Brașov) 1971 Arh. I.G.P.S.M.S. București.

Apariția la zi a ferolitelor oolitice a fost favorizată de eroziunea intensă cauzată de abundența precipitațiilor din anii 1970 și 1971.

Prima lucrare geologică privind zona adiacentă aflorimentului cu ferolite oolitice aparține lui W a c h n e r (1918). Amintim apoi lucrările geologilor Preda, Ilie (1940), Ilie (1951) și M. și Cristina Dumitriu (1964).

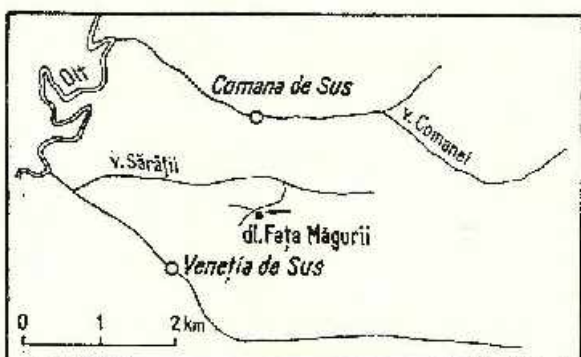


Fig. 1. — Schiță cu amplasarea aflorimentului cu ferolite oolitice.

Esquisse avec l'emplacement de l'affleurement à ferrolithes oolithiques.

O contribuție esențială la deschiderea geologiei regiunii o aduc P a - t r u l i u s et al. (1966) care, pornind de la structura în pînză a Persanilor, arată că în zona Măgura Veneției — valea Sărății, zonă la care ne referim în prezentă lucrare, apare numai autohtonul (paleo-și neoautohtonul), la alcătuirea căruia iau parte șisturi cristaline și depozite triasice, jurasice, cretacice și miocene.

Prin lucrările din 1967 și 1969 P o p a completează listele faunistice ale depozitelor Domerianului și Toarcianului din zonă.

În afara lucrărilor geologice amintite, date geologice privind regiunea sunt cuprinse în rapoarte întocmite în urma prospectiunilor efectuate de D u m i t r i u et al. în anul 1962, K u s k o et al. în 1970 și T i c l e a n u et al. în perioada 1970 — 1973.

Geologia regiunii

Fundamentul cristalin, constituit din șisturi sericitocloroase (seria de Gîrbova) apare pe o mică suprafață pe pîriul Bursucului și pîriul Calului.

Triasicul începe prin calcare cenuzii în plăci, din care P a t r u l i u s et al., citează *Myophoria costata*, atribuindu-le vîrstă campiliană. Urmează dolomite masive (150 m grosime) cărora aceiași autori le atribuie vîrstă

anisiană-ladiniană? În baza acestor dolomite, în dealul Fața Măgurii am întîlnit blocuri de calcare campiliene, fapt ce pledează pentru o scurtă perioadă de exondare la sfîrșitul Campilianului.

Depozitele Liasicului se astern transgresiv pe un paleorelief accentuat, sunt incomplete și apar la zi în puține locuri pe valea Sărății, pîriul Calului, dealul Picioara și pîriul Cascadelor (pîriul Gîrbovei). Pe valea Sărății și pîriul Cascadelor apar mici petice de calcare roșii cu accidente silicioase. Fauna descrisă din aceste calcare de Patruiuș et al. (1966) și Popa (1967) a permis stabilirea vîrstei acestora, Domerian superior (zona cu *spinatum*).

Pe valea Sărății apare un pachet de marne cenușii, argile și gresii, considerat de Patruiuș et al. (1966) ca fiind de vîrstă toarcian-inferioră. Depozite asemănătoare acestora am întîlnit pe pîriul Calului, în flancul nordic al unui mic sindinal cu depozite jurasice; deosebirea față de cele din valea Sărății constă în prezența unor mici lentile de cărbune. Acest ultim caracter amintește de faciesul de tip Gresten al Liasicului. Remarcăm aici că în zona Holbav-Vulcan-Codlea, zonă situată la circa 20 km SE de Măgura Venetici, faciesul de tip Gresten cu cărbuni și argile refractare urcă pînă în Toarcian-Dalenian (Antonescu, 1973).

În continuitate de sedimentare, tot pe pîriul Calului (fig. 2) se dispune un ban de circa 1,7 m grosime alcătuit din calcare grezoase cu oolite

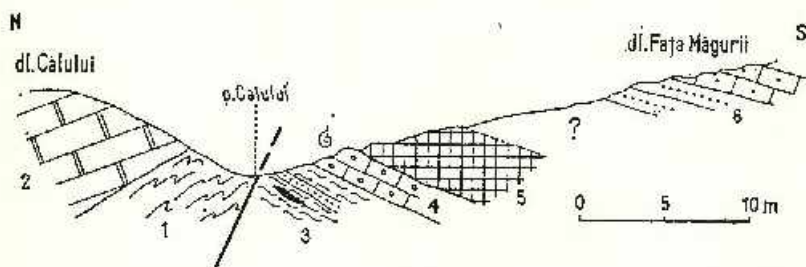


Fig. 2. — Secțiune geologică schematică prin aflorimentul cu ferolite oolitice.

1, sisturi cristaline; 2, dolomite anisiene; 3, argile și marne argiloase cu lentile de cărbuni și intercalări de gresli (Toarcian inferior); 4, calcare grezoase cu oolite limonitice (Toarcian superior, zona cu *G. thouarsense*); 5, nivelul cu ferolithe oolitice (Toarcian superior); 6, gresii albe cuarțitice și calcarénites spatiques (Dogger).

Section géologique schématique à travers l'affleurement à ferolithes oolithiques.

1, schistes cristallins; 2, dolomies anisiennes; 3, argiles et marnes argileuses à lentilles de charbons et intercalations de grès (Toarcien inférieur); 4, calcaires gréseux à oolites limonitiques (Toarcien supérieur, zone à *G. thouarsense*); 5, le niveau à ferolithes oolitiques (Toarcien supérieur); 6, grès blancs quartzitiques et calcarénites spatiques (Dogger).

limonitice și o bogată faună de ammoniti, belemniti etc. Patruiuș et al. (1966) citează de aici: *Pseudogrammoceras* sp. și *Phymatooceras* sp. iar de pe valea Sărății, din calcare similară, *Grammoceras thouarsense* (d'Orb.), *Pseudogrammoceras subfallaciosum* Bükman, etc. Ulterior au fost aduse precizări de Popa (1967). Fauna citată conferă calcarilor grezoase cu

oolite limonitice vîrstă toarcian-superioară (zona cu *G. thouarsense* și zona cu *Hammatoceras insigne*⁵).

Aparent, în continuitate de sedimentare, peste calcarile grezoase cu oolite limonitice din pîrul Calului, urmează un pachet de ferolite oolitice de culoare roșie vișinie și spărtură pămîntoasă a cărui grosime este de 4,7 m. Relațiile ferolitelor cu depozitele acoperitoare sunt mascate de un bloc de calcare prăvălit pe vale.

Atât în valea Sărății cît și pe pîrul Cascadelor, peste calcarile grezoase cu oolite limonitice, identice din punct de vedere litologic și cronologic celor de pe valea Calului, nu a mai fost întlnit nivelul cu ferolite. Este posibil ca acest nivel să existe sub depozitele cuaternare care maschează zona de afloament. Pe un affluent stîng al pîrului Calului, *S t e f ă n e s c u* (în N. Ticleanu și N. Stelănescu⁶), peste calcarile grezoase cu oolite limonitice, a găsit concrețiuni cu concentrații mari de fier ce par să reprezinte alterarea nivelului ferolitic.

Pe pîrul Cascadelor, Patruiuș et al. (1966) descriu depozite aaleniene alcătuite tot din calcare grezoase cu oolite limonitice care conțin într-un nivel inferior o bogată faună fosilă din care amintim: *Tmetoceras scissum* (Benecke), *Hudlestonia affinis* (Schebaeh) și *Leioceras comptum* Reinke. Dintr-un nivel superior sunt citate printre altele și formele: *Graphoceras* sp., *Brasilia* sp., și *Ludwigia murchisone* (Sowerby).

Așadar în Aalenianul de pe pîrul Cascadelor sunt prezente zonele Scissum și Murchisone. Lipsa zonei Opalinum, inferioară zonei Scissum, ne face să presupunem existența unei discordanțe între Aalenian și Toarcian și să credem că nivelul cu ferolite de pe pîrul Calului poate reprezenta Toarcianul terminal, intervalul de timp corespunzător zonelor cu *Dumortiera levesquei* și cu *Pleydellia aalensis* sau numai uneia dintre ele.⁷

Dogerul apare reprezentat prin gresii albe cuartitice, calcarene gălbui-roșcate, spătice și calcare albe-gălbui, oolitic, pseudoolitic, algolitic. Patruiuș et al. (1966) consideră că există treceri laterale între calcare și gresii, fapt care se remarcă foarte bine în semidebleul șoselei forestiere de pe pîrul Cascadelor.

La nord de valea Sărății apar depozite aparținînd Tithonic-Hauterivianului constituite în bază dintr-un orizont roșu cu argile, argilite și jaspuri roșii și mai rar gresii și calcarenite verzuie și un fliș calcarenitic predominant verzuie, cenușiu la partea superioară.

Formațiunca de wildflysch, bine dezvoltată la nord de valea Comanci, apare după opinia noastră pe o mică suprafață în partea de SW a Măgurei Venetiei, unde este alcătuită dintr-o matrice argiloasă-marnoasă-grezoasă în care sunt înglobate elemente de vîrstă diferite (cristalin, triasic și jurasic). Vîrstă acestei formațiuni este considerată de Patruiuș et al. (1966) ca fiind barremian-bedouliană?. Se pare că această formațiune este numai barremiană, deoarece Bedoulianul a fost întlnit în baza seriei calcaroase

⁵ Informație verbală dr. D. Patruiuș.

⁶ Op. cit., pct. 4.

⁷ Această vîrstă ne-a fost sugerată de dr. D. Patruiuș căruia îi aducem pe această cale mulțumirile noastre.

conglomeratice, de la partea inferioară a cuverturii post-tectonice (P a u l - l i u c , Grădișteanu, 1970).

După K u s k o et al.⁸ wildflyschul are o extindere foarte mare în zona Măgura Venetiei-valea Sărății, punet de vedere care după părerea noastră nu corespunde realității, intensa fragmentare a depozitelor din această zonă datorindu-se în primul rînd paleoreliefurilor accentuate și a stilului tectonic în blocuri.

Alte depozite care mai apar în zonă au mică extindere și aparțin Vraconian-Cenomanianului (gresii, microconglomerate) și Tortonianului (tufuri dacitice verzui și marne albe și roșcate cu globigerine).

În încheierea prezentării geologiei regiunii remarcăm dispunerea depozitelor Liasicului și Doggerului într-un sindinal asimetric cu axa orientată aproximativ WNW – ESE.

Caracterele petrografice ale depozitelor toarcian superioare

În Toarcianul superior, în partea de SW a munților Perșani au existat condiții favorabile acumulării unor depozite feruginoase.

Primele depozite cu conținuturi pînă la 14,65% Fe₂O₃ sunt reprezentate prin calcarele grezoase cu oolite limonitice și amoniți aparținînd zonei cu *G. thouarsense*. Aceste calcară sint compacte, negricioase, cu spărtură neregulată și granulație medie. Structura este mixtă: granulară-microgranulară, aleuritică, oolitică. Masa fundamentală a rocii este formată din calcit recristalizat granular invadat secundar de carbonați feriferi cu structură microgranulară și individualizări idiomorfice, zonate, risipite sau formînd îngrămadiri. Materialul detritic (circa 10–18%) este reprezentat prin cristale aleuritice, angulare de cuarț și lamele fine de muscovit, biotit și clorit dispuse neorientat. Oolitele limonitice (circa 40–50%) (pl., fig. 1), amorfă, uneori slab anizotropă, rareori indicînd prezența unui leptoclorit, sunt elipsoidale, uneori sferice (0,2–0,9 mm), neorientate, cu marginile uzate, corodate (pl., fig. 2), sugerînd o remanire intraformatiională. Se observă de asemenea prezența izolată a unor elemente litice de ferolite, angulare, cu caracter aleuritic datorat cristalelor de cuarț și mice. Resturile organice sunt reprezentate prin plăci de echinodermă, care constituie rareori nucleul unor oolite limonitice, cîteva foraminifere pelagice, fragmente din testul unor moluște și resturi de brachiopode. Pirita diagenetică este fin diseminată sau epigenizează lojile foraminiferelor și formează rareori mase compacete.

Prezența carbonaților de fier în calcarele grezoase cu oolite limonitice indică condiții de mediu reducător pentru formarea acestor roci.

Peste aceste calcară, la o schimbare a regimului de oxigenare a apelor și a pH-ului acestora, se depun ferolitele oolitice. Megascopic, ferolitele sunt compacte, de culoare roșie-vîșinie, maronie, pămintoase, uneori luceioase, mai mult sau mai puțin friabile.

⁸ M. K u s k o , M. S a v u , I. M a t a c h e , S. G e o r g e s c u . Raport geologic asupra prospecțiunilor în zona cristalino-mezozoică și zona filișului intern din Munții Baraolt, Perșani și Bucegi. 1971. Arh. I.G.P.S.M.S. București.

Ferolitele oolitice (probele 1024—1030) sunt formate dintr-un liant constituit din oxizi și hidroxizi de fier și material argilos. În această matrice apar numeroase formațiuni oolitice feruginoase (oxizi și hidroxizi de fier) de 0,2—1,0 mm diametru, ovoidale-sferice, cu structuri concentriche. Rareori nucleul este alogen : placă de echinoderm (?), cristal de cuart sau element de micașist. Oolitele sunt adesea în atingere și ușoara deformare (pl. fig. 3, 4) indică o tasare în stadiu de gel ; oolitele lenticulare și vag orientate indică același proces. Participarea cuartului detritic aleuro-psamitic, predominant angular, adeseori cu extincție rulantă, variază între 1—35 %, realizând uneori nivale de ferolite oolitice grezoase (probele 1025, 1028, 1030).

Mineralele grele sunt sărace în specii dar caracteristice, fiind reprezentate prin : turmalină măslinie și albastră, rar olivină.

Ganga ferolitelor este uneori caolinitică (pr. 1026), impregnată cu oxizi și hidroxizi de fier ; s-au observat de asemenea tipuri de ferolite carbonatate (pr. 1029), slab grezoase cu liantul mixt argilos, fin cristalizat și carbonatic microgranular (carbonați feriferi). O ultimă varietate de ferolite se caracterizează prin prezența calcitei epigenetice care apare pe diaclaze și în masa rocii, subliniind conturele oolitelor.

Elementul comun tuturor varietăților de ferolite îl constituie prezența oxizilor și hidroxizilor de fier în masa fundamentală și în oolite.

Analizele mineralogice în raze X efectuate în anul 1971⁹ au arătat următoarele conținuturi :

	pr. 2186 A	pr. 2186 B	pr. 2186 C
Caolinit	24—26 %	34—37 %	22—25 %
Iilit	10—12	7—9	2—4
Goethit (hidrogoochit)	27—30	40—44	20—22
Hematit 20	20—22	—	20—22
Cuarț	12—14	11—13	22—25

Se remarcă conținuturile ridicate în minerale constituite din oxizi și hidroxizi de fier (hematit, goethit) de la 40—52 % din masa rocii. Aceeași compozitie mineralogică a fost stabilită și prin analize termice diferențiale efectuate de I. T. o d o r.

Date privind chimismul ferolitelor

Analiza chimică¹⁰ a calcarelor grezoase cu oolite limonitice arată prezența Fe_2O_3 de la urme pînă la 12,77 % (pr. 1023, 3100). Proba 2263 de pe pîriul Cascadelor arată chiar conținuturi de 14,65 % (tabelul).

Rezultatele analizelor chimice efectuate pe 7 probe recoltate punctiform de la diferite nivele din ferolitele oolitice sunt prezentate în tabelul de mai jos și diagrama din figura 3. Procentual, cele mai mari conținuturi

⁹ Analize executate de Gh. Neacșu și T. Urcaș de la IGPSMS cărora le mulțumim pe această cale.

¹⁰ Analizele chimice au fost făcute de ing. M. Cristea căruia îi mulțumim,

le arată Fe_2O_3 (32,99—51,10) urmat de SiO_2 (13,90—36,24) și Al_2O_3 (14,35—15,28). Din analiza diagramei compozitiei chimice se remarcă paralelismul între curba P_2O_5 și CaO , ceea ce indică prezența fosfatului de calciu colomorf; de asemenea paralelismul relativ dintre $\text{P.C.} + \text{Al}_2\text{O}_3 + \text{TiO}_2 + \text{Na}_2\text{O} + \text{K}_2\text{O}$ arată un aport constant de material argilos.

TABEL

Analiza chimică a calcarilor grezoașe cu oolite limonitice

	calcare		ferolite oolitice						
	pr. 1023	3100	1024	1026	1027	1028	1029	2186	2186
SiO_2	11,97	6,7	19,93	32,58	13,90	22,78	36,34	30,90	38,78
Fe_2O_3	urme	12,77	39,81	34,78	51,10	39,57	32,99	44,00	32,12
FeO	2,89	3,84	2,89	2,61	0,09	urme	0,15		
Al_2O_3								14,35	15,28
TiO_2								0,71	0,65
$\text{Al}_2\text{O}_3 + \text{TiO}_2 + \text{Na}_2\text{O} + \text{K}_2\text{O}$	22,42	6,01	17,17	14,56	14,44	16,60	18,42		
CaO	30,34	36,39	3,87	2,70	4,58	5,52	1,82	0,71	1,61
MgO	1,34	0,40	0,20	0,05	0,35	0,73	0,70		
P_2O_5	1,62	0,94	2,52	1,28	2,56	3,00	0,43		
S	0,49	urme	—	—	urme	urme	—	0,12	0,18
P. C.	28,73	31,99	13,32	11,14	12,98	11,78	9,73	9,0	10,10

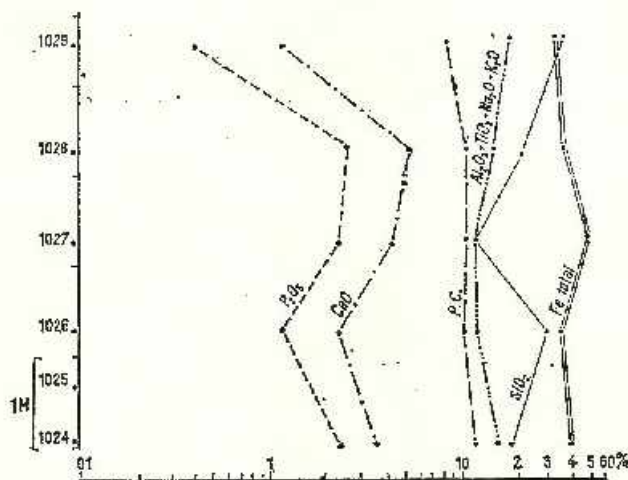


Fig. 3. — Variația pe verticală a compozitiei chimice a ferolitelor oolitice (scara orizontală logaritmică).

Variation sur la verticale de la composition chimique des ferrolithes oolithiques (échelle horizontale logarithmique).

Analizele spectrale efectuate pe două probe informative au indicat următoarele conținuturi (în %) :

Cr	0,025–0,04
Ni	0,0025–0,018
V	0,005–0,0025
Mn	0,009–0,015

Considerații privind geneza ferolitelor

Primele depozite cu conținuturi pînă la 14,6% Fe_2O_3 sunt reprezentate prin calcare grezoase cu oolite limonitice și amoniți aparținînd Toarcianului superior (zona cu *G. thouarsense*). Aceste calcare s-au format probabil într-un mediu reducător, fapt ce poate fi argumentat prin prezența carbonațiilor de fier; oolitele sunt remaniate intraformatiional.

Intr-o fază următoare este posibil să fi avut loc o ușoară ridicare a fundului mării, care a produs modificări ale bazinului de sedimentare capabile să schimbe regimul de oxigenare a apelor și $p\text{H}$ -ul acestora, permîtînd sedimentarea ferolitelor oolitice. S tr a h o v (fide P a p i u , 1960) arată că precipitarea ferolitelor are loc mai ales în condițiile unei linii litorale foarte dezmembrate în mici bazine și arhipelaguri. O astfel de situație există în Toarcianul superior din zona Măgura Venetiei-valea Comanei, fapt dovedit de paleorelieful ante-liasic caracterizat printr-o fragmentare intensă.

După R i v i è r e (fide P a p i u , 1960) oolitele de oxizi ferici au luat naștere prin precipitare fiind favorizate de mediile marine agitate și calcaroase. Aerisirca apelor ar fi determinat precipitarea oxizilor, dar eliminarea anionilor ar fi scăzut $p\text{H}$ -ul mediului lăsînd o cantitate de fier în soluție; precipitarea finală s-ar fi datorat neutralizării acizilor prin carbonatul de calciu.

Referitor la sursa de fier care a alimentat bazinul marin există mai multe ipoteze, din care trei ni se par mai interesante.

Este cunoscut faptul că în Liasic au avut loc o serie de erupții cu caracter ultrabazic, care s-au materializat prin lamprofire și bostonite în partea de NE a munților Făgăraș (M a n i l i c i , 1956) și tufuri și tufite în sedimentarul zonei Holoțav-Vulcan-Codlea (după S e m a k a , 1957). Este posibil ca aceste erupții să fi constituit sursa de fier.

O altă posibilitate este legată de o arie mare de denudare (cristalinul de Gîrbova și Făgăraș) avînd disperse minerale cu conținuturi variabile de fier, care levigat și transportat în soluții coloidale să ajungă în bazinul marin, unde s-a concentrat în geluri, precipitînd.

În fine, nu este exclus ca la vremea Toarcianului superior, la sud de zona cercetată să fi fost exondată o acumulare mai importantă de fier legată de cristalinul sericii de Făgăraș sau de Gîrbova.

Avînd în vedere dispunerea nivelului cu ferolite peste bancul cu calcar grezoase cu oolite limonitice (zona cu *G. thouarsense*) întlnit de cercetătorii anteriori și de noi pe valea Sărății, dealul Picioara, pîriful Cascadelor

etc., este dc presupus că nivelul cu ferolite poate exista și în aceste puncte, ca și în alte zone, fapt ce ar putea prezenta și un interes economic.

După aceste prime observații conchidem că ferolitele oolitice de pe pîrlîn Calului (valea Măgurii) sunt depozite marine, litorale, de mică adin- cime cu ape bine aerisite și agitate; ele sunt legate genetic de banul de cal- care grezoase cu oolite limonitice aparținind zonei cu *G. thouarsense*. Ferolitele oolitice cuprind probabil intervalul stratigrafic desemnat de zonele Levesquei și Aalensis ale Toarcianului terminal.

BIBLIOGRAFIE

- Antonescu E. m. (1973) Quelques données sur la Palynologie du Liás sous facies de Gres- ten de Roumanie. *Palynol. of Mesophyte, Proceedings of the III. Int. Palyn. Conf.*, p. 53— 37, Moscova.
- Arkell W. J. (1956) Jurassic geology of the world, London.
- Carozzi A. V. (1960) Microscopic sedimentary petrography, New-York, London.
- Dumitru M., Dumitriu Cristina (1964) Contribuții la geologia Munților Perșani (regiunea Comana-Cuciulata-Lupșa). *Stud. cerc. geol.* 9, 1, p. 169—174, București.
- Ilie M. (1955) Structura geologică a Munților Perșani I (Regiunea Cuciulata-Lupșa-Comana-Veneția). *An. Com. Geol.* XXVI, p. 265—329, București.
- Mănilici V. (1956) Studiu petrografic al rocilor eruptive, mezozoice, din Poiana Mărului-Sinca Nouă. *An. Com. Geol.* XXIX, p. 5—75, București.
- Maubouge P. L. (1961) Ammonites caractéristiques de l'Algérien Lorrain. *Bull. Techn.*, 62 p. 11—21, Paris.
- Papiu C. V. (1960) Petrografia rocilor sedimentare. Ed. Științ. București.
- Patrulius D. (1963) Le waldflysch et les olistolithes des Monts Perșani. *Assoc. Geol. Carp. Balk.* VI-eme Congr., p. 121—122, Varșovia—Cracovia.
- (1966) Dorsala dolomitică, rudiment al Carpaților Orientali în timpul Triasicului. *D. S. Com. Stat. Geol.*, p. 135—156, București.
- Popa-Dimian Elena, Popescu-Dimitriu Ileana (1966) Serile mezozoice autohtone și pînza de decolare transilvană în imprejurimile Comanei (Munții Perșani). *An. Com. Stat. Geol.* XXXV, p. 397—434, București.
- Pauliuc S., Grădinaru E. (1970) Sur la présence de l'aptien inférieur dans le secteur du sud-ouest des Monts Perșani. *Anal. Univ.*, anul XIX, p. 21—41, București.
- Popa Elena (1967) Amoniti Toarcianului superior autohton (zona cu *Grammoceras thouarsense*) din Munții Perșani, Carpații Orientali. *D.S. Inst. Geol.*, LIII/2, p. 33—48, București.
- (1969) Asupra prezenței speciei *Pleuroceras solare* (zona cu *spinatum*) în calcarele Domeri- anului autohton din Munții Perșani (Carpații Orientali). *D.S. Inst. Geol.* LIV/2 p. 41—45, București.
- Preda D. M., Ilie M. (1940) Présence des calcaires à *Megalodus* dans les Monts Perșani (Roumanie). *C.R. Acad. Sci. Roum.* IV, p. 335—337, București.
- Routhier J. P. (1963) Les gisements métallifères, Paris.
- Ruhin L. B. (1966) Bazele litologiei. Ed. Tehnică, București.

- Semak A. (1957) Contribuții la stratigrafia Liasicului de la Vulcan-Codlea (Sinclinalul principal), *D. S. Com. Geol.*, XI.III, p. 131—154, București.
 Watcher H. (1918) Bericht über die im Sommer 1916 in Persaner Gebirge ausgeführten geologischen Aufnahmen. *Jarb. und geol. inst.* 1916, p. 259—284, Budapest.

NOTE SUR UN NIVEAU À FERROLITHES OOLITHIQUES DANS LE TOARCIEN SUPERIEUR DES MONTS PERŞANI

(Résumé)

L'ouvrage présente la description d'un niveau à ferrolithes oolithiques, découvert dans la partie SW des Monts Perşani, sur le ruisseau Calului, à 1,5 km NE d'environ de la localité de Veneția de Sus.

Le niveau à ferrolithes oolithiques surmonte un banc de calcaire gréseux à oolithes limonitiques, qui renferme une riche faune d'ammonites se rattachant à la zone avec Grammoceras thouarsense. La corrélation avec des coupes des zones voisines nous porte à supposer que les ferrolithes oolithiques reviennent au Toarcien supérieur (les zones Levesquel et Aalensis).

Les ferrolithes oolithiques sont constituées d'un liant d'oxydes et hydroxydes de fer et matériel argileux, parfois kaolinite, dans lequel sont coincés de nombreuses oolithes de goethite et hématite et, en proportions variables, quartz détritique. Du point de vue de la composition chimique, on remarque la prédominance du Fe_2O_3 (32,99—51,10 %), suivi par SiO_2 (13,90—36,24 %) et Al_2O_3 (14,35—15,28) : en quantités réduites, on a rencontré : CaO , MgO , P_2O_5 et S .

En ce qui concerne la genèse des ferrolithes oolithiques décrites, les auteurs sont d'avis que celles-ci sont génétiquement liées aux calcaires gréseux à oolithes limonitiques et qu'elles se sont formées dans un milieu marin-littoral, dans des eaux peu profondes, bien aérées et agitées.



EXPLICATIA PLANSEI



Institutul Geologic al României

EXPLICATIA PLANSEI

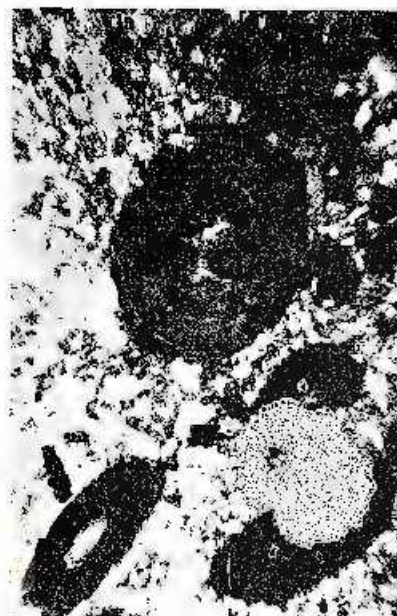
Fig. 1. -- Calcar grezes în oolite limonitice corodate și deformate ; x 20.
Calcaire gréseux à oolithes limonitiques corrodées et déformées ; x 20.

Fig. 2. -- Oolit din calcarul grezes în oolite limonitice ; se observă lumine concentrice și conturul frânghiei datorită corozionii ; x 70.
Oolithe du calcaire gréseux à oolithes limonitiques ; on observe des laminer concentriques et le contour à franges par suite de la corrosion ; x 70.

Fig. 3, 4. -- Ferrolit oolitic ; se remarcă structura concentrică și deformarea plastică a oolitelor ; x 20.
Ferrolithe oolitiques ; à remarquer la structure concentrique et la déformation plastique des oolites ; x 20.



N. TICLEANU, CLARISSA PAPACOSTEA. Ferolite oolitice în Toarcianul superior din Munții Perșani



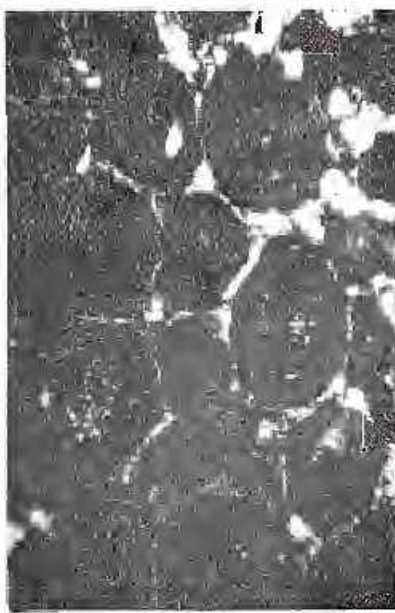
1



2



3



4

Institutul de Geologie și Geofizică. Dări de seamă ale ședintelor, vol. LXI/2.



Institutul Geologic al României



CUPRINS

Paz.

1. Iancovici V., Dimitriu A. De la registrul de probe la bănci de date geologice	
2. Kalmár I. Indicații asupra activității hidrotermale în depozitele sedimentare neogene din culoarul Sălajului	9
3. Manilici V., Roșca L., Apostolescu Rodica. Contribuții la studiul mineralizației cinabrifere de la Izvorul Ampoiului (Munții Apuseni) .	15
4. Murariu T. Cuprul și zincul din biotit ca indicator al concentrațiilor de minereu în rocile seriei de Rebra (Munții Rodna)	31
5. Papiu V. Corvin, Iosof V., Minzală Silvia, Giușcă R., Jacotă G. Alătuirea chimico-mineralologică a bauxitelor din regiunea Sohodol-Gimpeni(jud. Bihor)	37
6. Savu H., Nicolaie I. Metalogenența regiunii Vorța (Munții Apuseni)	71
7. Tieleanu N., Papacostea Clarissa. Notă asupra unui nivel cu ferolite oolitice în Toarcianul superior din Munții Perșani	81

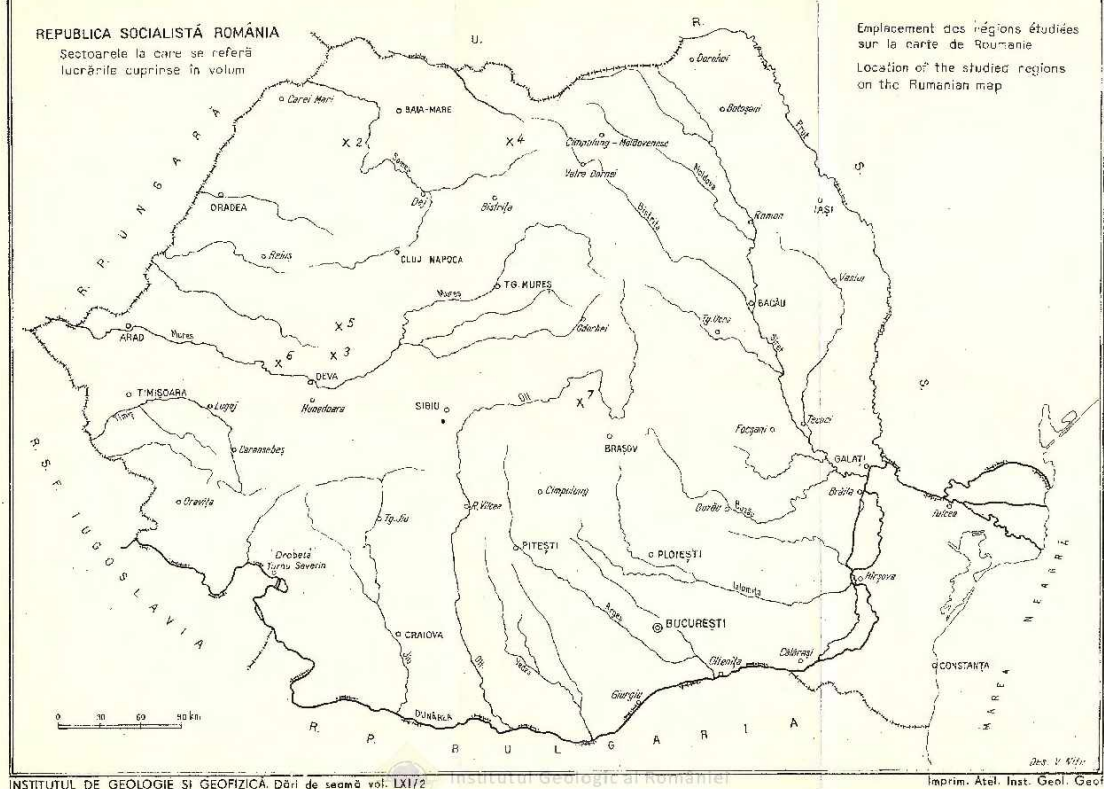


CONTENU

(RESUMÉS)

	Page.
1. Ianovici V., Dimitriu A. Du registre d'échantillon, aux banques de données géologiques	7
2. Kaimar I. Observations sur l'activité hydrothermale dans les dépôts sédimentaires néogènes du couloir du Sălaj	14
3. Manilici V., Roșca L., Apostolescu Rodica. Contributions à l'étude de la minéralisation cinabritière de Izvorul Ampoiului (Monts Apuseni)	20
4. Murariu T. Le cuivre et le zinc de la biotite en tant qu'indicateur des concentrations de minéraux dans les roches de la série de Rebra (Monts Rodna)	35
5. Papiu V., Corvin, Iosof V., Minzatu Silvia, Giușcă R., Jaceotă G. La constitution chimique-minéralogique des bauxites de la région de Sohodol-Gimpeni (district de Bihor)	65
6. Savu H., Nicolae I. Metallogenesis of the Vorja Region (Metaliferi Mountains)	79
7. Tieleanu N., Papacosteia Clarissa. Note sur un niveau à ferrolithes oolithiques dans le Toarcien supérieur des Monts Perșani	90





Redactor: ALEXANDRA MARINESCU

Traduceri: ANGELA MIRICIOIU, MARIA BORCOS, MARGARETA

HARJEU, VALENTINA CHIUTU

Illustrația: V. NIȚU

*Dat la culere: februarie 1975. Bun de tipar: iunie 1975. Tiraj: 280 ex.
Hărția scrie IA. Format 70×100/56 g. Coli de tipar: 6 Comanda 2102
Pentru bibliulicele îndicale de clasificare: 55(058).*

**Intreprinderea poligrafică „Informația”, Str. Brezianu nr. 28 - 25 București -
România**



Institutul Geologic al României

**Responsabilitatea asupra conținutului articolelor
revine în exclusivitate autorilor**



Institutul Geologic al României

INSTITUT DE GÉOLOGIE ET DE GÉOPHYSIQUE

COMPTES RENDUS DES SÉANCES

TOME LXI

1973 - 1974

2. GISEMENTS



Institutul Geologic al României